

UNIVERZITA KOMENSKÉHO V BRATISLAVE
FAKULTA MATEMATIKY, FYZIKY A INFORMATIKY



Analýza prietoku slovenských riek pomocou neparametrických
štatistických metód

DIPLOMOVÁ PRÁCA

2020

Bc. Lucia Macháčková

UNIVERZITA KOMENSKÉHO V BRATISLAVE
FAKULTA MATEMATIKY, FYZIKY A INFORMATIKY

**ANALÝZA PRIETOKU SLOVENSKÝCH RIEK POMOCOU
NEPARAMETRICKÝCH ŠTATISTICKÝCH METÓD**

DIPLOMOVÁ PRÁCA

Študijný program: Ekonomicko-finančná matematika a modelovanie

Študijný odbor: 1114 Aplikovaná matematika

Školiace pracovisko: Katedra aplikovanej matematiky a štatistiky

Vedúci práce: RNDr. Ján Pekár, PhD.



26245283

Univerzita Komenského v Bratislavе
Fakulta matematiky, fyziky a informatiky

ZADANIE ZÁVEREČNEJ PRÁCE

Meno a priezvisko študenta: Bc. Lucia Macháčková

Študijný program: ekonomicko-finančná matematika a modelovanie

(Jednooborové štúdium, magisterský II. st., denná forma)

Študijný odbor: matematika

Typ záverečnej práce: diplomová

Jazyk záverečnej práce: slovenský

Sekundárny jazyk: anglický

Názov: Analýza prietoku slovenských riek pomocou neparametrických štatistických metód
Non-parametric statistical analysis of Slovak rivers overflows

Anotácia: Prietok riek sa neustále mení vplyvom rôznych faktorov. Môže sa zmeniť náhle alebo dlhodobo. Tieto zmeny je nutné sledovať, aby bolo možné pripraviť sa alebo predísť katastrofám akými sú napríklad povodne. Zmeny v prietoku rieky predstavujú zmeny rozdelenia, ktorým sa rad riadi. Keďže je rozdelenie radu mállokedy známe, na jeho štatistickú analýzu sa využívajú neparametrické metódy.

Ciel: Cieľom práce je sprostredkovať prehľad metód využívaných na detekciu zmien v hydrologických časových radoch a následná aplikácia spomínaných metód na analýzu prietokov vybraných slovenských riek.

Vedúci: doc. RNDr. Ján Pekár, PhD.

Katedra: FMFI.KAMŠ - Katedra aplikovanej matematiky a štatistiky

Vedúci katedry: prof. RNDr. Marek Fila, DrSc.

Dátum zadania: 08.01.2019

Dátum schválenia: 08.01.2019

prof. RNDr. Daniel Ševčovič, DrSc.

garant študijného programu

.....
študent

.....
vedúci práce

Podakovanie Rada by som podakovala vedúcemu mojej diplomovej práce RNDr. Jánovi Pekárovi, PhD. za pomoc, rady a hlavne ochotu usmerňovať moju prácu. A samozrejme ďakujem mojim rodičom a priateľom za nekonečnú podporu a trpežlivosť.

Abstrakt v štátom jazyku

MACHÁČKOVÁ, Lucia: Analýza prietoku slovenských riek pomocou neparametrických štatistických metód [Diplomová práca], Univerzita Komenského v Bratislave, Fakulta matematiky, fyziky a informatiky, Katedra aplikovanej matematiky a štatistiky; školiteľ: RNDr. Ján Pekár, PhD., Bratislava, 2020, 69 s.

Jedným z cieľov tejto diplomovej práce je oboznámenie sa s neparametrickými štatistickými metódami, ktoré sa využívajú pri analýze hydrologických časových radov. Nakoľko sa v časovom rade môžu meniť rôzne parametre, táto práca sa zaoberá zmenou ich strednej hodnoty. Pod touto zmenou chápeme nárazové zmeny, no zároveň aj zmeny v dlhodobom horizonte, ktoré predstavuje trend. Taktiež sa zaoberá aj viacnásobnými zmenami. Na analýzu takýchto zmien autorka využíva metódy aglomeratívneho a divízneho zhlukovania. Po vysvetlení teoretických poznatkov autorka aplikuje dané metódy na analýzu reálnych dát prietokov slovenských riek.

Klúčové slová: Neparametrické štatistické metódy, Stredná hodnota, Bod zmeny, Trend, Hierarchické metódy

Abstract

MACHÁČKOVÁ, Lucia: Non-Parametric Statistical Analysis of Slovak rivers overflows [Diploma Thesis], Comenius University in Bratislava, Faculty of Mathematics, Physics and Informatics, Department of Applied Mathematics and Statistics; Supervisor: RNDr. Ján Pekár, PhD., Bratislava, 2020, 69 p.

One of the main aims of this thesis is the understanding of the non-parametric statistical methods that are used to analyze hydrological time series. Although several parameters could be changed, this thesis is monitoring changes in mean of the serie. There could be included the single changes but also the long-term changes such as trend. This thesis is analyzing the multiple changes, too. For this type of changes is the author using methods of agglomerative and divisional clustering. After the explanation of the theoretical knowledge author used the given methods on the real data of the Slovak rivers' overflows.

Keywords: Non-parametric statistical methods, Mean, Change Point, Trend, Hierarchical methods

Obsah

Úvod	10
1 Homogenita v časových radoch	12
1.1 Von Neumannov test	12
1.2 Wald-Wolfowitzov test	13
2 Bod zmeny režimu	15
2.1 Štandardný test homogeneity	15
2.2 Pettittov test	15
2.3 Test kumulovaných súm	17
2.4 Mann-Whitney-Wilcoxonov dvojvýberový test	17
2.5 Dvojvýberový Kolmogorov-Smirnovov test	18
3 Viacnásobné body zmeny režimu	19
3.1 E-Divisive algoritmus	19
3.2 Aglomeratívny algoritmus	21
4 Dlhodobé zmeny režimu	24
4.1 Sezónny Mann-Kendallov test	24
4.2 Cox-Stuartov test	25
5 Analýza rieky Morava	26
5.1 Homogenita	28
5.2 Bod zmeny	28
5.3 Viačnásobné body zmeny	29
5.4 Trend	33
6 Analýza rieky Hron	35
6.1 Homogenita	35
6.2 Bod zmeny	37
6.3 Viačnásobné body zmeny	38
6.4 Trend	40

7 Analýza rieky Váh	42
7.1 Homogenita	42
7.2 Bod zmeny	44
7.3 Viacnásobné body zmeny	45
7.4 Trend	46
8 Analýza rieky Belá	48
8.1 Homogenita	48
8.2 Bod zmeny	50
8.3 Viacnásobné body zmeny	51
8.4 Trend	51
9 Analýza rieky Kysuca	52
9.1 Homogenita	53
9.2 Bod zmeny	53
9.3 Viacnásobné body zmeny	55
9.4 Trend	55
10 Analýza rieky Krupinica	56
10.1 Homogenita	57
10.2 Bod zmeny	57
10.3 Viacnásobné body zmeny	59
10.4 Trend	62
11 Analýza rieky Ipel	64
11.1 Homogenita	64
11.2 Bod zmeny	65
11.3 Viacnásobné body zmeny	67
11.4 Trend	70
12 Analýza rieky Nitra	71
12.1 Homogenita	72
12.2 Bod zmeny	72
12.3 Viacnásobné body zmeny	74

12.4 Trend	75
13 Vzťah medzi analyzovanými radmi mesačných prietokov	76
Záver	81
Zoznam použitej literatúry	84
Príloha A	87

Úvod

Táto práca sa zaoberá analýzou hydrometeorologických časových radov pomocou neparametrických štatistických metód, ako napovedá už jej názov.

Konkrétnejšie sa budeme venovať analýze prietokov slovenských riek, ako napríklad Morava, Hron, Váh a iné.

Predpokladáme, že čitateľ disponuje základnými znalosťami v oblasti analýzy časových radov a základmi štatistiky.

Prečo sme zvolili neparametrické metódy? Dôvodov je hneď niekoľko. Asi najdôležitejším z nich je, že tieto metódy si nevyžadujú žiadne predpoklady na rozdelenie dát. Medzi ďalšie dôvody patrí napríklad aj fakt, že dokážu vypočítať relatívne presnú p-hodnotu a taktiež veľmi dobre pokrývajú intervale spoľahlivosti. Medzi najdôležitejšie výhody však patrí aj skutočnosť, že sú častokrát jednoduché na porozumenie a na interpretáciu. Vedomosti v oblasti neparametrických štatistických metód sú značne rozsiahle. Nasvedčuje tomu aj skutočnosť, že o týchto metódach bolo napísaných viacero publikácií, ako napríklad [8]. Nakolko sú niektoré z metód založené na usporiadaní hodnôt časového radu, budeme v práci predpokladať, že všetky hodnoty radu sú rôzne. V prípade rovnakých hodnôt sa testové štatistiky značne komplikujú.

Práve analýzou hydrologických časových radov sa zaoberá niekoľko článkov, ako napríklad [1] alebo kniha [7].

Účelom analýzy prietokov riek je poskytnutie komplexného prehľadu správania sa toku daných riek. Vďaka tomu vieme predikovať, ako sa rieka bude správať v budúcnosti, čím môžeme predísť katastrofám, ako sú povodne. Taktiež vieme odhadnúť, ako sa zmení jej prietok, ak na nej postavíme vodnú elektráreň a aký to bude mať dopad na okolie.

Táto práca sa skladá z dvoch častí: teoretickej a praktickej. Prvé štyri kapitoly poskytujú prehľad použitých na analýzu. V praktickej časti vykonávame samotnú analýzu.

V prvej kapitole uvádzame metódy na zistovanie prítomnosti zmeny v rade. Druhá kapitola obsahuje metódy zaobrájúce sa detekciou a signifikanciou jedného bodu zmeny. V ďalšej kapitole sa pozrieme na metódy používané na detekciu viacnásobných bodov zmeny. Posledná kapitola teoretickej časti sa zaoberá metódami týkajúcimi sa dlhodobých zmien v rade.

Praktická časť zahŕňa zvyšných deväť kapitol. V prvých ôsmych z nich analyzujeme rieky Morava, Hron, Váh, Belá, Kysuca, Krupinica, Ipel a Nitra. V poslednej kapitole sa zameriavame na vzťah medzi jednotlivými prietokmi riek a taktiež na porovnanie výsledkov získaných v predošlých kapitolách. Dáta týkajúce sa prietokov týchto riek pochádzajú zo Slovenského hydrometeorologického ústavu a z databázy projektu UNESCO "Flood regime of rivers in the Danube River basin" (Pekárová a Miklánek, (eds.) 2019).

1 Homogenita v časových radoch

V akejkoľvek oblasti je častokrát dôležité sledovať zmeny v pozorovaniach. Na základe týchto poznatkov je jednoduchšie predísť rôznym katastrofám. Pod spomínanými zmenami si môžeme predstaviť jednorázové zmeny, prípadne viac jednorázových zmien, ktoré sa prejavujú zmenou parametrov v rozdelení, alebo dlhodobé zmeny - trend.

Pod pojmom zmena režimu si môžeme predstaviť zmenu v rozdelení, ktorým sa daný časový rad riadi.

Inak povedané, majme časový rad x_1, \dots, x_n . Predpokladajme, že $x_1, x_2, \dots, x_\tau, \tau < n$ sa riadi rozdelením $F1$ a $x_{\tau+1}, x_{\tau+2}, \dots, x_n$ sa riadi rozdelením $F2$. Hovoríme, že v danom časovom rade sa nachádza nejaký bod zmeny v čase τ , ak $F1 \neq F2$. Môžeme teda povedať, že ak sa v časovom rade nachádza bod zmeny, tak je tento časový rad nehomogénny. Preto nám pri zistovaní, či sa v danom časovom rade nachádza bod zmeny režimu, stačí testovať homogenitu časového radu, pričom vieme, resp. predpokladáme, čas zmeny. V našej práci budeme sledovať zmenu v strednej hodnote procesov.

Budeme teda testovať nulovú hypotézu H_0 oproti alternatívnej hypotéze H_1 , kde

H_0 : Časový rad je homogénny.

vs.

H_1 : V časovom rade je aspoň jeden bod zmeny režimu.

V tejto podkapitole ukážeme testy, ktoré nám povedia, či sa v danom rade nachádza nejaká zmena alebo nie. Poskytnú nám iba informáciu o prítomnosti zmeny, nie o čase jej výskytu a ani významnosti.

1.1 Von Neumannov test

Najvyužívanejším testom na testovanie (ne)homogenity v dátach je Von Neumannov test. Dôležitým predpokladom na použitie tohto testu je normálne rozdelenie dát. Práca [3] definuje testovú štatistiku tohto testu ako pomer

$$N = \frac{\sum_{i=1}^{n-1} (x_i - x_{i+1})^2}{\sum_{i=1}^n (x_i - \bar{x})^2}, \quad (1)$$

kde n je počet pozorovaní, x_i je i-té pozorovanie a \bar{x} je výberový priemer. Článok [2] hovorí, že pre homogénny časový rad je očakávaná hodnota testovej štatistiky $N \approx 2$. Pre rad obsahujúci zmenu je očakávaná hodnota $N < 2$ a ak $N > 2$, časový rad má veľké výkyvy strednej hodnoty.

Bartels v článku [4] upravil Von Neumannov test na jeho rankovú verziu, aby ho bolo možné použiť aj na dátu, ktoré nie sú normálne rozdelené. Testová štatistika sa zmenila na

$$RVN = \frac{\sum_{i=1}^{m-1} (R_i - R_{i+1})^2}{\sum_{i=1}^m (R_i - \bar{R})^2} \quad (2)$$

kde R_i predstavuje rank i-tého pozorovania, $m = \max R_i$, $m \leq n$. Ranky pozorovaní určujeme z neklesajúcej postupnosti. Vyvodenie záveru testu je rovnaké ako pre nerankovú verziu.

1.2 Wald-Wolfowitzov test

Ďalší test homogeneity, ktorý budeme používať, odvodili Wald a Wolfowitz v [24]. Tento test predpokladá, že bod zmeny v čase τ rozdelí časový rad na dve vzorky: x_1, x_2, \dots, x_τ a $x_{\tau+1}, x_{\tau+2}, \dots, x_n$. Podstatou tohto testu je zoradenie hodnôt oboch vzoriek do jednej neklesajúcej postupnosti. Následne sa hodnoty postupnosti rozdelia na sekvencie tak, aby v každej z nich boli hodnoty iba jednej z pôvodných vzoriek. Počet týchto sekvencií je testovou štatistikou U . Hodnotu tejto testovej štatistiky porovnávame s kritickou hodnotou Wald-Wolfowitzovho testu. Nulovú hypotézu H_0 zamietame, ak je hodnota testovej štatistiky menšia ako kritická hodnota.

Pre veľké τ a n , podľa [3] $\tau > 20, n - \tau > 20$, má testová štatistika

$$R = \frac{U - E(U)}{\sqrt{Var(U)}} \quad (3)$$

štandardizované normálne rozdelenie $N(0, 1)$. V tomto prípade porovnáme hodnotu testovej štatistiky s kritickou hodnotou normálneho rozdelenia. H_0 zamietame, ak $|R| > u_{1-\frac{\alpha}{2}}$.

2 Bod zmeny režimu

V tejto kapitole sa zameriame na tzv. náhle zmeny režimu - body zmeny režimu. V prvej časti predstavíme testy, ktoré sú popri vyhodnocovaniu významnosti bodu zmeny schopné určiť presný čas, kedy zmena nastala. V ďalšej časti uvedieme testy, ktoré sa používajú v prípade, že vieme čas zmeny, ale chceme určiť jeho významnosť.

Detekcia bodu zmeny

2.1 Štandardný test homogeneity

Podľa článkov [15] a [16] princíp štandardného testu homogeneity (angl. Standard Normal Homogeneity Test) - SNHT spočíva v porovnaní strednej hodnoty prvých k pozorovaní so strednou hodnotou zvyšných $(n - k)$ pozorovaní. Testová štatistika tohto testu je

$$T_0 = \max T_k, \quad (4)$$

$$T_k = k \left[\frac{1}{k} \sum_{i=1}^k \frac{(X_i - \bar{X})}{S_X} \right]^2 + (n - k) \left[\frac{1}{(n - k)} \sum_{i=k+1}^n \frac{(X_i - \bar{X})}{S_X} \right]^2, \quad 1 \leq k \leq n, \quad (5)$$

kde X_i predstavuje hodnoty radu do času i , \bar{X} je výberový priemer tohto radu, S_X je výberová odchýlka X . Nulovú hypotézu H_0 zamietame, ak je hodnota testovej štatistiky T_0 väčšia ako kritická hodnota testu prináležiaca k veľkosti dát. Pri aplikácii je p-hodnota odhadovaná pomocou Monte Carlo simulácií. Hodnota k , pre ktoré testová štatistika T_k dosiahne globálne maximum, predstavuje čas, v ktorom nastala zmena režimu.

Tento test je najvhodnejšie aplikovať na rad, v ktorom očakávame bod zmeny pri začiatku alebo konci radu.

2.2 Pettittov test

Pettittov test je jedným z najvyužívanejších testov na detekciu zmeny v procese. Je to neparametrický test využívajúci ranky, ktorý je v podstate vylepšenou verziou Mann-Whitney-Wilcoxonovho testu uvedeného v druhej časti tejto kapitoly. Ako aj ostatné

testy v tejto časti, Pettittov test dokáže určiť čas zmeny procesu. Tento test je založený na testovej štatistike

$$U_{t,n} = \sum_{i=1}^t \sum_{j=t+1}^n \text{sgn}(x_j - x_i), \quad 1 \leq t \leq n \quad (6)$$

kde

$$\text{sgn}(x) = \begin{cases} 1, & \text{ak } x > 0 \\ 0, & \text{ak } x = 0 \\ -1, & \text{ak } x < 0 \end{cases}. \quad (7)$$

V prípade dát so spojitu distribučnou funkciou je testová štatistika

$$U_{t,n} = 2 \sum_{i=1}^t R_i - t(n+1), \quad (8)$$

kde R_i je rank i-tého pozorovania. Podľa Pettittovho článku [19] môžeme vzťah (8) nahradieť

$$U_{t,n} = U_{t-1,n} + V_{t,n}, \quad t = 2, \dots, n, \quad (9)$$

kde

$$V_{t,n} = \sum_{i=1}^n \text{sgn}(x_i - x_t), \quad U_{1,n} = V_{1,n}. \quad (10)$$

Najpravdepodobnejší čas zmeny τ je taký, pre ktorý platí

$$K_\tau = |U_{\tau,n}| = \max |U_{t,n}|. \quad (11)$$

Signifikancia určená p-hodnotou vzťahujúca sa ku K_τ je daná vzťahom

$$p = 2 \exp \left(\frac{-6K_\tau^2}{n^2 + n^3} \right). \quad (12)$$

Hypotézu H_0 zamietame, ak $p < \alpha$, kde α je hranica významnosti. V tom prípade môžeme povedať, že x_τ je bodom zmeny a τ je čas, v ktorom zmena nastala. Všimnime si však, že za určitých podmienok môže p-hodnota Pettittovho testu nadobúdať hodnoty väčšie ako 1. V takom prípade považujeme výsledky tohto testu za nedôveryhodné.

2.3 Test kumulovaných súm

Výhodou testov kumulovaných súm (angl. Cumulative Sum Test) - CUSUM je, že dokážu odhalit náhle zmeny v strednej hodnote procesu. Ich podstatou sú upravené čiastočné súčty

$$S_k^{**} = \frac{1}{\sqrt{n}} \sum_{i=1}^k \frac{(X_i - \bar{X})}{S_X}, 1 \leq k \leq n \quad (13)$$

kde \bar{X} je výberový priemer a S_X je výberová štandardná odchýlka. Hodnota S_k^{**} homogénneho radu sa pohybuje v okolí 0. Lokálny extrém S_k^{**} predstavuje zmenu v časovom rade, t.j. k , pre ktoré je hodnota S_k^{**} extremálna, predstavuje čas zmeny. Článok [1] uvádza, že z S_k^{**} boli odvodené ďalšie dve testové štatistiky

$$Q = \max |S_k^{**}| \quad (14)$$

$$R = \max(S_k^{**}) - \min(S_k^{**}) \quad (15)$$

Štatistika Q sa používa na detekciu jedného bodu zmeny, pričom použitie štatistiky R je efektívne pri zisťovaní dvoch opačných bodov zmeny. Napríklad pri posune strednej hodnoty smerom nadol dosiahne S_k^{**} maximum, ktoré následne vedie k posunu strednej hodnoty nadol, a teda S_k^{**} dosiahne minimum.

Signifikancia bodu zmeny

V praxi sa nám však môže stať, že možný čas zmeny poznáme. V tejto časti kapitoly uvedieme testy, ktoré je možné použiť na testovanie signifikancie zmeny, ktorá nastala v danom čase.

2.4 Mann-Whitney-Wilcoxonov dvojvýberový test

Neparametrickou analógiou Studentovho dvojvýberového t-testu je Mann-Whitney-Wilcoxonov test. Tento test okrem rozdelenia časového radu na dve časti nevyžaduje žiadne ďalšie predpoklady.

Princíp testu spočíva v zoradení hodnôt do neklesajúcej postupnosti a následnom priradení rankov R_i každej hodnote. Testová štatistika je daná

$$U = \min(U_1, U_2), \quad (16)$$

kde

$$U_1 = \tau(n - \tau) + \frac{\tau(\tau + 1)}{2} - \sum_{i=1}^{\tau} R_i, \quad (17)$$

$$U_2 = \tau(n - \tau) + \frac{(n - \tau)(n - \tau + 1)}{2} - \sum_{i=\tau+1}^n R_i. \quad (18)$$

Stredná hodnota testovej štatistiky U je

$$\mu_U = \frac{\tau(n - \tau)}{2} \quad (19)$$

a jej smerodajná odchýlka

$$\sigma_U = \sqrt{\frac{[\tau(n - \tau)](n + 1)}{12}}. \quad (20)$$

Hypotézu H_0 zamietame, ak je hodnota testovej štatistiky U menšia ako kritická hodnota Mann-Whitney-Wilcoxonovho testu.

Podľa [18] ak oba výbery obsahujú viac ako 8 pozorovaní, šandardizáciou štatistiky U získame štatistiku Z , ktorá sa riadi normálnym rozdelením $N(0, 1)$

$$Z = \frac{U - \frac{\tau(n - \tau)}{2}}{\sqrt{\frac{[\tau(n - \tau)](n + 1)}{12}}}. \quad (21)$$

V tomto prípade teda porovnávame štatistiku Z s kritickou hodnotou normálneho rozdelenia.

2.5 Dvojvýberový Kolmogorov-Smirnovov test

V tomto teste opäť predpokladáme rozdelenie časového radu bodom zmeny x_τ na dva samostatné rady. Ďalej predpokladajme, že rad x_1, \dots, x_τ sa riadi rozdelením s distribučnou funkciou F_1 a rad $x_{\tau+1}, \dots, x_n$ sa riadi rozdelením s distribučnou funkciou F_2 . Podľa [5] je testová štatistika tohto testu

$$D = \max_{-\infty < x < \infty} |F_1(x) - F_2(x)|. \quad (22)$$

Hodnota testovej štatistiky sa porovná s kritickou hodnotou Kolmogorov-Smirnovovho testu s parametrami τ a $(n - \tau)$. Ak je hodnota testovej štatistiky D väčšia alebo rovná kritickej hodnote $D_{\tau, (n - \tau)}$, nulovú hypotézu H_0 zamietame.

3 Viacnásobné body zmeny režimu

Väčšina algoritmov zaoberajúcich sa detekciou viacnásobných bodov zmeny je založená na princípe bisekcie. Pomocou metód uvedených v predchádzajúcej kapitole je nájdený jeden bod zmeny, ktorý rozdelí rad na dva samostatné rady. V nich sú opäť použité metódy na nájdenie jedného bodu zmeny, ktorý znova rozdelí testovaný rad. Tento princíp sa iteračne opakuje dovtedy, kým v rade nie sú najdené žiadne zmeny alebo nie je homogénny.

V tejto kapitole však uvádzame aj iné metódy na detekciu viacnásobných bodov zmeny v časových radoch.

3.1 E-Divisive algoritmus

James v práci [14] predstavuje neparametrickú hierarchickú metódu na detekciu viacnásobných bodov zmeny, založenú na spojení bisekcie a viacrozmernej divergenčnej miery, nazývanú E-Divisive.

Uvažujme $Y_n = \{Y_i : i = 1, \dots, n\}$ a $Z_m = \{Z_j : j = 1, \dots, m\}$ nezávislé rovnako rozdelené výbery, pričom $Y_i, Z_j \in \mathbb{R}$. Predpokladajme, že platí $E|X|^\gamma, E|Y|^\gamma < \infty$ pre nejaké $\gamma \in (0, 2)$. Potom empirická divergenčná miera je podľa [14] daná

$$\hat{\mathcal{E}}(Y_n, Z_m; \gamma) = \frac{2}{mn} \sum_{i=1}^n \sum_{j=1}^m |Y_i - Z_j|^\gamma - \binom{n}{2}^{-1} \sum_{1 \leq i < k \leq n} |Y_i - Y_k|^\gamma - \binom{m}{2}^{-1} \sum_{1 \leq j < k \leq m} |Z_j - Z_k|^\gamma. \quad (23)$$

Ak by sa oba výbery riadili rovnakým rozdelením, potom by platilo $\hat{\mathcal{E}}(Y_n, Z_m; \gamma) \approx 0$. V opačnom prípade $\hat{\mathcal{E}}(Y_n, Z_m; \gamma) > 0$.

Pri detekcii bodu zlomu sa využíva škálovaná miera divergencie daná

$$\hat{\mathcal{Q}}(Y_n, Z_m; \gamma) = \frac{mn}{m+n} \hat{\mathcal{E}}(Y_n, Z_m; \gamma). \quad (24)$$

Predpokladajme, že x_1, \dots, x_T sú nezávislé pozorovania a $1 \leq \tau \leq \kappa \leq T$ sú kladné konštanty. Rozdeľme rad x_1, \dots, x_T na dva rady $Y_\tau = \{x_1, \dots, x_\tau\}$ a $Z_\tau(\kappa) = \{x_{\tau+1}, \dots, x_\kappa\}$. Bod zmeny sa potom nachádza v čase $\hat{\tau}$, ktorý vyhovuje

$$(\hat{\tau}, \hat{\kappa}) = \arg \max_{(\tau, \kappa)} \hat{\mathcal{Q}}(Y_n, Z_m(\kappa); \gamma) \quad (25)$$

Ak je známe, že v rade je iba jeden bod zmeny, potom $\kappa = T$. Ak však očakávame viac bodov, potom je vhodné považovať κ za neznámu. Dôvodom je fakt, že ak by sme

považovali $\kappa = T$, je možné, že v prípade viacerých zmien by bolo výsledné rozdelenie $Z_\tau(T)$ zmesou rôznych rozdelení. Toto $T_\tau(T)$ by tak bolo neodlísiteľné od rozdelenia Y_τ , pričom by τ bol skutočným bodom zmeny.

Na nájdenie viacerých bodov využijeme vyššie opísanú metódu iteračne. Predpokladajme, že sme našli $k-1$ bodov zmeny v časoch $\hat{\tau}_1, \dots, \hat{\tau}_{k-1}$ takých, že platí $0 < \hat{\tau}_1 < \dots < \hat{\tau}_{k-1} < T$. Tieto body nám rozdelia náš pôvodný rad x_1, \dots, x_T do k zhlukov $\hat{C}_1, \dots, \hat{C}_k$ tak, že $\hat{C}_i = \{x_{\hat{\tau}_{i-1}+1}, \dots, x_{\hat{\tau}_i}\}$, pričom $\hat{\tau}_0 = 0$ a $\hat{\tau}_k = T$. Následne v každom zhluku nájdeme bod zmeny pomocou (25). O tom, ktorý z potenciálnych bodov je skutočným bodom zmeny rozhodne

$$i^* = \arg \max_{i \in \{1, \dots, k\}} \hat{Q}(Y_{\hat{\tau}_i}, Z_{\hat{\tau}_i}(\hat{\kappa}(i)); \gamma), \quad (26)$$

kde $\hat{\tau}_i$ je potenciálny čas zmeny nájdený v i -tom zhluku, $\hat{\kappa}(i)$ konšstanta prináležiaca k $\hat{\tau}_i$, $Y_{\hat{\tau}_i}$ a $Z_{\hat{\tau}_i}$ časti radu v zhluku i rozdelené pomocou $\hat{\tau}_i$. Nájdením optimálneho i^* teda určíme, ktorý z potenciálnych bodov je k -tym bodom zmeny celého radu.

O významnosti nájdeného bodu rozhodne testová štatistika daná

$$\hat{q}_k = \hat{Q}(Y_{\hat{\tau}_k}, Z_{\hat{\tau}_k}(\hat{\kappa}(k)); \gamma), \quad (27)$$

kde $\hat{\tau}_k = \hat{\tau}_{i^*}$ a $\hat{\kappa}(k) = \hat{\kappa}_{i^*}$.

Veľké hodnoty \hat{q}_k vedú k významnej zmene rozdelenia. Problémom však je, že na určenie skutočnej kritickej hodnoty potrebujeme vedieť, podľa akého rozdelenia sa daný rad riadi. James v [14] navrhuje využitie permutačného testu na určenie významnosti \hat{q}_k .

Nulovou hypotézou permutačného testu bude prípad, že v rade sa nachádza iba pôvodne nájdených $k-1$ bodov zmeny, teda žiadny ďalší tam už nie je. Podstatou permutačného testu je premiešanie hodnôt v každom zhluku a vytvorenie novej postupnosti s dĺžkou T . V novom rade sa opäť aplikuje metóda hľadania nového bodu opísaná vyššie. Tento proces sa iteruje R -krát, pričom si ukladáme hodnotu $\hat{q}_k^{(r)}$ každej iterácii. Po R permutáciách môžeme p-hodnotu approximovať

$$p - hodnota \approx \frac{|\{r : \hat{q}_k^{(r)} \geq \hat{q}_k\}|}{R + 1}. \quad (28)$$

Voľba počtu permutácií R závisí od rozdelenia radu a taktiež od počtu a veľkosti zhlukov. Zmena v čase $\hat{\tau}_k$ je signifikantná na hladine významnosti 5%, ak approximovaná p-hodnota

je menšia ako 0.05. V opačnom prípade nemôžeme zamietnuť nulovú hypotézu, že v rade je iba $k - 1$ bodov zmeny.

Pre lepšie pochopenie tohto algoritmu uvádzame príklad zobrazený na Obr. 1. Na začiatku máme jeden veľký zhluk - rad pozorovaní $C(123456)$. Pomocou (25) sme rozdelili pôvodný zhluk na dva zhluky: $C(12345)$ a $C(6)$.

V druhom kroku iterácie hľadáme zmeny v každom zo vstupných zhlukov $C(12345)$ a $C(6)$. Pomocou (26) sme určili, že rozdelíme zhluk $C(12345)$ na zhluky $C(123)$ a $C(45)$.

Do tretieho kroku nám tak vstupujú zhluky $C(123)$, $C(45)$ a $C(6)$. Opäť v každom z nich hľadáme body zmeny. Opäť podľa (26) určíme, že sa rozdelí $C(123)$ na $C(1)$ a $C(23)$.

Štvrtý krok začíname so zhlukmi $C(1)$, $C(23)$, $C(45)$ a $C(6)$. Opakujeme predošlý postup a zistíme, že sa tentokrát rozdelí zhluk $C(45)$ na zhluky $C(4)$ a $C(5)$.

Do posledného kroku nám vstupujú zhluky $C(1)$, $C(23)$, $C(4)$, $C(5)$, $C(6)$. Tu sa nám môže rozdeliť iba zhluk $C(45)$ na samostatné zhluky $C(4)$ a $C(5)$. Tento krok uzavráva celú iteráčnu metódu, keďže sme už rozobili nás pôvodný rad na samostatné pozorovania.

Tento postup aplikujme niekoľkokrát na permutovaný rad. Pomocou (28) vypočítame p-hodnotu každého nájdeného bodu. Naším záverom tak môže v tomto príklade byť, že za signifikantné body zmeny budeme považovať pozorovania 3 a 5.

3.2 Agglomeratívny algoritmus

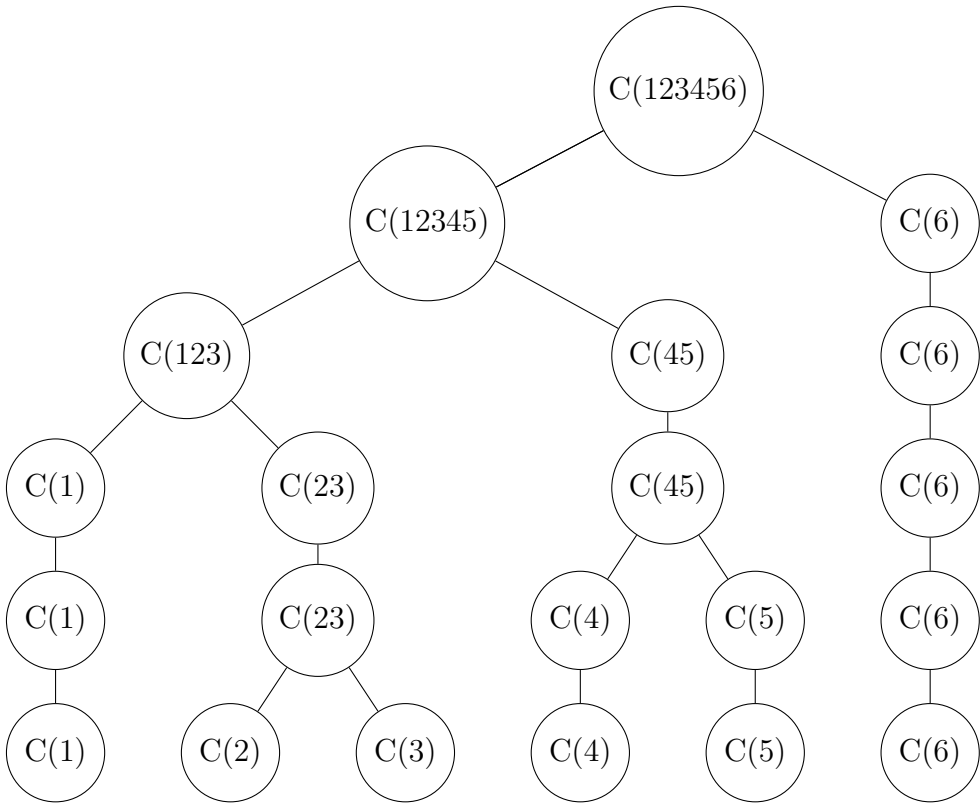
James v [14] vysvetluje ďalšiu hierarchickú metódu - agglomeratívne zhlukovanie. Táto metóda je opakom divízneho algoritmu opísaného v časti 3.1. Ďalšou odlišnosťou je aj fakt, že zachováva časové poradie hodnôt. Jej výhodou oproti E-Divisive je výpočtový čas - agglomeratívny algoritmus beží rýchlejšie. Táto metóda využíva štatistiku dobrej zhody (angl. goodness-of-fit statistics). Najskôr teda ukážeme spôsob výpočtu tejto štatistiky.

Predpokladajme množinu zhlukov $\mathcal{C} = \{C_1, \dots, C_n\}$. Štatistika dobrej zhody je daná ako

$$\hat{\mathcal{S}}_n(C; \gamma) = \sum_{i=1}^{n-1} \hat{\mathcal{Q}}(C_i, C_{i+1}; \gamma), \quad (29)$$

kde C_i a C_{i+1} sú susedné zhluky a $\hat{\mathcal{Q}}$ funkcia definovaná pomocou (23).

Agglomeratívna metóda má rovnaké predpoklady na pozorovania ako E-Divisive, a to nezávislosť x_1, \dots, x_T a konečnosť γ absolútneho momentu pre nejaké $\gamma \in (0, 2)$.



Obr. 1: Princíp divízneho zhlukovania

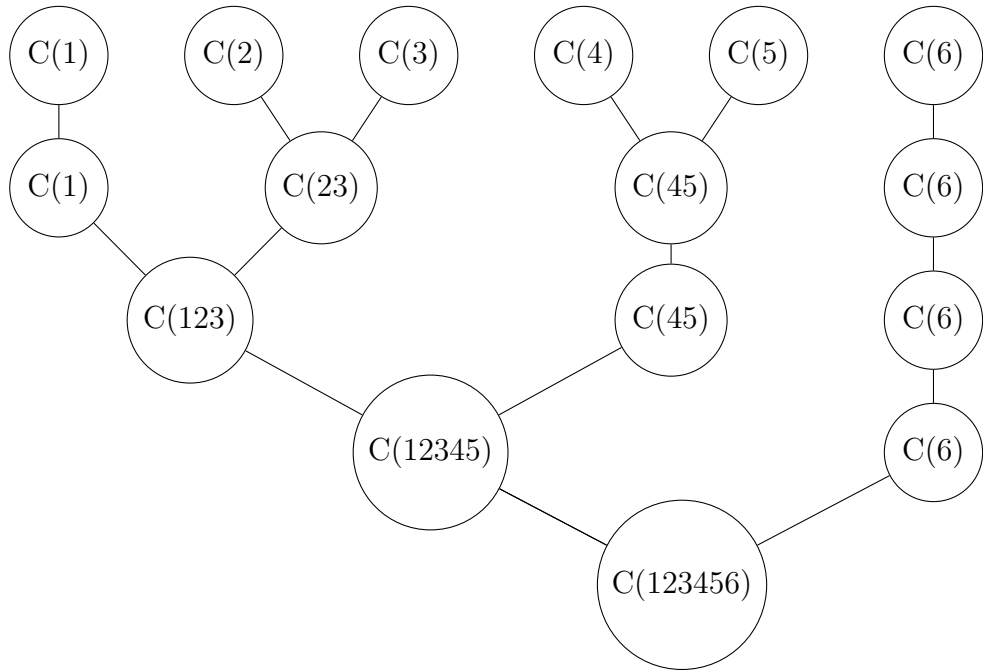
Predpokladajme, že na začiatku máme dátá rozdelené do n zhlukov $\mathcal{C} = \{C_1, \dots, C_n\}$, t.j. v každom zhluku je jedno pozorovanie. Podstatou tohto algoritmu je spájanie susedných zhlukov, pričom požiadavka na susednosť zhlukov je nevyhnutná kvôli dodržaniu poradia pozorovaní. Matematicky túto susednosť môžeme vyjadriť: *Nech $C_i = \{x_k, x_{k+1}, \dots, x_{k+t}\}$ a $C_j = \{x_l, x_{l+1}, \dots, x_{l+s}\}$, potom zhluky C_i a C_j môžeme spojiť iba vtedy, ak $k + t + 1 = l$ alebo $l + s + 1 = k$.*

To, ktoré zhluky môžeme spojiť, nám povie štatistika dobrej zhody. Budeme spájať tie susedné zhluky, ktorých spojenie bude viest k najväčšiemu nárastu, resp. najmenšiemu poklesu hodnoty štatistiky. Tento postup opakujeme dovtedy, kým sa nevytvorí jeden veľký zhluk.

Počet bodov zmeny potom odhadneme tým zhlukovaním, pri ktorom je štatistika dobrej zhody maximálna.

Pre lepšie pochopenie tejto metódy uvádzame príklad znázornený na Obr. 2.

Na začiatku máme 6 pozorovaní, pričom každé z nich pokladáme za jeden zhluk, máme teda zhluky $C(1), \dots, C(6)$. V prvom kroku iterácie zistíme, že najväčší nárast štatistiky



Obr. 2: Princíp aglomeratívneho zhlukovania

(29) sme zaznamenali pri spojení $C(2)$ s $C(3)$ a $C(4)$ s $C(5)$. Tieto hluky pospájame.

Do druhého kroku iterácie nám vstupujú 4 zhluky: $C(1), C(23), C(45), C(6)$. Tu sa nám spoja iba prvé dva zhluky $C(1)$ a $C(23)$ do zhluku $C(123)$.

V treťom kroku začíname s tromi zhlukmi: $C(123), C(45), C(6)$. Zistíme, že v tomto kroku je optimálne opäť spojiť prvé dva zhluky do zhluku $C(12345)$.

Do poslednej iterácie nám vstupujú už iba 2 zhluky: $C(12345)$ a $C(6)$. Nezostáva nám už žiadna iná možnosť spojenia, ako zlúčiť tieto dva zhluky do zhluku, ktorý obsahuje všetky pozorovania - $C(123456)$.

V každej iterácii si zapamätáme optimálnu hodnotu štatistiky (29). V našom príklade predpokladajme, že spomínaná štatistika bola maximálna v druhej iterácii. To znamená, že optimálne rozdelenie pozorovaní bolo $C(123), C(45), C(6)$. Záverom v tomto príklade by bolo, že pozorovania 1, 2, 3 sa riadia jedným rozdelením, pozorovania 4, 5 druhým a pozorovanie 6 tretím rozdelením.

4 Dlhodobé zmeny režimu

Posledná kapitola teoretickej časti sa zaoberá testami, ktorými budeme testovať dlhodobé zmeny v časovom rade. Pod pojmom dlhodobé zmeny si môžeme predstaviť trend.

4.1 Sezónny Mann-Kendallov test

Mann-Kendallov test je najčastejšie používaným na detekciu trendu v hydrologických dátach. Tento test využíva Kendallov korelačný koeficient τ . Najskôr teda vysvetlime, čo tento koeficient predstavuje a ako ho vypočítame.

[7] popisuje τ (korelačný koeficient) ako spôsob merania sily monotónneho vzťahu medzi dvomi premennými. Je založený na sezónnej štatistikike

$$S_g = \sum_{i=1}^{n-1} \sum_{j=k+1}^n \text{sgn}(X_{jg} - X_{ig}), \quad g = 1, \dots, m, \quad (30)$$

kde g predstavuje poradové číslo "sezóny", t.j. v prípade mesačných dát $m = 12$. Potom Kendallovej \hat{S} -štatistikika celého radu je

$$\hat{S} = \sum_{g=1}^m S_g. \quad (31)$$

Máme $\frac{n(n-1)}{2}$ možných porovnávaní. Kendallov korelačný koeficient τ je potom daný

$$\tau = \frac{\hat{S}}{\frac{n(n-1)}{2}}. \quad (32)$$

Pre τ platia rovnaké vyhodnotenia vzťahu medzi premennými ako pri jednoduchom korelačnom koeficiente, t.j. ak $\tau = 0$, premenné sú nezávislé, ak $\tau \in (0, 1]$, premenné sú priamoúmerne závislé a pre $\tau \in [-1, 0)$ premenné sú nepriamoúmerne závislé.

Testová štatistikika Mann-Kendallovho testu je v podstate štatistikika \hat{S} Kendallovho korelačného koeficientu. Podľa [6], keď je $n \geq 10$, môžeme štatistiku \hat{S} approximovať nor-málnym rozdelením. Stredná hodnota štatistiky S je $\mu_{\hat{S}} = 0$ a jej odchýlka

$$\sigma_{\hat{S}} = \sqrt{\sum_{g=1}^m \frac{n_g(n_g - 1)(2n_g + 5) - \sum_{p=1}^q t_{gp}(t_{gp} - 1)(2t_{gp} + 5)}{18}}, \quad (33)$$

kde q je počet skupín s rovnakou hodnotou a t_p je počet hodnôt v p -tej skupine. Štandardná

dizovaná testová štatistika je potom

$$Z = \begin{cases} \frac{\hat{S}-1}{\sigma_{\hat{S}}}, & \text{ak } \hat{S} > 0 \\ 0, & \text{ak } \hat{S} = 0 \\ \frac{\hat{S}+1}{\sigma_{\hat{S}}}, & \text{ak } \hat{S} < 0 \end{cases}. \quad (34)$$

Hodnotu testovej štatistiky Z porovnávame s kritickou hodnotou štandardizovaného nor-málneho rozdelenia. Nulovú hypotézu H_0 zamietame, ak $|Z| > u_{1-\frac{\alpha}{2}}$.

4.2 Cox-Stuartov test

Podstatou Cox-Stuartovho testu je porovnanie prvej a druhej polovice radu. Logicky, v prípade procesu bez trendu by mali byť hodnoty v celom rade približne rovnaké. Ak sú však hodnoty prvej polovice väčšie ako hodnoty druhej, v rade je zjavne klesajúci trend. Naopak, ak sú hodnoty prvej polovice menšie ako druhej, v rade je rastúci trend.

Vykonanie testu si vyžaduje výpočet diferencií

$$d_1 = x_{c+1} - x_1$$

$$d_2 = x_{c+2} - x_2$$

$$\vdots$$

$$d_c = x_n - x_{n-c},$$

kde $c = \frac{n}{2}$, ak n je párne, a $c = \frac{n+1}{2}$, ak n je nepárne.

Hodnotou testovej štatistiky Cox-Stuartovho testu je počet kladných diferencií.

Matematicky to môžeme formulovať nasledovne: Vyberme z diferencií d_1, d_2, \dots, d_c iba kladné z nich. Označme ich dk_1, dk_2, \dots, dk_m . Testovú štatistiku dostaneme ako

$$T = \sum_{i=1}^m \text{sgn}(dk_i). \quad (35)$$

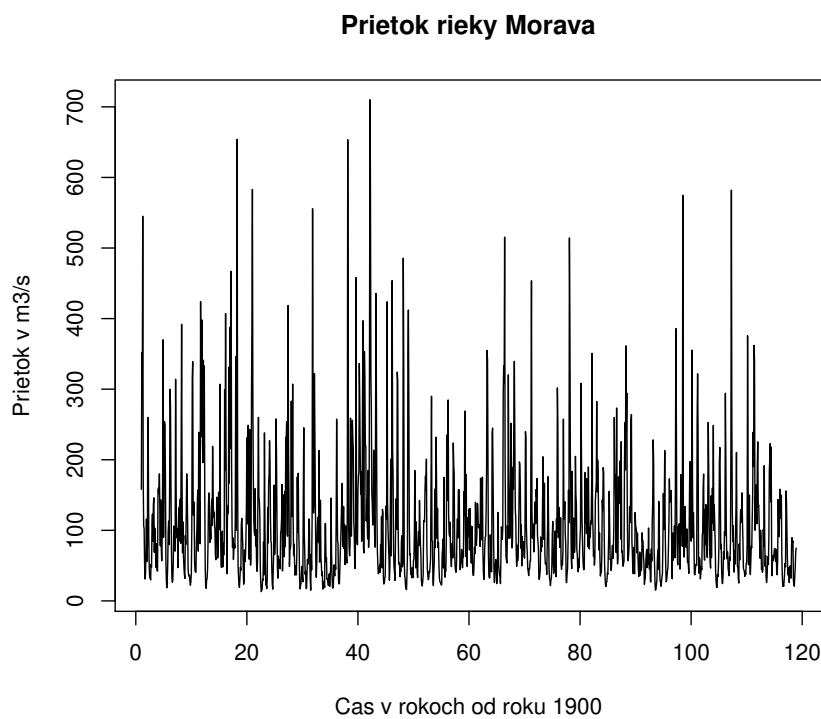
Nulovú hypotézu H_0 zamietame, ak $|T| > t_{1-\frac{\alpha}{2}}$, kde $t_{1-\frac{\alpha}{2}}$ je 97.5%-ný kvantil binomickeho rozdelenia pri uvažovaní hladiny významnosti $\alpha = 5\%$. Podľa [17], ak platí $m \geq 20$, $t_{1-\frac{\alpha}{2}}$ môžeme approximovať $t_{1-\frac{\alpha}{2}} = \frac{(m+u_{1-\frac{\alpha}{2}})\sqrt{m}}{2}$, kde $u_{1-\frac{\alpha}{2}}$ je 97.5%-ný kvantil normálneho rozdelenia.

5 Analýza rieky Morava

Podľa [21] rieka Morava pramení v Karlickom Snežníku v Českej republike. Táto rieka má dĺžku $328,9\text{ km}$, z čoho 114 km sa nachádza na území Slovenska, a jej povodie má rozlohu približne 26580 km^2 . Vytvára prirodzenú hranicu medzi Českom, Slovenskom a Rakúskom.

Pod hradom Devín sa vlieva do Dunaja.

Nasledujúci graf ukazuje hodnoty mesačných prietokov rieky Morava v m^3/s . Tieto hodnoty boli namerané na stanici v Moravskom Sv. Jáne (okres Senica) za obdobie od januára 1900 do decembra 2017. Vývoj strednej hodnoty tohto radu je zobrazený na Obr. 4.

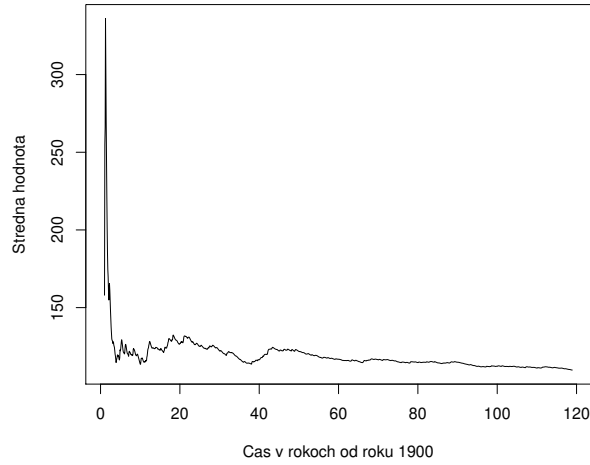


Obr. 3: Prietok Moravy od januára 1900 do decembra 2017

Obr. 4 zobrazuje strednú hodnotu prietoku Moravy za spomínané obdobie.

Z pohľadu na vývoj dát usudzujeme, že rad má aditívny charakter. Každé pozorovanie x_i tohto časového radu tak vieme zapísť ako súčet

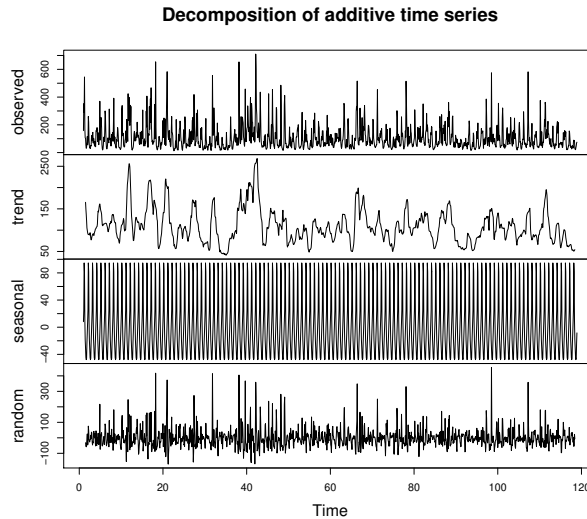
$$x_i = T_i + S_i + \epsilon_i, \quad (36)$$



Obr. 4: Stredná hodnota prietoku Moravy.

kde T_i je trend v čase i , S_i je sezónna zložka v čase i a ϵ_i je náhodná zložka v čase i , teda biely šum.

Graf na Obr. 5 ukazuje dekompozíciu nášho radu na vyššie spomínané zložky. Tento graf zachytáva mesačné hodnoty a na osi x je zobrazený čas v rokoch.



Obr. 5: Dekompozícia prietoku Moravy.

Ked' vidíme, z akých zložiek sa skladá náš rad, môžeme začať s analýzou.

5.1 Homogenita

Najskôr sme vykonali testy homogenity, či sa vôbec nejaké zmeny v rade nachádzajú. Použili sme rankovú verziu Von Neumannovho testu a Wald-Wolfowitzov test. Výsledky zobrazuje Tabuľka 1.

Test	p -hodnota
Rank Von Neumann (Bartels)	$< 2.2 \cdot 10^{-16}$
Wald-Wolfowitz	$< 2.2 \cdot 10^{-16}$

Tabuľka 1: Testy homogenity prietoku Moravy.

Nakoľko pri oboch testoch je p-hodnota menšia ako 5%, hypotézu H_0 hovoriacu, že rad je homogénny, teda nie je v ňom bod zmeny, zamietame.

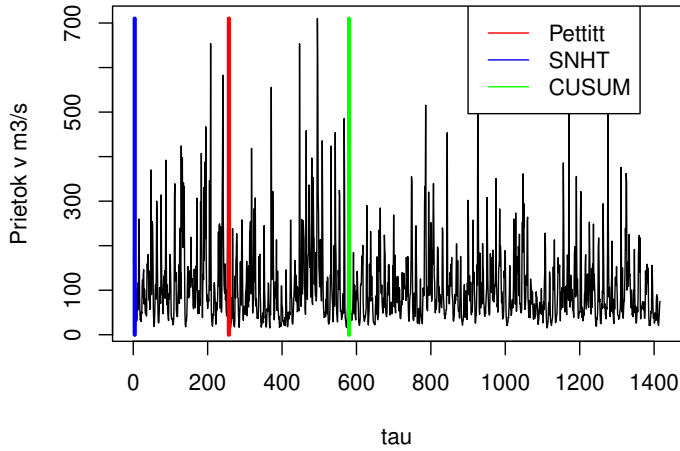
5.2 Bod zmeny

Čas, pri ktorom sa zmenila stredná hodnota procesu, budeme hľadať pomocou SNHT, Pettittovho testu a CUSUM testu. Výsledky týchto testov sú uvedené v Tabuľke 2. Kedže CUSUM neurčuje signifikantnosť zmeny, pri tejto metóde neuvádzame p-hodnotu. Okrem p-hodnoty Tabuľka 2 zobrazuje tiež poradové číslo pozorovania, pri ktorom zmena nastala a zároveň aj jeho čas.

Test	p -hodnota	τ	Mesiac a rok
SNHT	10^{-4}	4	Apríl 1900
Pettitt	0.01247	257	Máj 1921
CUSUM	-	580	Apríl 1948

Tabuľka 2: Detekcie jedného bodu zmeny prietoku Moravy.

SNHT označil za zmenu apríl 1900, pričom túto zmenu pokladá za signifikantnú, keďže má p-hodnotu nižšiu ako 5%. Pettittov test zasa za bod zmeny označil máj 1921 a taktiež je tento bod preňho signifikatný. Podľa CUSUM sa zmena stala v apríli 1948. Všetky tri body sú zobrazené na grafe na Obr. 6.



Obr. 6: Body zmeny nájdené pomocou SNHT, Pettittovho testu a CUSUM.

Významnosť všetkých troch bodov zmeny sme otestovali Mann-Whitney-Wilcoxonovým a Kolmogorov-Smirnovovým testom. Ich p-hodnoty sú uvedené v Tabuľke 3.

Test	Apríl 1900	Máj 1921	Apríl 1948
Mann-Whitney-Wilcoxon	0.002838	$3.566 \cdot 10^{-5}$	0.009959
Kolmogorov-Smirnov	0.01064	0.0001136	0.003857

Tabuľka 3: Testy signifikantnosti bodov pre prietok Moravy.

Oba testy zamietli homogenitu radu pri použití všetkých troch bodov zmeny. To znamená, že všetky tri body, t.j. apríl 1900, máj 1921 aj apríl 1948 môžeme považovať za body zmeny.

5.3 Viacnásobné body zmeny

Ďalšou časťou našej analýzy bolo hľadanie viacnásobných bodov zmeny. Toto hľadanie sme vykonávali najskôr pomocou oboch hierarchických metód, t.j. metódou E-Divisive aj agglomeratívnej metódou.

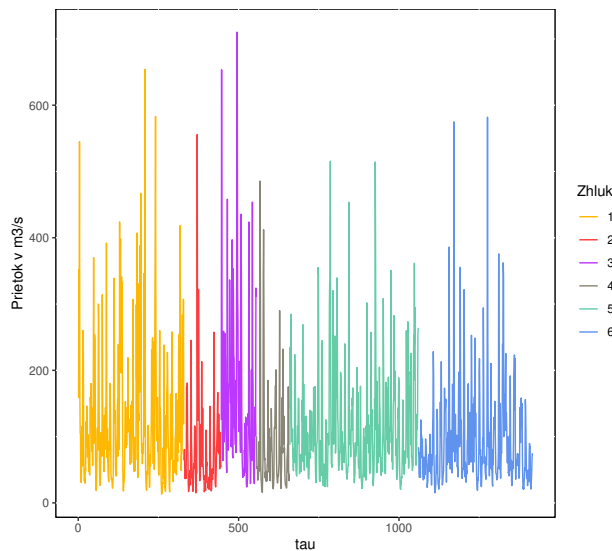
Divíznou metódou bolo nájdených päť bodov zmeny, čiže rad bol rozdelený do šiestich zhlukov, pričom každý zhluk sa riadi vlastným rozdelením.

τ	p -hodnota	Mesiac a rok
329	0.001996008	Máj 1927
445	0.001996008	Január 1937
555	0.001996008	Marec 1946
659	0.037924152	November 1954
1060	0.019960080	Apríl 1988

Tabuľka 4: Viacnásobné zmeny nájdené pomocou E-Divisive.

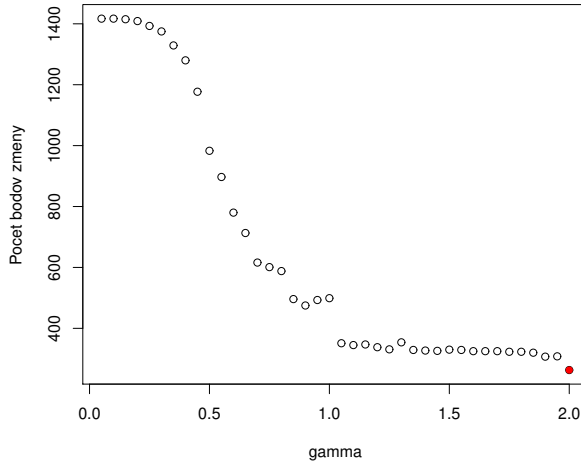
Musíme poznamenať, že algoritmus našiel ešte jeden bod, a to v $\tau = 1165$, teda v januári 1997. Avšak jeho p -hodnota je 0.129740519, čo je na hladine významnosti 5% štatisticky nevýznamný bod.

Graf na Obr. 7 zachytáva, ako nájdené body rozdeľujú náš pôvodný rad. Pozorovania zvýraznené rovnakou farbou sa riadia rovnakým rozdelením.



Obr. 7: Rozdelenie radu nájdenými bodmi pomocou E-Divisive metódy.

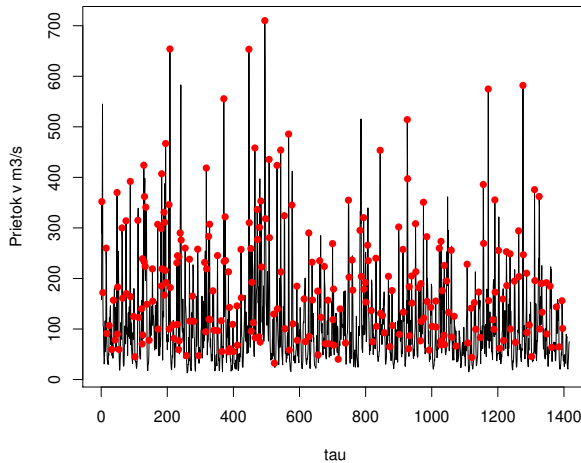
Vstupným parametrom aglomeratívneho algoritmu je parameter γ definovaný v časti 3.2. Tento parameter môže nadobúdať hodnoty z intervalu $(0; 2]$ (použitá funkcia povoľuje aj použitie krajnej hodnoty 2), pričom predstavuje momentový index, ktorý rozhoduje o vzdialosti medzi zhľukmi. Obr.8 zachytáva závislosť počtu nájdených bodov od hodnoty parametra γ .



Obr. 8: Počet nájdených bodov zmeny pomocou agglomeratívneho algoritmu v závislosti od hodnoty γ .

Vidíme, že počet bodov zmeny pre tento rad klesá s narastajúcou hodnotou parametra γ . Nakolko táto procedúra zjavne našla až privelké množstvo bodov zmeny pre akýkoľvek parameter z vyššie spomínaného intervalu, zameriame sa na ten, ktorý priniesol najmenší počet bodov. V tomto prípade je to $\gamma = 2$.

Pre takúto hodnotu parametra agglomeratívna metóda našla 263 bodov zmeny. Kedže sme našli veľa bodov, nebudeme tieto body uvádzať menovite, zachytili sme ich na Obr.9. Kvôli prehľadnosti sme ich označili červenými bodmi namiesto zvislých čiar.



Obr. 9: Rozdelenie radu nájdenými bodmi pomocou agglomeratívnej metódy.

Vidíme, že nájdených bodov je príliš veľa, pričom sú relatívne husto pri sebe. To znamená, že v jednom zhluku sú v niektorých prípadoch iba dve pozorovania.

Viacnásobné body zmeny sme hľadali aj pomocou iteračného aplikovania Pettittovho testu a SNHT.

Pettittov test sme aplikovali celkovo 16-krát, pričom sme našli 8 bodov zmeny. Tie sú zaznamenané v Tabuľke 5. Môžeme si všimnúť, že bod v čase $\tau = 1061$ bol nájdený aj pomocou divíznej metódy.

τ	Mesiac a rok
257	Máj 1921
388	Apríl 1932
431	November 1935
468	December 1938
510	Jún 1942
778	Október 1964
1061	Máj 1988
1139	November 1994

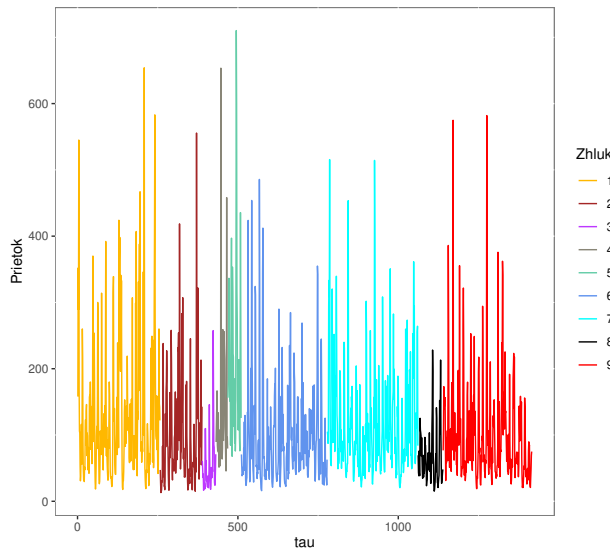
Tabuľka 5: Nájdené body zmeny prietoku Moravy pri iteračnom aplikovaní Pettittovho testu.

Aj v tomto prípade sme rozdelenie pôvodného radu zobrazili graficky - Obr. 10.

Hľadanie viacnásobných bodov zmeny pomocou iteračného SNHT si vyžadovalo vykonanú 14 iteráciu, pričom tento algoritmus detekoval 7 bodov zmien. Tieto body sú vypísané v Tabuľke 6. Vidíme, že zmena v čase $\tau = 446$ sa nachádza blízko jednej zo zmien detektovaných pomocou divíznej metódy. Divízna metóda našla aj zmenu v čase $\tau = 329$, teda rovnaké pozorovanie, ktoré bolo detektované iteračnou SNHT. Taká istá situácia je aj s bodom v čase $\tau = 579$, pričom nasledujúce pozorovanie označila CUSUM metóda za bod zmeny.

Opäť sme rozdelili náš pôvodný rad podľa vyššie spomínaných bodov - Obr. 11

V tomto prípade sme hodnoty vykreslili pomocou bodov pospájaných čiarami. Dôvodom je zvýraznenie pozorovania v čase $\tau = 447$. Toto pozorovanie algoritmus označil za



Obr. 10: Rozdelenie radu nájdenými bodmi pomocou iteráčného aplikovania Pettittovho testu.

τ	Mesiac a rok
4	Apríl 1900
329	Máj 1927
446	Február 1937
447	Marec 1937
509	Máj 1942
579	Marec 1948
1384	Apríl 2015

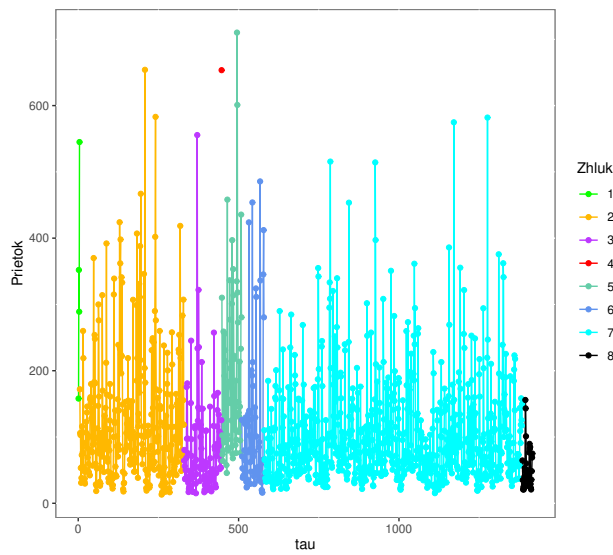
Tabuľka 6: Nájdené body zmeny prietoku Moravy pri iteráčnom aplikovaní SNHT.

bod zmeny, no zjavne sa podľa tohto algoritmu riadi iným rozdelením ako jeho susedné pozorovania. Z toho by sme mohli vyvodíť, že algoritmus toto pozorovanie považuje za outliera.

5.4 Trend

Nakoniec sme testovali prítomnosť trendu. Použili sme obojstranné verzie sezónneho Mann-Kendallovho testu a Cox-Stuartovho testu.

Oba testy neprítomnosť trendu zamietli. Podľa nich sa teda v našom rade, resp. jeho



Obr. 11: Rozdelenie radu nájdenými bodmi pomocou iteračného aplikovania Pettitovho testu.

Test	p-hodnota
Sezónny Mann-Kendall	0.00057362
Cox-Stuart	0.03211

Tabuľka 7: Obojstranné testy prítomnosti trendu pre prietok Moravy.

strednej hodnote, trend nachádza.

Aby sme zistili, aký trend - rastúci alebo klesajúci, sa v rade nachádza, urobili sme jednostranný Cox-Stuartov test.

H_0	p-hodnota
Rastúci trend	0.01605
Klesajúci trend	0.9867

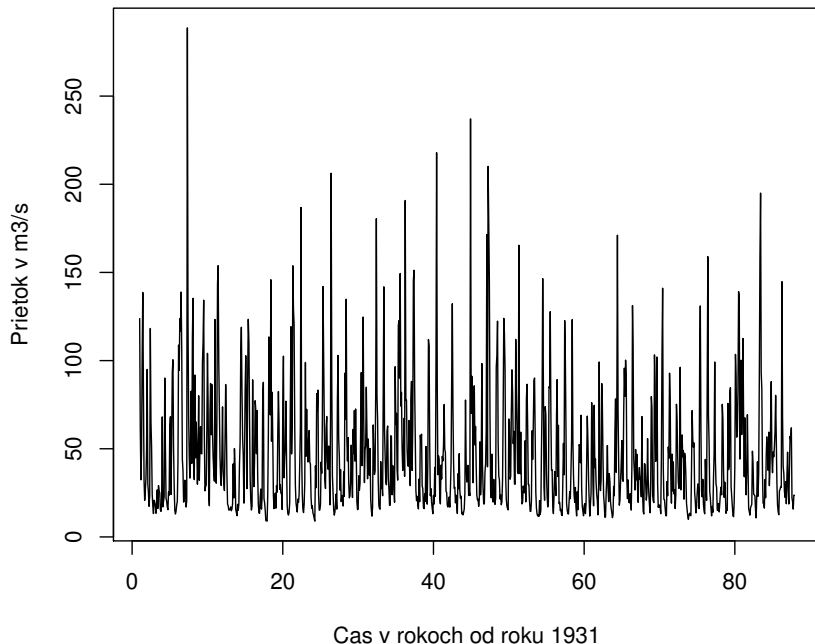
Tabuľka 8: Jednostranné Cox-Stuartove testy prítomnosti trendu pre prietok Moravy.

Tabuľka 8 najskôr vylúčila prítomnosť rastúceho trendu, no zároveň nevylúčila prítomnosť klesajúceho trendu. Tieto fakty môžeme zhrnúť tak, že v rade je klesajúci trend.

6 Analýza rieky Hron

Rieka Hron je druhou najdlhšou riekou na Slovensku s dĺžkou 298 km a rozlohou povodia 5453 km^2 . Pramení v Nízkych Tatrách na juhovýchodnom úpäti Královej hole. Pri Štúrove sa vlieva do Dunaja [10].

V tejto práci budeme analyzovať prietok Hronu na základe mesačných dát zachytávajúcich obdobie od januára 1931 do decembra 2017 nameraných na stanici Brehy v Banskobystrickom regióne. Obr. 12 zachytáva priebeh týchto dát.



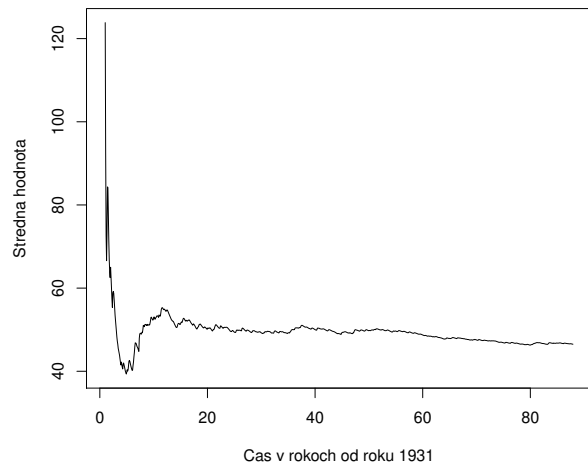
Obr. 12: Prietok Hrona od januára 1931 do decembra 2017.

Vývoj strednej hodnoty tohto radu môžeme vidieť na Obr. 13.

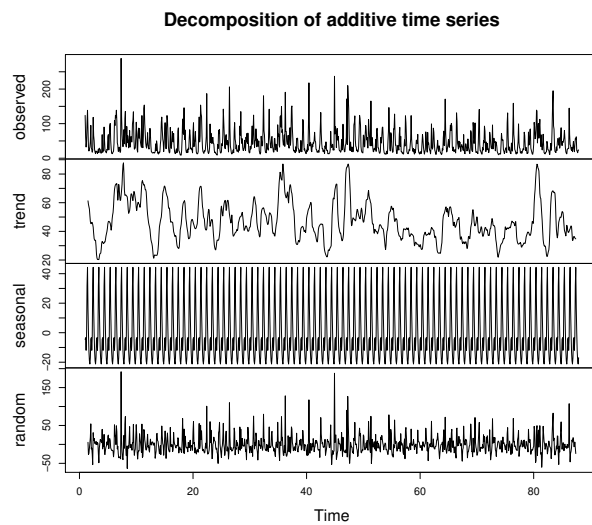
Dekompozíciu nášho radu na zložky popísané pomocou (36) ukazuje Obr. 14.

6.1 Homogenita

Opäť sme sa pri našej analýze najskôr pozreli na homogenitu tohto radu. O výsledkoch jej testov hovorí Tabuľka 9. Nakoľko majú oba testy p -hodnotu menšiu ako 5%, vylúčili homogenitu tohto radu. To znamená, že nejaká zmena sa v tomto rade nachádza.



Obr. 13: Stredná hodnota prietoku Hrona.



Obr. 14: Dekompozícia prietoku Hrona.

<i>Test</i>	<i>p – hodnota</i>
Rank Von Neumann (Bartels)	$< 2.2 \cdot 10^{-16}$
Wald-Wolfowitz	$< 2.2 \cdot 10^{-16}$

Tabuľka 9: Testy homogenity prietoku Hrona.

6.2 Bod zmeny

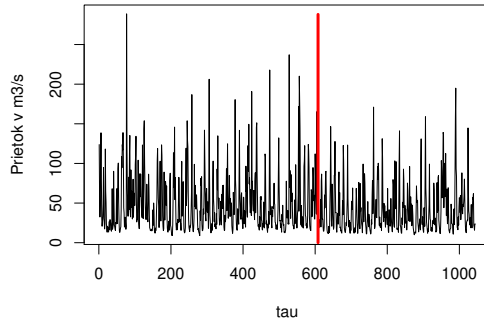
Začali sme s analýzou jedného bodu zmeny. Urobili SNH test, Pettittov test a aj CUSUM.

Ich výsledky sú v Tabuľke 10.

Test	p-hodnota	τ	Mesiac a rok
SNHT	0.00475	608	August 1981
Pettitt	0.001261	608	August 1981
CUSUM	-	608	August 1981

Tabuľka 10: Detekcie jedného bodu zmeny prietoku Hrona.

Vidíme, že všetky tri testy označili ako potenciálny bod zmeny rovnaký bod, t.j. august 1981. Kedže p-hodnota SNHT ako aj Pettittovho testu je menšia ako 5%, tieto dva testy označili zmenu v auguste 1981 za signifikantnú. Obr. 15 zachytáva čas, v ktorom zmena strednej hodnoty nastala.



Obr. 15: Zmena v prietoku Hrona.

Signifikanciu tohto bodu sme overili aj pomocou Mann-Whitney-Wilcoxonovho testu a Kolmogorov-Smirnovovho testu. Ich závery môžeme vidieť v Tabuľke 11.

Vidíme, že oba testy zamietli H_0 , teda homogenitu. Takže môžeme konštatovať, že august 1981 je skutočne bodom zmeny.

<i>Test</i>	August 1981
Mann-Whitney-Wilcoxon	$9.94 \cdot 10^{-5}$
Kolmogorov-Smirnov	0.0009431

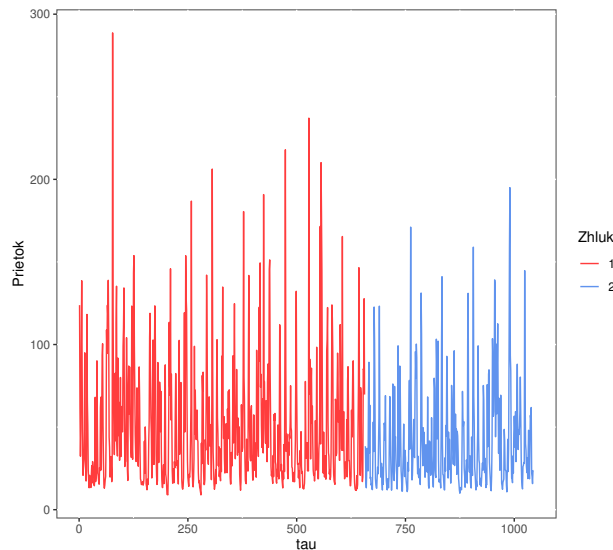
Tabuľka 11: Testy signifikantnosti pre august 1981.

6.3 Viacnásobné body zmeny

Ako pri analýze prietoku Moravy, tak aj pri analyzovaní prietoku Hrona sme hľadali viacnásobné body zmeny pomocou divízneho a aglomeratívneho algoritmu a aj pomocou iteráčného Pettittovho testu a SNHT.

Divízna metóda našla iba jeden bod zmeny. Zmena podľa neho nastala v čase $\tau = 656$, teda v auguste 1985. O signifikantnosti tejto zmeny rozhodla p-hodnota, ktorá je pre tento bod 0.001996008. Keďže je p-hodnota menšia ako 5%, táto zmena je signifikantná. Táto metóda našla aj jeden nesignifikantný bod - v čase $\tau = 440$, teda august 1967. Nakolko je jeho p-hodnota 0.153692615, čo je viac ako 5%, tento bod bol vyznačený za nesignifikantný.

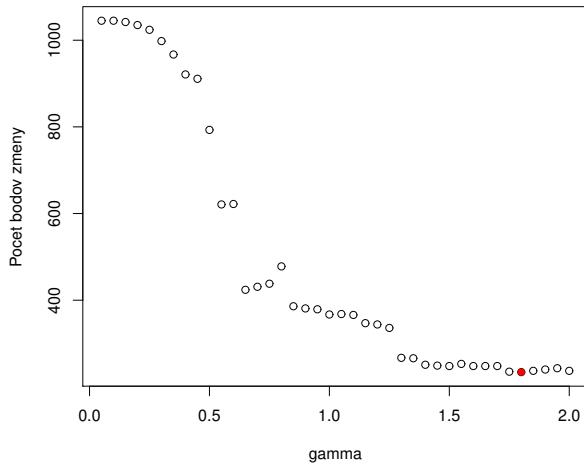
August 1985 rozdelil náš pôvodný rad na dve časti. Toto rozdelenie je zobrazené na Obr. 16.



Obr. 16: Rozdelenie prietoku Hrona na základe nájdeného bodu zmeny pomocou E-Divisive.

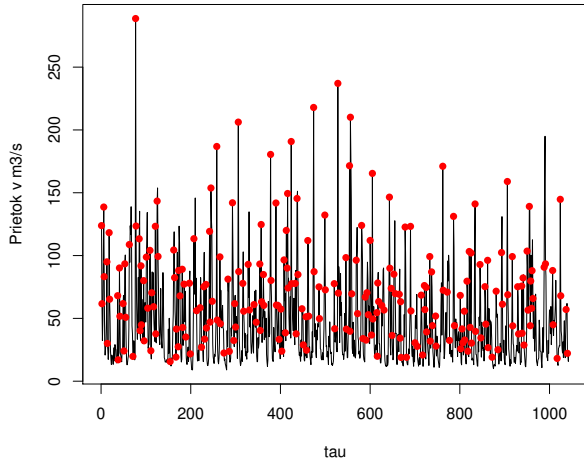
V prípade aglomeratívneho algoritmu sme opäť najskôr hľadali hodnotu parametra γ ,

pri ktorej bude počet nájdených bodov najmenší. Tento proces je zachytený na Obr. 17.



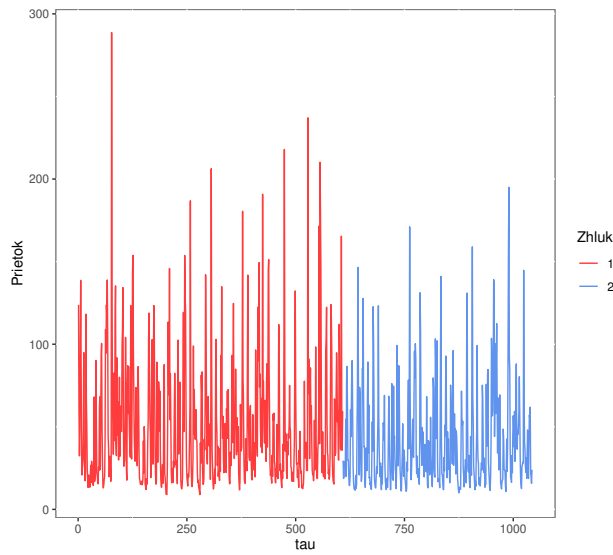
Obr. 17: Počet nájdených bodov zmeny pomocou agglomeratívneho algoritmu v závislosti od hodnoty γ .

V tomto prípade najnižší počet bodov prináša $\gamma = 1.8$, pričom nájdeme 234 bodov. Pre predstavu ako husto nájdené body ležia, prinášame Obr. 18.



Obr. 18: Body zmeny nájdené pomocou agglomeratívneho algoritmu.

Viacnásobné body zmeny sme sa pokúsili nájsť aj pomocou iteračného Pettittovho testu a SNHT. Oba testy pri hľadaní jedného bodu označili za bod zmeny pozorovanie s poradovým číslom 608, teda august 1981. Toto pozorovanie nám rozdelilo pôvodný rad na dva samostatné rady. Toto rozdelenie je zobrazené na Obr. 19.



Obr. 19: Rozdelenie prietoku Hrona na základe nájdeného bodu zmeny pomocou Pettittovho testu a SNHT.

Na oba tieto rady, ktoré vznikli rozdelením pôvodného radu, sme použili ako Pettittov test, tak aj SNHT. Testy súčasne body našli, no ani jeden z nich neboli signifikantní. Preto môžeme konštatovať, že oba iteračné prístupy našli iba jeden bod zmeny, ktorý sme našli v časti 6.2.

6.4 Trend

Ďalej sme sa pozreli na dlhodobé zmeny v tomto rade. Analyzovali sme teda výskyt trendu pomocou sezónneho Mann-Kendallovho testu a Cox-Stuartovho testu. Nasledujúca tabuľka zobrazuje ich výsledky.

Test	p-hodnota
Sezónny Mann-Kendall	$3.9128e - 05$
Cox-Stuart	0.07263

Tabuľka 12: Obojstranné testy prítomnosti trendu pre prietok Hronu.

Mann-Kendallov test zamietol hypotézu, ktorá hovorí o neprítomnosti trendu. Teda podľa neho sa v rade trend nachádza. Naopak, Cox-Stuartov test nevylúčil, že sa v rade trend nenachádza. Musíme však konštatovať, že hypotézu o neprítomnosti trendu na hla-

dine významnosti 5% nezamietol veľmi tesne. Z tohto dôvodu, sme vykonali Cox-Stuartove jednostranné testy, pričom prítomnosť trendu bola zistovaná pomocou obojstranného testu. Výsledky jednostranných testov môžeme vidieť v Tabuľke 13.

H_0	p -hodnota
Rastúci trend	0.03631
Klesajúci trend	0.9701

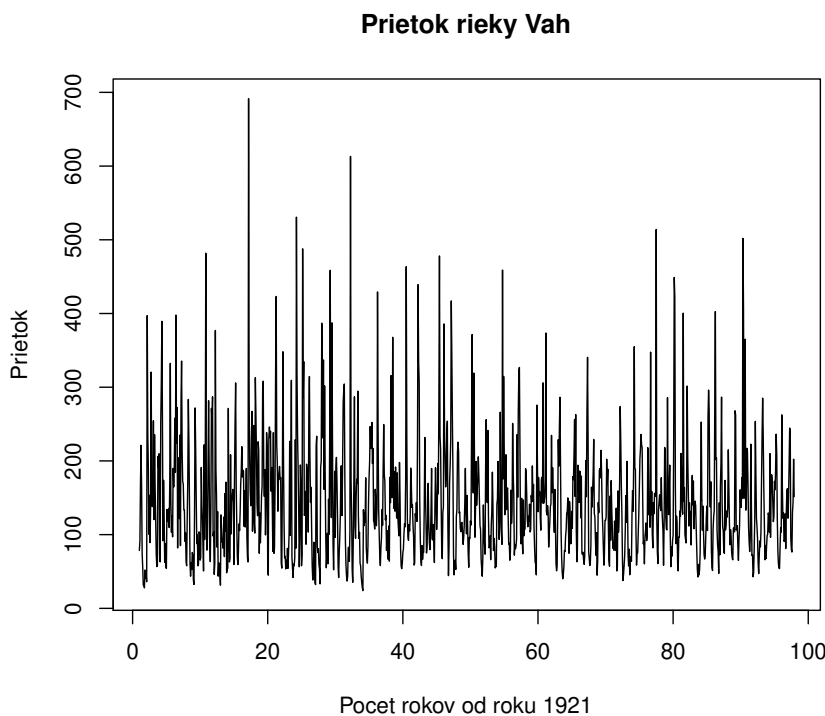
Tabuľka 13: Tabuľka p-hodnôt jednostranných Cox-Stuartových testov prítomnosti trendu pre prietok Hronu.

Vidíme, že hypotéza H_0 hovoriaca o rastúcom trende bola zamietnutá. Naopak hypotéza o klesajúcom trende zamietnutá nebola. Môžeme teda konštatovať, že v rade je klesajúci trend.

7 Analýza rieky Váh

Rieka Váh je najdlhšou riekou na Slovensku. Táto rieka vzniká sútokom riek Biely Váh, ktorý pramení na svahoch Kriváňa, a Čierny Váh prameniaci pod Kráľovou hoľou. Celková dĺžka jeho toku je 403 km a jeho povodie zaberá rozlohu približne 10640 km^2 . V Komárne sa Váh vlieva do Dunaja [23].

Graf na Obr. 20 zachytáva mesačný prietok Váhu v m^3/s od januára 1921 do decembra 2017. Tieto údaje boli namerané na stanici v Šali.



Obr. 20: Priestok Váhu od januára 1921 do decembra 2017.

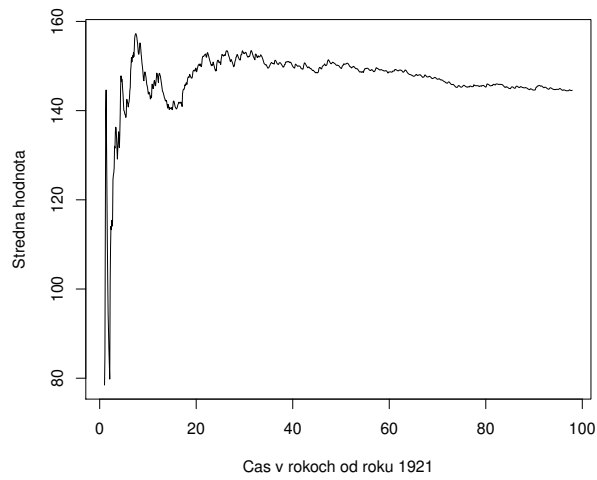
Priebeh strednej hodnoty priestoku Váhu je zobrazený na Obr. 21.

Dekompozícia tohto radu nám ukáže priebeh jeho jednotlivých zložiek - Obr. 22.

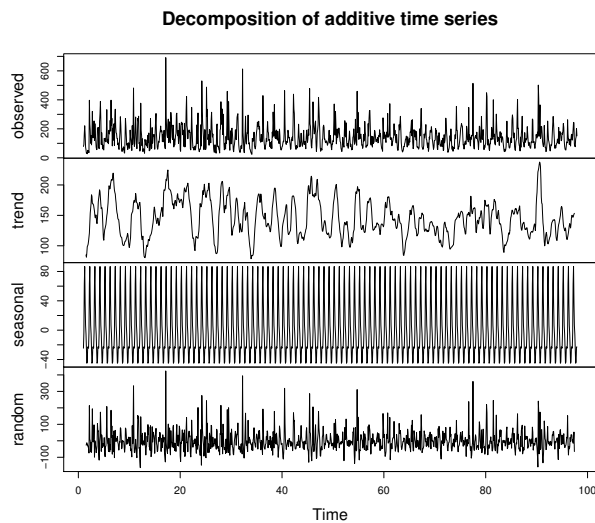
7.1 Homogenita

Na otestovanie homogeneity sme opäť použili rankovú verziu Von Neumannovho testu (Bartelsov test) a Wald-Wolfowitzov test. Ich výsledky sú zachytené v Tabuľke 14.

Tak ako pri predošlých dvoch riekach, tak aj homogenita priestoku Váhu bola zamietnutá oboma testami.



Obr. 21: Priebeh strednej hodnoty Váhu.



Obr. 22: Dekompozícia prietoku Váhu.

<i>Test</i>	<i>p – hodnota</i>
Rank Von Neumann (Bartels)	$< 2.2 \cdot 10^{-16}$
Wald-Wolfowitz	$< 2.2 \cdot 10^{-16}$

Tabuľka 14: Testy homogenity prietoku Váhu.

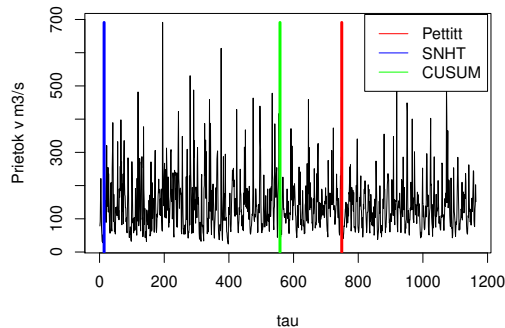
7.2 Bod zmeny

Na hľadanie bodu zmeny sme znova urobili SNHT, Pettittov test a CUSUM na týchto dátach. Tabuľka 15 zobrazuje ich závery.

Test	p -hodnota	τ	Mesiac a rok
SNHT	0.1255	14	Február 1922
Pettitt	0.3768	749	Máj 1983
CUSUM	-	558	Jún 1967

Tabuľka 15: Detekcie jedného bodu zmeny prietoku Váhu.

Každý z testov označil za bod zmeny iný čas. Avšak SNHT aj Pettittov test označili nájdený bod za nesignifikantný. Všetky tri body sú zobrazené na Obr. 23



Obr. 23: Body zmeny prietoku Váhu.

Signifikanciu nájdených troch bodov sme otestovali aj Mann-Whitney-Wilcoxonovým a Kolmogorov-Smirnovovým testom.

Test	Február 1922	Máj 1983	Jún 1967
Mann-Whitney-Wilcoxon	0.0002548	0.05649	0.1859
Kolmogorov-Smirnov	0.001212	0.00531	0.0002395

Tabuľka 16: Testy signifikantnosti pre nájdené body zmeny prietoku Váhu.

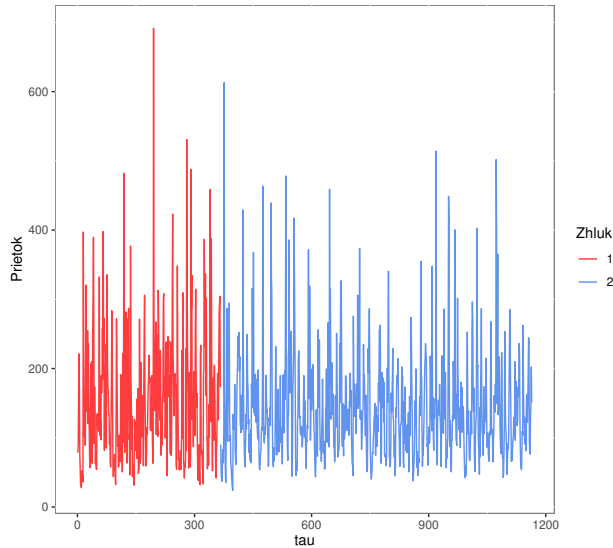
V prípade februára 1922 oba testy homogenitu zamietli, a teda určili zmenu v tomto čase za signifikantnú. Bod nájdený Pettitovým testom Mann-Whitney-Wilcoxonov test

velmi tesne vyhodnotil ako nesignifikantný, avšak Kolmogorov-Smirnovov test ho označil ako signifikantný. Jún 1967 bol Mann-Whitney-Wilcoxonovým testom označený ako nesignifikatný, no Kolmogorov-Smirnovov test si myslí presný opak.

7.3 Viacnásobné body zmeny

Podobne ako aj v prípade predoších dvoch riek sme viacnásobné body hľadali pomocou oboch hierarchických metód a taktiež iteračných metód.

Pomocou divíznej metódy sme našli iba jeden bod zmeny. Podľa nej zmena strednej hodnoty, teda aj zmena rozdelenia, nastala v čase $\tau = 366$. Tento bod predstavuje hodnotu nameranú v júni 1951. Rozdelenie radu môžeme vidieť na Obr. 24.



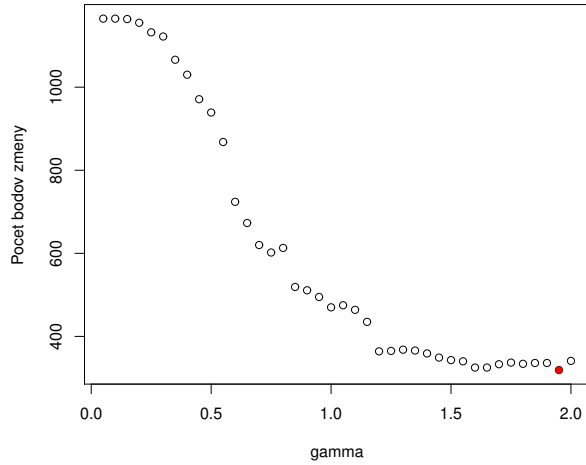
Obr. 24: Rozdelenie radu prietoku Váhu podľa bodu zmeny nájdeného pomocou divíznej metódy.

Priebeh počtu bodov nájdených pomocou agglomeratívnej procedúry je zobrazený na grafe na Obr. 25.

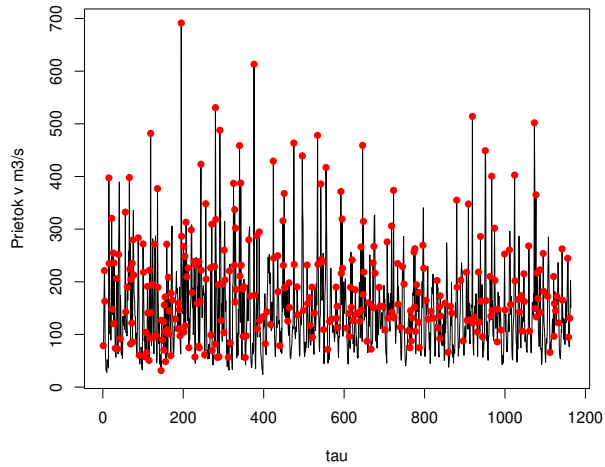
Vidíme, že najnižší počet bodov nájdeme, ak $\gamma = 1.95$. Pre túto hodnotu γ nájdeme 319 bodov zmeny. Pre predstavu uvádzame Obr. 26.

Iteračné aplikovanie Pettittovho testu skončilo s rovnakým výsledkom ako divízna metóda - nájdený bol iba jeden bod. Tento bod sme našli už v časti 7.2 pomocou Pettittovho testu. Obr. 27 zobrazuje rozdelenie pôvodného radu pomocou tohto bodu.

Napriek tomu, že SNHT označil bod nájdený v časti 7.2 za nesignifikantný, testy



Obr. 25: Počet nájdených bodov zmeny pomocou aglomeratívneho algoritmu v závislosti od hodnoty γ .



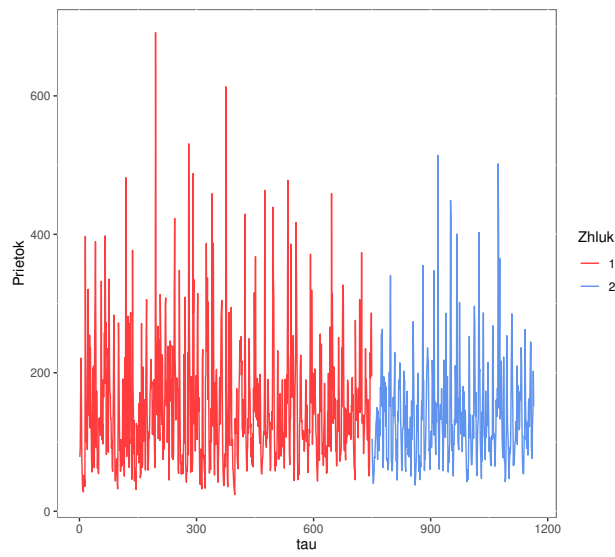
Obr. 26: Body zmeny nájdené pomocou aglomeratívneho algoritmu.

určujúce jeho signifikanciu si mysleli opak. Z tohto dôvodu sme ho aplikovali iteračne. Okrem bodu v čase $\tau = 14$, ktorý bol nájdený pomocou SNHT v časti 7.2, sme našli aj bod v čase $\tau = 5$, čo zodpovedá máju 1921.

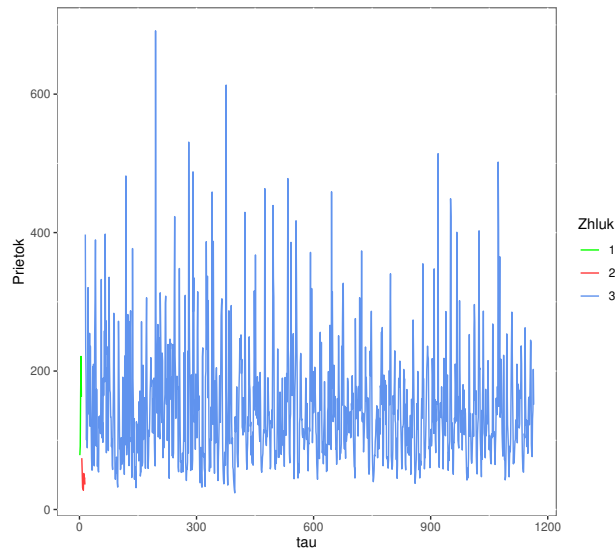
7.4 Trend

Aj na rieke Váh sme testovali prítomnosť trendu.

Oba testy prítomnosť trendu v rade radikálne zamietli. Z tohto dôvodu nevidíme dôvod



Obr. 27: Rozdelenie radu prietoku Váhu podľa bodu nájdeného pomocou Pettittovho testu.



Obr. 28: Rozdelenie radu prietoku Váhu podľa bodov nájdených pomocou iterovania SNHT.

Test	p-hodnota
Sezónny Mann-Kendall	0.42694
Cox-Stuart	0.7717

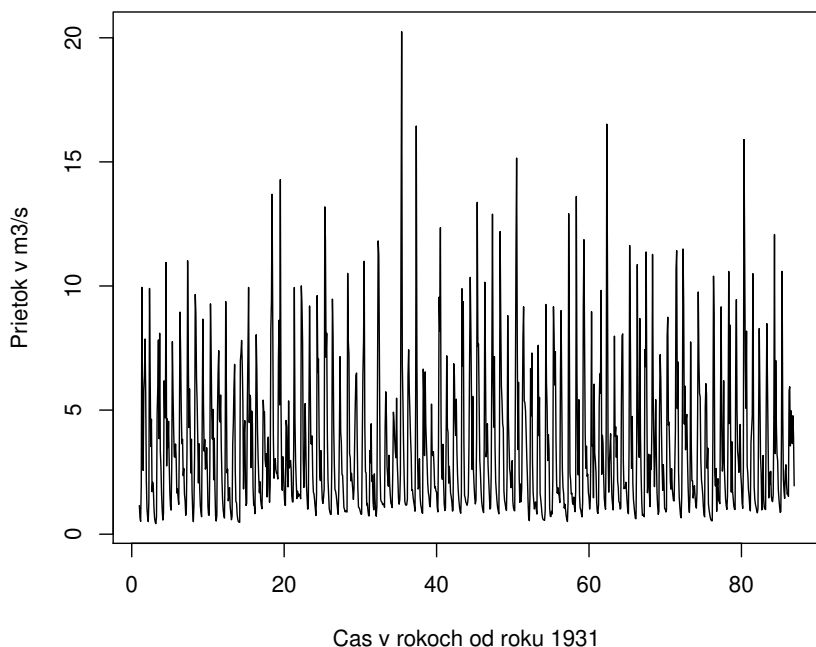
Tabuľka 17: Obojstranné testy prítomnosti trendu pre prietok Váhu.

testovať ani jednostranné hypotézy.

8 Analýza rieky Belá

Rieka Belá vzniká sútokom Tichého a Kôprovského potoka na juh od Kriváňa. Dĺžka jej toku je 24 km a jej povodie zaberá plochu 245 km^2 . V Liptovskom Hrádku ústí do rieky Váh. Viac o toku tejto rieky môžeme nájsť na [9].

V tejto práci analyzujeme mesačné prietoky tejto rieky za obdobie od januára 1931 do decembra 2016 namerané na stanici v Podbanskom (okres Liptovský Mikuláš). Dáta sú zazychtené na Obr. 29.



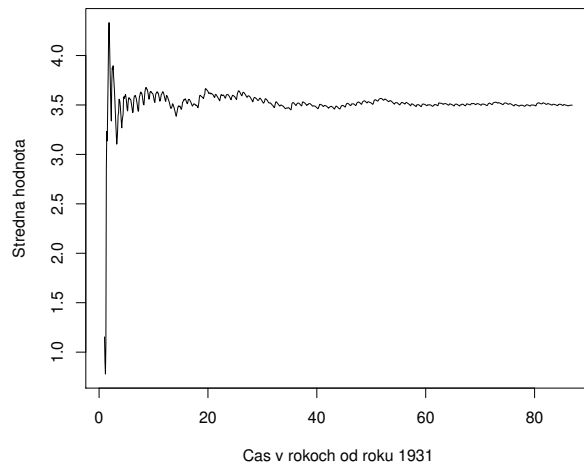
Obr. 29: Prietok Belej od januára 1931 do decembra 2016.

Pozrime sa na priebeh strednej hodnoty nášho radu na Obr. 30 a na dekompozíciu radu na trendovú, sezónnu a náhodnú zložku - Obr. 31.

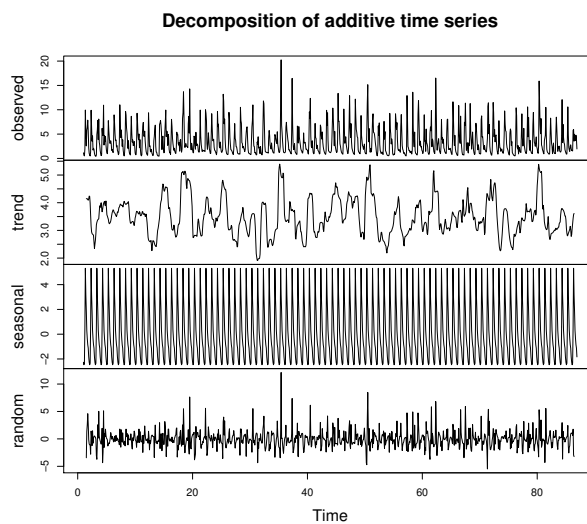
8.1 Homogenita

Testy homogenity nám povedia, či má vôbec význam hľadať zmeny v danom rade. Ich výsledky sú uvedené v Tabuľke 18.

Ako aj v predošlých prípadoch, p-hodnota je oveľa menšia ako 5%. Hypotézu, že rad je homogénny, teda v ňom nie je žiadna zmena rozdelenia, zamietame. Z toho vyplýva, že



Obr. 30: Stredná hodnota prietoku Belej.



Obr. 31: Dekompozícia prietoku Belej.

<i>Test</i>	<i>p – hodnota</i>
Rank Von Neumann (Bartels)	$< 2.2 \cdot 10^{-16}$
Wald-Wolfowitz	$< 2.2 \cdot 10^{-16}$

Tabuľka 18: Testy homogeneity prietoku Belej.

by sme v rade mohli nájsť nejakú zmenu.

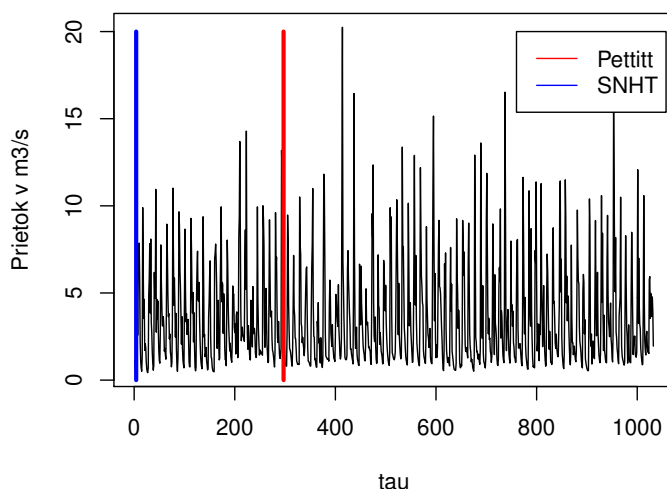
8.2 Bod zmeny

Na nájdenie bodov zmeny sme opäť použili metódy opísané v Kapitole 2. Ich výsledky sú zachytené v Tabuľke 19.

<i>Test</i>	<i>p-hodnota</i>	τ	<i>Mesiac a rok</i>
SNHT	0.9168	4	Apríl 1931
Pettitt	0.4822	297	September 1955
CUSUM	-	-	-

Tabuľka 19: Detekcie jedného bodu zmeny prietoku Belej.

SNHT našiel bod zmeny v apríli 1931 a Pettittov test v septembri 1955. Oba body však tieto testy označili za nesignifikantné. CUSUM metóda dokonca v tomto rade nenašla žiadnu zmenu v strednej hodnote. Časy zmien nájdených pomocou SNHT a Pettittovým testom sú zobrazené na Obr. 32.



Obr. 32: Body zmeny v prietoku Belej nájdené pomocou SNHT a Pettittovho testu.

Pozrime sa, čo si o nájdených bodoch myslia Mann-Whitney-Wilcoxonov test a Kolmogorov-Smirnovov test. Ich výsledky môžeme vidieť v Tabuľke 20.

Mann-Whitney-Wilcoxonov test označil september 1955 za signifikantný. Naopak zmena v apríli 1931 podľa neho nie je významná. Kolmogorov-Smirnovov test priniesol presne

<i>Test</i>	April 1931	September 1955
Mann-Whitney-Wilcoxon	0.01759	0.06249
Kolmogorov-Smirnov	0.1254	0.02824

Tabuľka 20: Testy signifikantnosti zlomov v prie toku Belej.

opačné závery.

8.3 Viacnásobné body zmeny

Kedže na základe predchádzajúcej kapitoly môžeme usúdiť, že v rade nenastala žiadna zmena v strednej hodnote, nevidíme dôvod hľadať viacnásobné zmeny.

8.4 Trend

Pozrime sa však na dlhodobé zmeny režimu. Tabuľka 21 nám hovorí, že oba testy prítomnosti trendu zamietli.

<i>Test</i>	<i>p-hodnota</i>
Sezónny Mann-Kendall	0.72881
Cox-Stuart	0.8949

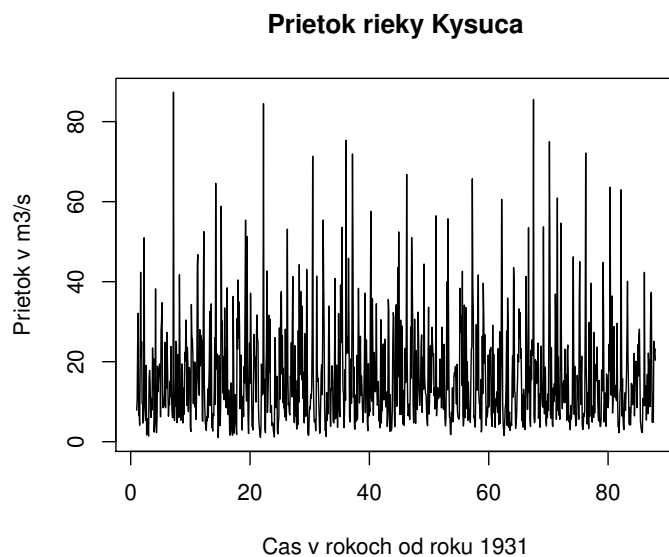
Tabuľka 21: Obojstranné testy prítomnosti trendu pre prietok Belej.

Nakoľko je p-hodnota Cox-Stuartovho obojstranného testu relatívne dosť vysoká - zamietá prítomnosť trendu, oba jednostranné testy taktiež zamietnu prítomnosť akéhokoľvek monotónneho trendu.

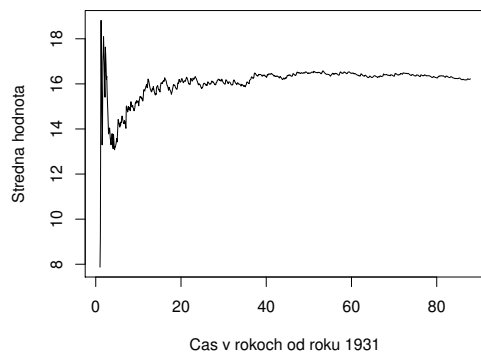
9 Analýza rieky Kysuca

Ďalšou riekou, ktorú budeme analyzovať, je rieka Kysuca. Podľa [12] táto rieka pramení v oblasti Makova a preteká celým regiónom Kysúc. Pri Žiline sa vlieva do Váhu. Jej celková dĺžka je $66,3\text{ km}$ a jej povodie má rozlohu približne 1040 km^2 .

Vstupnými dátami našej analýzy budú hodnoty mesačných prietokov spomínanej rieky za obdobie od januára 1931 do decembra 2017, ktoré boli namerané na stanici v Kysuckom Novom Meste. Priebeh týchto dát môžeme vidieť na Obr. 33 a priebeh strednej hodnoty na Obr. 34.

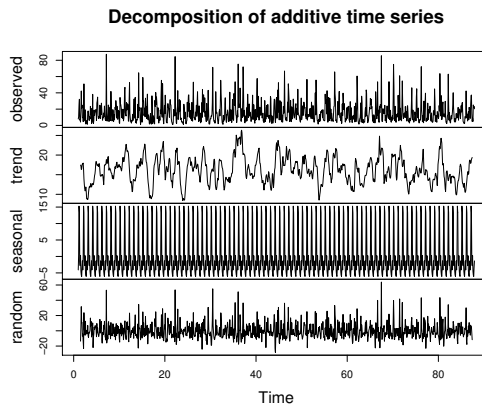


Obr. 33: Priekop rieky Kysuca od januára 1931 do decembra 2017.



Obr. 34: Stredná hodnota priekoku rieky Kysuca.

Obr. 35 zobrazuje dekompozíciu analyzovaného radu.



Obr. 35: Dekompozícia prietoku rieky Kysuca.

9.1 Homogenita

Pomocou testov homogeneity zistíme, či sa v rade vôbec nejaká zmena nachádza.

Test	p – hodnota
Rank Von Neumann (Bartels)	$< 2.2 \cdot 10^{-16}$
Wald-Wolfowitz	$< 2.351 \cdot 10^{-16}$

Tabuľka 22: Testy homogeneity prietoku rieky Kysuca.

Oba testy homogenitu nášho radu zamietli. Môžeme povedať, že nejaká zmena sa v rade nachádza.

9.2 Bod zmeny

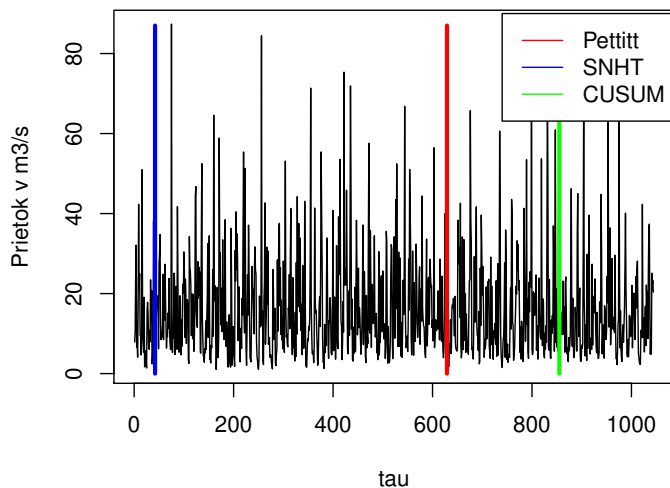
Body zmeny budeme hľadať podobne ako v predošlých kapitolách, t.j. pomocou SNHT, Pettittovho testu a CUSUM metódy. Ich závery zachytáva Tabuľka 23.

SNHT považuje za bod zmeny jún 1934 a Pettittov test máj 1983. Oba testy však nájdené body označili za nevýznamné. CUSUM metóda našla marec 2002, no zatiaľ nevieme jeho signifikantnosť. Tieto tri časy sme zaznačili aj na grafe na Obr. 36.

Signifikanciu vyššie nájdených bodov sme overili aj pomocou Mann-Whitney-Wilcoxonovho testu a Kolmogorov-Smirnovovho testu, vid Tabuľka 24.

<i>Test</i>	<i>p-hodnota</i>	τ	<i>Mesiac a rok</i>
SNHT	0.9486	42	Jún 1934
Pettitt	0.8718	629	Máj 1983
CUSUM	-	855	Marec 2002

Tabuľka 23: Body zmeny prietoku rieky Kysuca.



Obr. 36: Body zmeny v prietoku Kysuce nájdené pomocou SNHT, Pettittovho testu a CUSUM.

<i>Test</i>	Jún 1934	Máj 1983	Marec 2002
Mann-Whitney-Wilcoxon	0.04113	0.188	0.3198
Kolmogorov-Smirnov	0.08783	0.287	0.1643

Tabuľka 24: Testy signifikantnosti zlomov prietoku Kysuce.

Môžeme si všimnúť, že Mann-Whitney-Wilcoxonov test považuje za signifikantný iba jún 1934, aj to relatívne tesne. Kolmogorov-Smirnovov test nepovažuje za významný ani jeden z nájdených bodov. Môžeme teda povedať, že v prietoku Kysuce sme nenašli žiadnu signifikantnú jednorázovú zmenu strednej hodnoty. To znamená, že z pohľadu strednej hodnoty je prietok Kysuce relatívne stabilný vzhľadom na jednorázové zmeny.

9.3 Viačnásobné body zmeny

Ako v prípade rieky Belá, ktorú sme analyzovali v predošej kapitole, tak aj v prípade rieky Kysuca nevidíme dôvod hľadať viačnásobné zmeny, keďže sme v predchádzajúcej časti tejto kapitoly nenašli ani jednu zmenu.

9.4 Trend

Hoci sa v rade nenachádzajú "nárazové" zmeny, je možné, že sa v ňom prejavujú dlhodobé zmeny - trend. Na analýzu trendu sme opäť použili už známe testy - sezónny Mann-Kendallov a Cox-Stuartov test. Výsledky tejto analýzy sú v Tabuľke 25.

<i>Test</i>	<i>p-hodnota</i>
Sezónny Mann-Kendall	0.95949
Cox-Stuart	0.6937

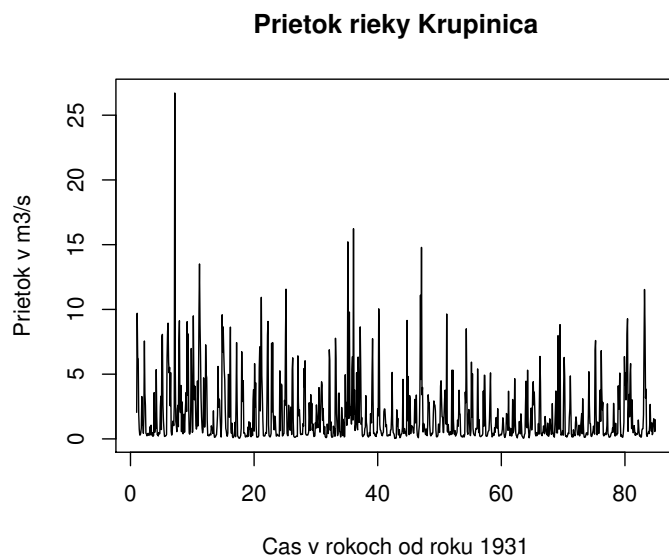
Tabuľka 25: Obojstranné testy prítomnosti trendu pre prietok Kysuce.

Oba testy sa zhodli na závere, že v našom rade sa monotónny trend nenachádza. Kedže vidíme, že p-hodnota Cox-Stuartovho testu je pomerne vysoká, predpokladáme, že aj pri aplikácii jednostranných testov bude záver podobný, t.j. zamietneme prítomnosť monotónneho trendu.

10 Analýza rieky Krupinica

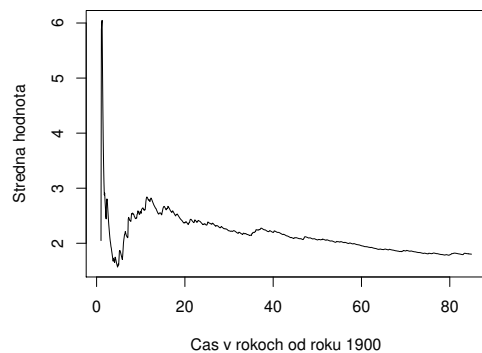
Prameň rieky Krupinica sa nachádza pri osade Podlysec v pohorí Javorina. Má dĺžku niečo viac ako 65 km a jej povodie zaberá plochu 551 km^2 . Západne od mesta Šahy sa vlieva do rieky Ipel. [22]

Prietok Krupinice budeme analyzovať na základe mesačných hodnôt nameraných na stanici v obci Plášťovce (okres Levice). Dáta sú z obdobia od januára 1931 do decembra 2014, ich priebeh je zachytený na Obr. 37.

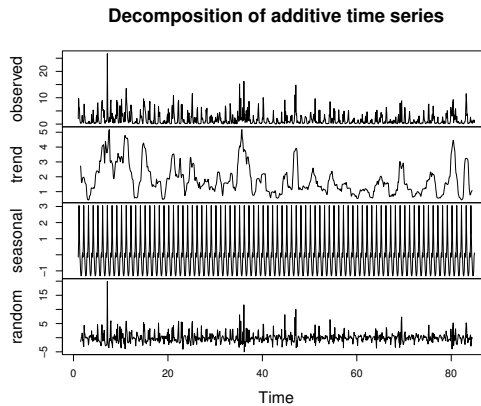


Obr. 37: Prietok Krupinice.

Na Obr. 38 vidíme priebeh strednej hodnoty tejto rieky a na Obr. 39 jej dekompozíciu.



Obr. 38: Stredná hodnota prietoku Krupinice.



Obr. 39: Dekompozícia prietoku Krupinice.

10.1 Homogenita

Z výsledkov uvedených v Tabuľke 26 vidíme, že hypotéza o homogenite nášho radu je zamietnutá. Z toho vyplýva, že sa v rade nejaká zmena nachádza.

Test	p – hodnota
Rank Von Neumann (Bartels)	$< 2.2 \cdot 10^{-16}$
Wald-Wolfowitz	$< 2.2 \cdot 10^{-16}$

Tabuľka 26: Testy homogenity prietoku Krupinice.

10.2 Bod zmeny

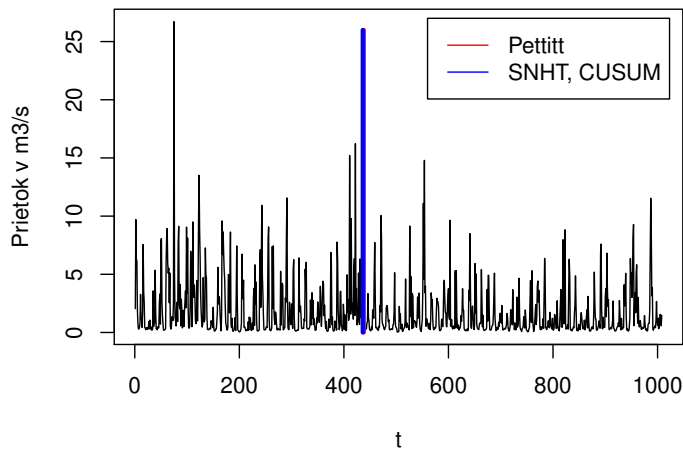
Najskôr sa pozrieme na hľadanie jedného bodu zmeny. Výsledky SNHT, Pettittovho testu a CUSUM metódy môžeme nájsť v Tabuľke 27.

Test	p-hodnota	τ	Mesiac a rok
SNHT	$< 2.2 \cdot 10^{-16}$	436	Apríl 1967
Pettitt	0.0004466	438	Jún 1967
CUSUM	-	436	Apríl 1967

Tabuľka 27: Detekcie jedného bodu zmeny Krupinice.

Podľa SNHT nastal zlom v apríli 1967. Pettittov test si myslí, že zmena nastala o dva

mesiace neskôr. Oba body vyhodnotil príslušný test za signifikantné. CUSUM algoritmus sa pridal na stranu SNHT a tiež označil apríl 1967 za prelomový. Čas, kedy zmeny nastali, môžeme vidieť na Obr. 40.



Obr. 40: Body zmeny v prietoku Krupinice nájdené pomocou SNHT, Pettitovho testu a CUSUM.

Významnosť apríla a júna 1967 sme overili aj pomocou testov z častí 2.4 a 2.5.

Test	Apríl 1967	Jún 1967
Mann-Whitney-Wilcoxon	$4.531 \cdot 10^{-5}$	$3.534 \cdot 10^{-5}$
Kolmogorov-Smirnov	$8.876 \cdot 10^{-6}$	$1.325 \cdot 10^{-5}$

Tabuľka 28: Testy signifikantnosti zlomov v prietoku Krupinice.

Z Tabuľky 28 vidíme, že homogenita pri danom τ bola zamietnutá oboma použitými testami pri oboch nájdených bodoch. Môžeme teda povedať, že zmena strednej hodnoty v nájdených časoch bola skutočne signifikantná. Kedže nájdené body sú relatívne blízko seba, môžeme povedať, že niekedy v období okolo apríla 1967 až júna 1967 skutočne nastala zmena, ktorá bola veľmi významná.

10.3 Viacnásobné body zmeny

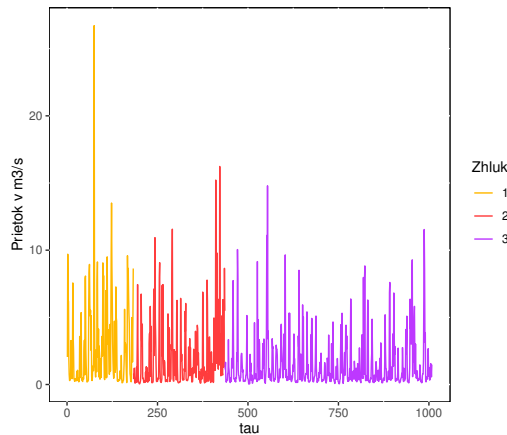
Nakoľko sme v predchádzajúcej časti našli body zmeny, môžeme predpokladať, že sa ich v našom rade nachádza viac.

Najskôr sa pozrime na body nájdené pomocou divíznej metódy. Tie sú zachytené v Tabuľke 29 a rozdelenie radu podľa nich na Obr. 41.

τ	<i>p-hodnota</i>	Mesiac a rok
183	0.001996008	Marec 1946
436	0.039920160	Apríl 1967

Tabuľka 29: Viacnásobné zmeny v prietoku Krupinice nájdené pomocou E-Divisive.

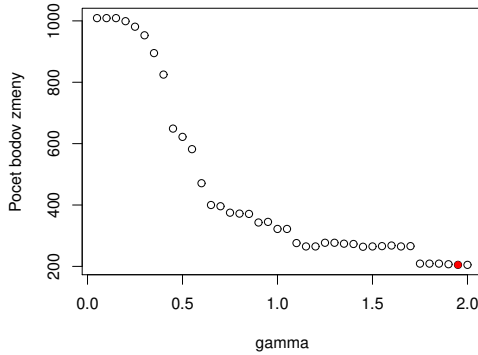
Môžeme si všimnúť, že aj divízna metóda našla bod, ktorý bol detekovaný aj pomocou SNHT a CUSUM. Tento fakt podporuje naše tušenie, že na jar 1967 nastala významná zmena prietoku Krupinice.



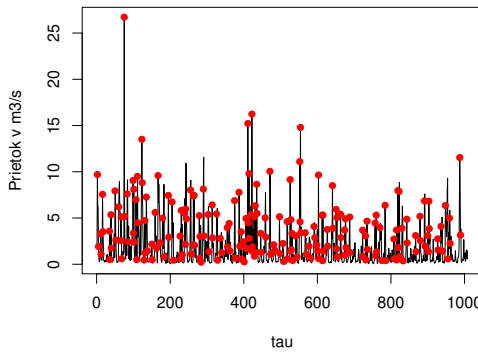
Obr. 41: Rozdelenie prietoku Krupinice nájdenými bodmi pomocou E-Divisive metódy.

Pred začiatkom aplikácie aglomeratívneho algoritmu sme opäť najskôr hľadali hodnotu parametra γ , pri ktorej bol počet nájdených bodov zmeny čo najmenší. Obr. 42 ukazuje, že takou hodnotou je $\gamma = 1.95$. Pre túto hodnotu aglomeratívna metóda našla 205 bodov zmeny. Tieto body sú zobrazené na Obr. 43.

Nakoniec sme na hľadanie viacnásobných bodov iteráčne aplikovali Pettittov test a SNHT.



Obr. 42: Počet nájdených zlomov v prietoku Krupinice pomocou agglomeratívneho algoritmu v závislosti od hodnoty γ .



Obr. 43: Body zmeny Krupinice nájdené pomocou agglomeratívnej metódy.

Pomocou Pettittovho testu sme okrem júna 1967 nájdeného v časti 10.2 našli ďalšie štyri body. Výsledky iteračného Pettittovho testu vidíme v Tabuľke 30.

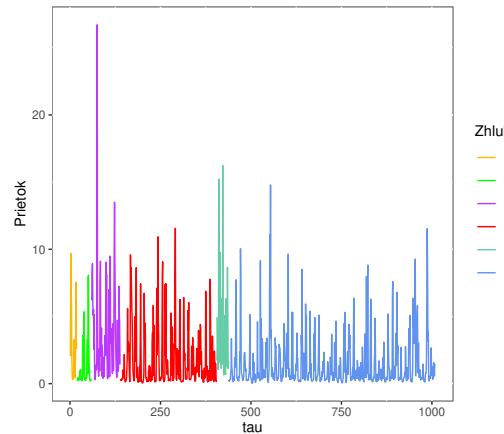
Päť nájdených bodov zlomu nám rozdelí náš rad na šesť častí, pričom každá z nich sa riadi vlastnou distribúciou. Grafické rozdelenie nášho radu zobrazuje Obr. 44.

Iteračná SNHT metóda našla okrem apríla 1967 taktiež ďalšie štyri body zachytené v Tabuľke 31. Rozdelenie radu na základe týchto bodov ukazuje Obr. 45.

Pri porovnaní Tabuľky 30 a Tabuľky 31 si môžeme všimnúť, že SNHT a Pettittov test našli 3 body, ktoré sú blízko seba. Oba testy teda našli približne rovnaké obdobia, kedy sa zmenil prietok Krupinice.

τ	Mesiac a rok
18	Jún 1932
59	November 1935
138	Jún 1942
405	September 1964
438	Jún 1967

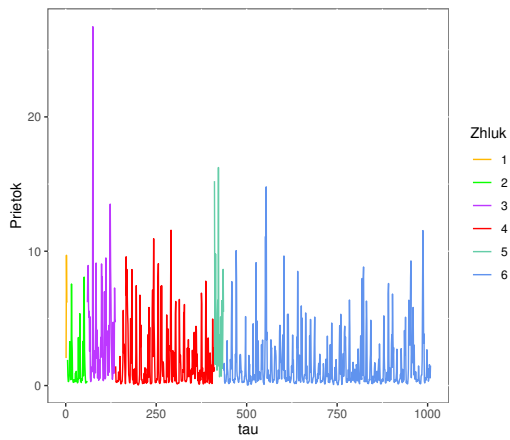
Tabuľka 30: Nájdené body zmeny prietoku Krupinice pri iteračnom aplikovaní Pettittovho testu.



Obr. 44: Rozdelenie radu prietoku Krupinice nájdenými bodmi pomocou iteračného aplikovania Pettittovho testu.

τ	Mesiac a rok
4	Apríl 1931
59	November 1935
137	Máj 1942
410	Február 1965
436	Apríl 1967

Tabuľka 31: Nájdené body zmeny prietoku Krupinice pri iteračnom aplikovaní SNHT.



Obr. 45: Aplikácia iteračného SNHT na prítok Krupinice.

10.4 Trend

Okrem jednorázových zmien sa v našom rade môžu nachádzať aj dlhodobé zmeny - trend. Tabuľka 32 obsahuje výsledky sezónneho Mann-Kendallovho testu a Cox-Stuartovho testu po aplikácii na prietok Krupinice.

<i>Test</i>	<i>p-hodnota</i>
Sezónny Mann-Kendall	$3.0806 \cdot 10^{-5}$
Cox-Stuart	0.01421

Tabuľka 32: Obojstranné testy prítomnosti trendu pre prietok Krupinice.

Kedže je p-hodnota pri oboch testoch výrazne menšia ako 5%, v rade sa zrejme nachádza nejaký monotónny trend.

Na určenie toho, aký trend sa v rade nachádza, použijeme jednostranné Cox-Stuartove testy.

H_0	<i>p-hodnota</i>
Rastúci trend	0.007105
Klesajúci trend	0.9945

Tabuľka 33: Jednostranné Cox-Stuartove testy prítomnosti trendu pre prietok Krupinice.

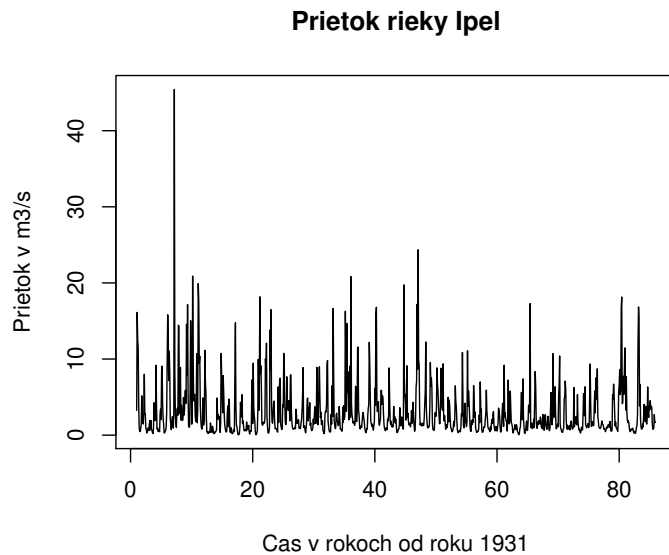
Z Tabuľky 33 vidíme, že hypotéza o rastúcom trende bola zamietnutá a hypotéza

o klesajúcom trende zamietnutá nebola. Z toho môžeme vyvodit, že stredná hodnota prietoku rieky Krupinica s postupom času monotónne klesá.

11 Analýza rieky Ipel'

Prameň rieky Ipel' sa nachádza pod horou Vepor v Slovenskom rudohorí. Tok tejto rieky má približne 232.5 km z čoho takmer 140 km tvorí hranicu s Maďarskom. Povodie Ipľa má rozlohu asi 5151 km^2 . Pri obci Chľaba v okrese Nové Zámky sa vlieva do Dunaja. Viac informácií možno nájsť na [11].

Zmeny tejto rieky budeme analyzovať na základe dát zozbieraných na stanici v obci Holiša (okres Lučenec) v období od januára 1931 do decembra 2015. Priebeh týchto dát je zobrazený na Obr. 46.

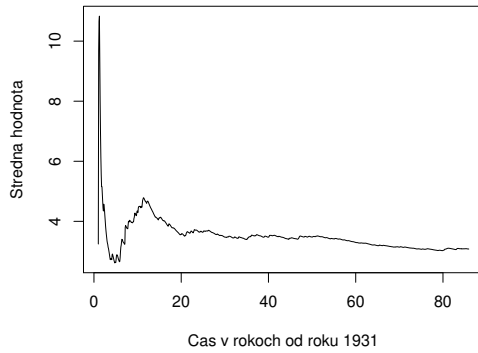


Obr. 46: Prietok Ipľa od januára 1931 do decembra 2015.

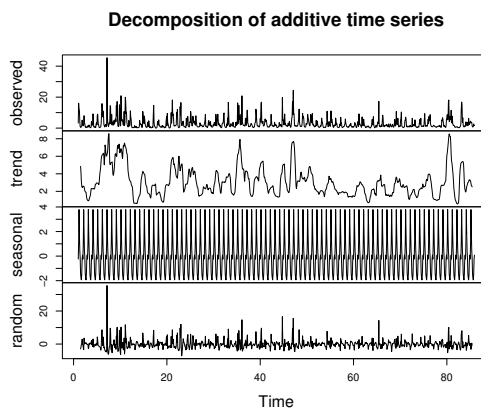
Vývoj strednej hodnoty nášho radu zachytáva Obr. 47 a jeho dekompozíciu Obr. 48.

11.1 Homogenita

Ako ukazujú výsledky testov homogenity zobrazené v Tabuľke 34, oba zamietajú hypotézu, že by sa celý rad riadil rovnakým rozdelením. To znamená, že má zmysel hľadať čas, kedy nastala nejaká zmena.



Obr. 47: Stredná hodnota prietoku Ipla.



Obr. 48: Dekompozícia prietoku Ipľa.

<i>Test</i>	<i>p – hodnota</i>
Rank Von Neumann (Bartels)	$< 2.2 \cdot 10^{-16}$
Wald-Wolfowitz	$< 2.2 \cdot 10^{-16}$

Tabuľka 34: Testy homogeneity prietoku Ipľa.

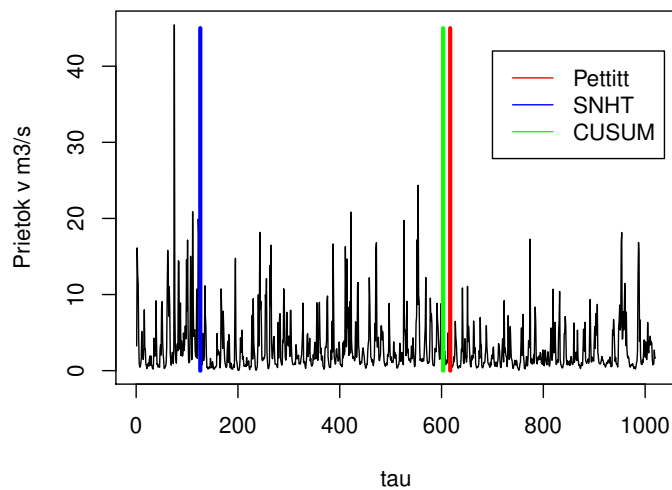
11.2 Bod zmeny

Pozrime sa na Tabuľku 35, aké body zlomu SNHT, Pettittov test a CUSUM metóda našli.

Môžeme vidieť, že jún 1941 nájdený pomocou SNHT a máj 1982 určený Pettittovým testom dané testy považujú za signifikantné. Podľa CUSUM metódy významná zmena strednej hodnoty nastala v marci 1981. Tieto tri body sú zaznačené na Obr. 49.

<i>Test</i>	<i>p-hodnota</i>	τ	<i>Mesiac a rok</i>
SNHT	$< 2.2 \cdot 10^{-16}$	126	Jún 1941
Pettitt	0.0009014	617	Máj 1982
CUSUM	-	603	Marec 1981

Tabuľka 35: Detekcie jedného bodu zmeny prietoku Ipla.



Obr. 49: Body zmeny v prietoku Ipla nájdené pomocou SNHT, Pettitovho testu a CUSUM.

Ich signifikanciu sme overili aj pomocou Mann-Whitney-Wilcoxonovho testu a Kolmogorov-Smirnovovho testu, vid' Tabuľka 36.

<i>Test</i>	Jún 1941	Máj 1982	Marec 1981
Mann-Whitney-Wilcoxon	0.0001229	$5.952 \cdot 10^{-5}$	$9.62 \cdot 10^{-5}$
Kolmogorov-Smirnov	0.0001623	0.0002785	0.0004284

Tabuľka 36: Testy signifikantnosti bodov zmeny v prietoku Ipla.

Môžeme si všimnúť, že v prípade všetkých troch nájdených bodov oba testy homogenitu radu zamietli. To znamená, že významnosť všetkých troch bodov potvrdili.

11.3 Viacnásobné body zmeny

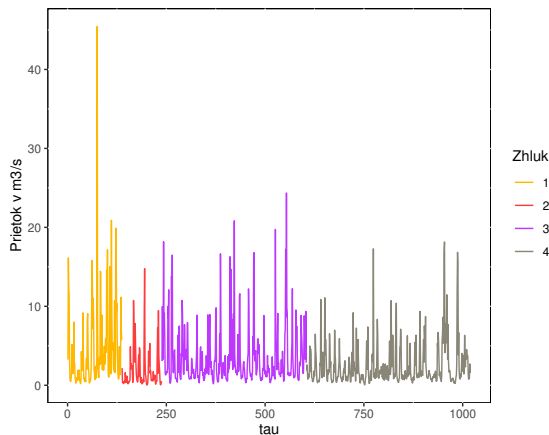
Ďalším krokom analýzy rieky Ipel bude hľadanie viacnásobných bodov zmeny.

Začali sme opäť divíznou metódou. Podľa tejto metódy sa rozdelenie tohto radu zmenilo celkovo trikrát. Časy, kedy tieto zmeny nastali, môžeme vidieť v Tabuľke 37. Obr. 50 zachytáva zmeny rozdelenia na pôvodných dátach.

τ	p -hodnota	Mesiac a rok
137	0.001996008	Máj 1942
238	0.001996008	Október 1950
604	0.001996008	Apríl 1981

Tabuľka 37: Viacnásobné zmeny v prietoku Ipľa nájdené pomocou E-Divisive.

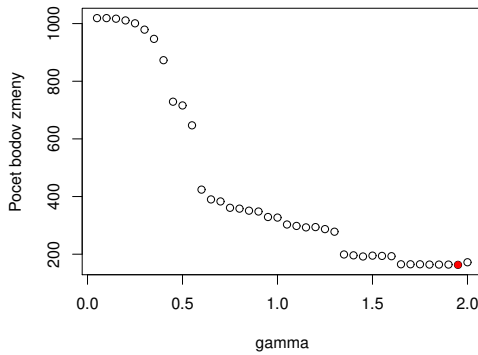
Všimnime si, že jedným z nájdených bodov pomocou E-Divisive je apríl 1981. Podľa neho teda zmena nastala iba o mesiac neskôr ako tá, ktorú našla CUSUM metóda.



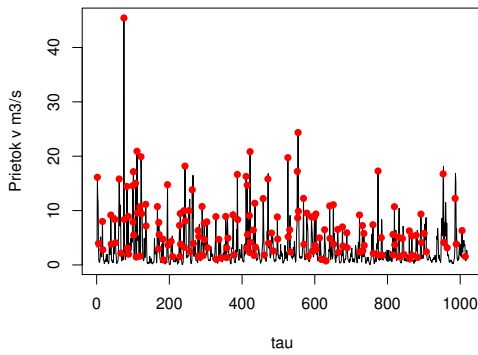
Obr. 50: Rozdelenie radu prietoku Ipľa nájdenými bodmi pomocou E-Divisive metódy.

Pre aplikáciu agglomeratívneho algoritmu sme opäť najskôr hľadali takú hodnotu parametra γ , pri ktorej bude počet nájdených bodov minimálny. Podľa Obr. 51 sme zvolili $\gamma = 1.95$. Pre túto hodnotu algoritmus našiel 163 bodov, v ktorých sa podľa neho zmenilo rozdelenie radu. Tieto body môžeme vidieť na Obr. 52.

Okrem hierarchických metód sme viacnásobné zlomy hľadali aj pomocou iteračného Pettittovho testu a iteračného SNHT.



Obr. 51: Počet nájdených bodov zmeny pomocou aglomeratívneho algoritmu v závislosti od hodnoty γ .



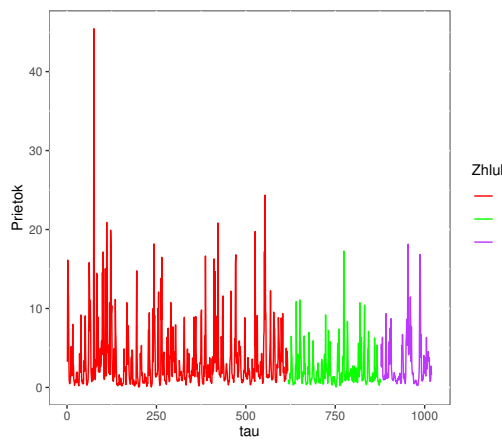
Obr. 52: Rozdelenie radu prietoku Ipla nájdenými bodmi pomocou aglomeratívnej metódy.

Pettittov test našiel okrem mája 1982 nájdeného v predchádzajúcej časti tejto kapitoly ešte jeden bod, viď Tabuľka 38. Graficky tieto body rozdelia náš rad ako na Obr. 53.

τ	Mesiac a rok
617	Máj 1982
877	Január 2004

Tabuľka 38: Nájdené body zmeny prietoku Ipla pri iteračnom aplikovaní Pettittovho testu.

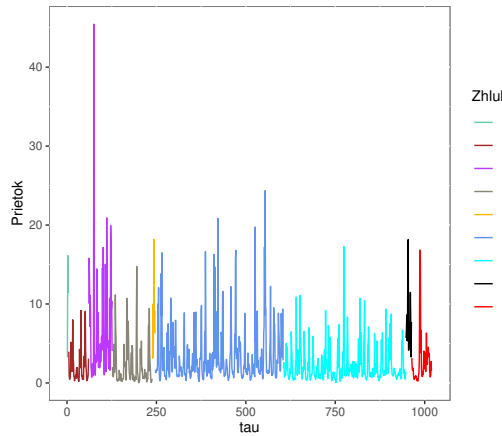
SNHT bol pri hľadaní viacnásobných bodov úspešnejší. K júnu 1941 sme ďalšími iteráciami našli ešte ďalších sedem zmien zapísaných v Tabuľke 39. Tieto body nám rad rozdelia na deväť zhľukov ako ukazuje Obr. 54.



Obr. 53: Rozdelenie radu nájdenými bodmi pomocou iteračného aplikovania Pettitovho testu.

τ	Mesiac a rok
4	Apríl 1931
60	December 1935
126	Jún 1941
238	Október 1950
246	Jún 1951
604	Apríl 1981
947	November 2009
963	Marec 2011

Tabuľka 39: Nájdené body zmeny prietoku Ipľa pri iteračnom aplikovaní SNHT.



Obr. 54: Rozdelenie radu nájdenými bodmi pomocou iteračného aplikovania SNHT.

Všimnime si, že z bodov nájdených pomocou E-Divisive sú dva, ktoré sme našli aj pomocou iteračného SNHT. SNHT označil za prelomový aj apríl 1981, čiže nasledujúci mesiac za bodom, ktorý označila CUSUM metóda.

11.4 Trend

Poslednou časťou analýzy prietoku rieky Ipeľ je zistovanie prítomnosti trendu. Ako aj v predošlých kapitolách, použili sme sezónny Mann-Kendallov test a Cox-Stuartov test. Ich zistenia nájdeme v Tabuľke 40.

<i>Test</i>	<i>p-hodnota</i>
Sezónny Mann-Kendall	0.049216
Cox-Stuart	0.2318

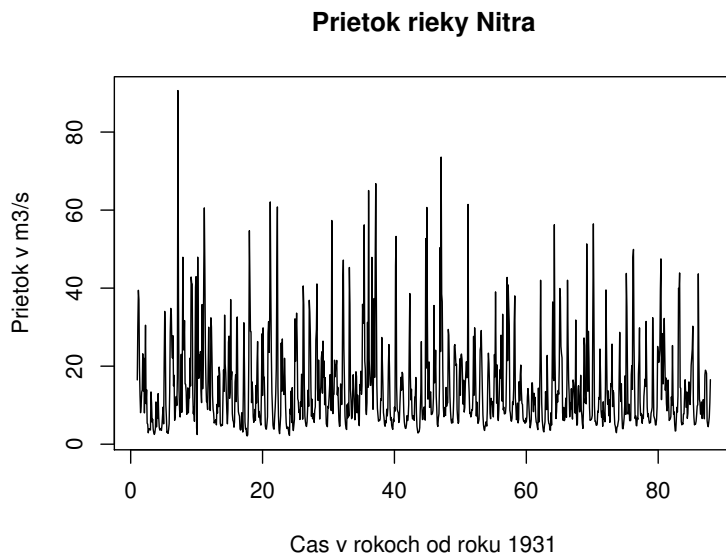
Tabuľka 40: Obojstranné testy prítomnosti trendu pre prietok Ipľa.

Mann-Kendallov test neprítomnosť trendu veľmi tesne zamieta, teda podľa neho trend v rade je. Avšak Cox-Stuartov test neprítomnosť trendu nezamieta.

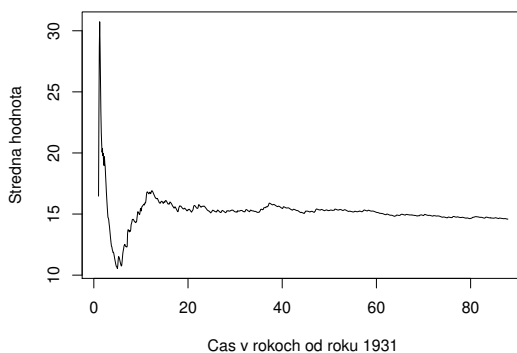
12 Analýza rieky Nitry

Poslednou riekou analyzovanou v tejto práci je rieka Nitra. Jej prameň sa nachádza pod vrchom Reváň v pohorí Malá Fatra. Jej tok je dlhý 191 km a jej povodie zaberá rozlohu 5140 km^2 . Pri obci Komoča (okres Nové Zámky) sa vlieva do Váhu. [13]

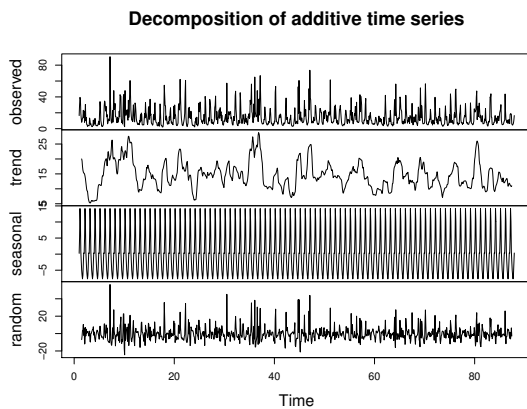
Dáta zozbierané na stanici v obci Nitrianska Streda (okres Topoľčany) za obdobie od januára 1931 do decembra 2017 sú zobrazené na Obr. 55. Strednú hodnotu tohto radu môžeme vidieť na Obr. 56 a dekompozíciu na Obr. 57.



Obr. 55: Prietok Nitry od januára 1931 do decembra 2017.



Obr. 56: Stredná hodnota prietoku Nitry.



Obr. 57: Dekompozícia prietoku Nitry.

12.1 Homogenita

Prvou časťou našej analýzy je ako aj v predošlých kapitolách testovanie homogenity.

Test	p – hodnota
Rank Von Neumann (Bartels)	$< 2.2 \cdot 10^{-16}$
Wald-Wolfowitz	$< 2.2 \cdot 10^{-16}$

Tabuľka 41: Testy homogenity prietoku Nitry.

Podľa Tabuľky 41 vidíme, že homogenita radu je zamietnutá pomocou oboch testov.

Má teda význam hľadať nejakú zmenu v rade.

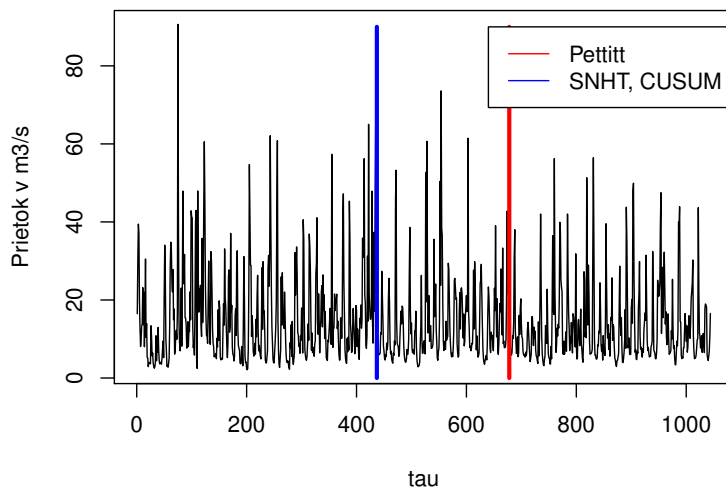
12.2 Bod zmeny

Na nájdenie zmien v strednej hodnote budeme opäť využívať SNHT, Pettittov test a CUSUM metódu.

Test	p-hodnota	τ	Mesiac a rok
SNHT	0.08705	437	Máj 1967
Pettitt	0.1451	678	Jún 1987
CUSUM	-	437	Máj 1967

Tabuľka 42: Detekcie jedného bodu zmeny prietoku Nitry.

Z Tabuľky 42 vidíme, že SNHT a CUSUM našli rovnaký bod - máj 1967. SNHT však tento bod vyznačil tesne ako nevýznamný na 5%-nej hladine významnosti. Podľa Pettitovho testu je potenciálnym bodom zmeny jún 1987. Tento test si však myslí, že nájdený bod je taktiež nesignifikantný. Nájdené časy zmeny môžeme vidieť na Obr. 58.



Obr. 58: Body zmeny v prietoku Nitry nájdené pomocou SNHT, Pettitovho testu a CUSUM.

Zistovali sme, čo si o potenciálnych bodoch myslia testy zameriavajúce sa na signifikanciu bodov zmeny. Ich výsledky môžeme nájsť v Tabuľke 43.

Test	Máj 1967	Jún 1987
Mann-Whitney-Wilcoxon	0.02246	0.01639
Kolmogorov-Smirnov	0.0007312	0.006168

Tabuľka 43: Testy signifikantnosti bodov zmeny v prietoku Nitry.

Napriek tomu, že testy, ktoré dané body našli, ich signifikanciu zamietli, Mann-Whitney-Wilcoxonov test aj Kolmogorov-Smirnovov test si v prípade oboch bodov myslia presný opak. Kedže sú ich p-hodnoty menšie ako 5%, tieto testy považujú zmeny, ktoré sa udiali v máji 1967 a júni 1987, za signifikantné.

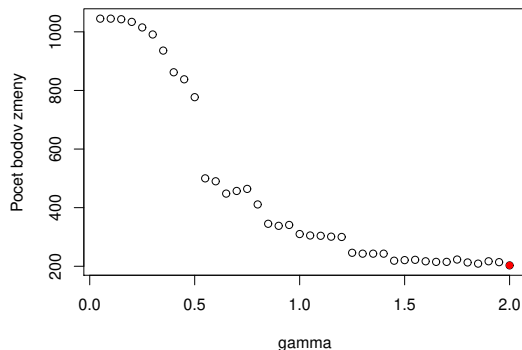
12.3 Viacnásobné body zmeny

Kedže body, ktoré našli SNHT a Pettittov test, sú podľa daných metód nesignifikantné, pri hľadaní viacnásobných bodov považujeme za zbytočné aplikovať tieto testy iteračne. Nakolko si testy určujúce signifikanciu nájdených bodov myslia presný opak, viacnásobné body sa pokúsime nájsť aspoň pomocou hierarchických metód.

Začneme metódou, ktorá sa nám na základe výsledkov v predošlých kapitolách javí ako spoľahlivejšia - divízna metóda E-Divisive.

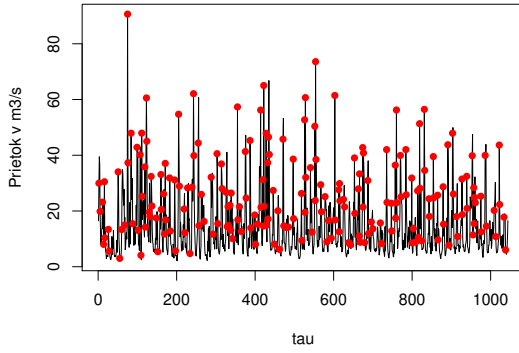
Divízna metóda nenašla ani jeden bod zmeny, ktorý by bol signifikantný. Našla však bod v čase $\tau = 437$. Jeho p-hodnota je 0.06786427, teda je nevýznamný. Môžeme tak konštatovať, že náš rad je z pohľadu divíznej metódy homogénny, inými slovami - celý rad sa riadi rovnakým rozdelením.

Pozrime sa, čo si o viacnásobných bodoch myslí agglomeratívny algoritmus. Opäť najskôr nájdeme hodnotu γ , ktorá bude minimalizovať počet nájdených bodov. Na Obr. 59 vidíme, že takou hodnotou je $\gamma = 2$. V tomto prípade algoritmus našiel 203 bodov. Ich grafické zobrazenie môžeme vidieť na Obr. 60.



Obr. 59: Počet nájdených bodov zmeny pomocou agglomeratívneho algoritmu v závislosti od hodnoty γ .

Ako sme spomínali na začiatku tejto podkapitoly, aplikácia iteračného SNHT a Pettittovho testu je zbytočná, keďže signifikancia nájdených bodov je zamietnutá hned v prvej iterácii.



Obr. 60: Rozdelenie radu prietoku Nitry nájdenými bodmi pomocou aglomeratívnej metódy.

12.4 Trend

Analýzu prietoku rieky Nitra ukončíme hľadaním monotónneho trendu. Závery testov zaoberajúcich sa trendom vidíme v Tabuľke 44.

<i>Test</i>	<i>p-hodnota</i>
Sezónny Mann-Kendall	0.067279
Cox-Stuart	0.9651

Tabuľka 44: Obojstranné testy prítomnosti trendu pre prietok Nitry.

Cox-Stuartov test si myslí, že v rade sa trend nenachádza. Mann-Kendallov test prišiel k rovnakému záveru, avšak iba veľmi tesne. Preto nevidíme dôvod robiť jednostranné Cox-Stuartove testy.

Môžeme z toho vyvodiť, že v rade sa dlhodobé zmeny nenachádzajú.

13 Vzťah medzi analyzovanými riečami mesačných priekov

Po analýze všetkých riek je na mieste otázka, či a ako veľmi sa analyzované rieky navzájom ovplyvňujú.

Na posúdenie vzájomného vplyvu jednej rieky na druhú nám slúži korelácia.

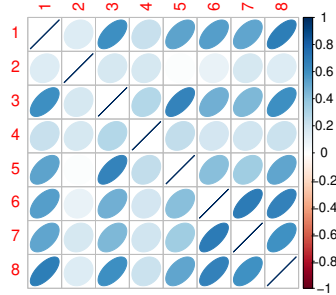
Kedže v našej práci využívame neparametrické metódy, na výpočet korelácie sme použili Kendallov korelačný koeficient (32) definovaný v časti 4.1.

Kedže máme ku každej rieke k dispozícii dátá za rôzne obdobia, pri výpočte korelácie budeme používať dátá za obdobie, ktoré majú spoločné. Avšak rieka Belá je horskou riekou, teda si môžeme všimnúť, že jej priemerný mesačný prietok je najvyšší v máji - júni, pričom pri ostatných riekach je maximálny v marci - apríli. Z týchto dôvodov budeme výpočet korelácie aplikovať na dátach za obdobie od januára 1931 do októbra 2014 pri všetkých riekach až na Belú, pri tejto rieke budeme používať dátá pochádzajúce z obdobia od marca 1931 do decembra 2014. Korelácie medzi jednotlivými riekami sú zobrazené v Tabuľke 46.

Rieka	Morava	Hron	Váh	Belá	Kysuca	Krupinica	Ipeľ	Nitra
Morava	1.00	0.15	0.60	0.22	0.52	0.54	0.51	0.68
Hron	0.15	1.00	0.17	0.17	0.01	0.09	0.17	0.14
Váh	0.60	0.17	1.00	0.28	0.65	0.47	0.44	0.60
Belá	0.22	0.17	0.28	1.00	0.24	0.18	0.19	0.21
Kysuca	0.52	0.01	0.65	0.24	1.00	0.41	0.34	0.51
Krupinica	0.54	0.09	0.47	0.18	0.41	1.00	0.69	0.66
Ipeľ	0.51	0.17	0.44	0.19	0.34	0.69	1.00	0.59
Nitra	0.68	0.14	0.60	0.21	0.51	0.66	0.59	1.00

Tabuľka 45: Korelácie riek pomocou Kendallovho korelačného koeficientu.

Na Obr. 61 vidíme grafické zobrazenie vypočítaných korelácií. Čísla 1 – 8 predstavujú rieky, pričom sú zoradené v poradí, v akom sme ich analyzovali v tejto práci. To znamená, že číslo 1 zastupuje Moravu, číslo 2 patrí Hronu, atď. až číslo 8 predstavuje Nitru.



Obr. 61: Korelácie mesačných radov prietokov riek.

Kladná hodnota korelačného koeficientu znamená priamoúmerný vzťah, záporná hodnota nepriamoúmerný vzťah. Ak je hodnota korelačného koeficientu 0, premenné (rieky) sú nezávislé. Čím vyššia, resp. v prípade zápornej korelácie nižšia hodnota, tým viac sa premenné ovplyvňujú. Logicky, korelácia rieky samej so sebou bude mať hodnotu korelačného koeficientu 1.

V našej analýze by sme očakávali, že korelácia medzi riekami, ktoré do seba ústia, bude relatívne vysoká.

Môžeme si všimnúť, že záporná hodnota korelačného koeficientu sa v Tabuľke 46 ne nachádza. Taktiež sa v nej nenachádza ani jedna dvojica, ktorá by bola nezávislá.

Najvyššiu hodnotu korelačného koeficientu môžeme vidieť pri dvojici Krupinica - Ipel. Tento fakt je logicky zdôvodnitelný tým, že Krupinica sa vlieva do Iplia. To znamená, že so zmenou prietoku Krupinice sa zmení prietok Iplia.

Na počudovanie, druhú najvyššiu koreláciu má dvojica Morava - Nitra. Medzi týmito riekami nie je žiadny vzťah rovnako ako pri porovnaní Nitry s Krupinicou a Moravy s Váhom.

Podme sa pozrieť, ako dopadli korelácie medzi riekami, pri ktorých jedna je prítokom druhej. Rieka Belá je prítokom rieky Váh, avšak hodnota ich korelácie je relatívne nízka. To znamená, že prietok Belej ovplyvňuje prietok Váhu na nízkej úrovni. Môžeme si však všimnúť, že Belá má najvyššiu koreláciu práve s Váhom. Do Váhu sa vlieva aj rieka Kysuca. V tomto prípade tomu zodpovedá aj ich korelačný koeficient - patrí medzi najvyššie. Ďalším prítokom Váhu je rieka Nitra. Vzájomná korelácia týchto dvoch riek taktiež patrí medzi vyššie hodnoty v našej tabuľke. Môžeme teda povedať, že Kysuca aj

Nitra ovplyvňujú prietok Váhu vo vyšej miere ako ho ovplyvňuje Belá.

Skúsme sa teraz pozrieť, či sa rieky, ktoré by sa mali navzájom ovplyvňovať, skutočne ovplyvňujú aj z pohľadu zmien. Pozrime sa, či v období, keď sa zmenilo rozdelenie jednej rieky, sa nejakým spôsobom zmenila aj druhá rieka.

Najskôr sa pozrime na logický vplyv - jedna rieka je prítokom druhej.

Začnime s riekou Belá. Tá je prítokom Váhu. Body zmien týchto dvoch riek sú dia-metrálne odlišné, aj keď prihliadneme na posun spôsobený horským charakterom rieky. Spoločnou črtou je, že hoci sme nejaké body našli, väčšina z nich bola vyhodnotená ako nesignifikantná. Ďalšou spoločnou črtou je, že ani u jednej z nich sme nenašli monotónny trend.

Ďalším prítokom Váhu je rieka Kysuca. Pri porovnaní výsledkov analýzy oboch riek vidíme, že Pettittov test identifikoval rovnaký čas, kedy nastala zmena strednej hodnoty - máj 1983. Avšak pri oboch riekach bol tento bod vyhodnotený za nevýznamný. Žiadnej zo zvyšných metód sa nepodarilo nájsť rovnaký bod. Závery ohľadom trendu sú pre tieto dve rieky taktiež zhodné - podľa nich sa trend v radoch nenachádza. Vidíme, že zrejme Kysuca čiastočne ovplyvňuje Váh, čo potvrdil aj korelačný koeficient.

Do Váhu sa vlieva ešte rieka Nitra. Pri analýze Nitry sme našli iba dva body, a to máj a jún 1967. Môžeme si všimnúť, že jedine CUSUM metóda našla pri analýze Váhu bod, ktorý je blízky bodu zlomu Nitry. Taktiež sa zhoduje záver v prípade trendu.

Krupinica vteká do rieky Ipel. Tieto dve rieky majú medzi sebou najvyššiu koreláciu spomedzi testovaných riek. Očakávame teda, že sa budú najviac ovplyvňovať, resp. budú mať najviac rovnakých alebo blízkych bodov. Naše očakávanie splňajú iba body nájdené pomocou SNHT. Táto metóda našla jeden rovnaký bod - apríl 1931, a dvojicu blízkych bodov - november 1935 (Krupinica) a december 1935 (Ipel). V otázke trendu vplyv prie-toku Krupinice na prietok Ipela nevieme porovnať, pretože závery použitých testov sa v prípade Ipela odlišujú.

Nakoniec porovnajme dvojice, pri ktorých je vysoká hodnota korelácie, ale nemajú žiadnen logický vzťah. Začneme s dvojicou Morava - Nitra. Všimnime si, že napriek tomu, že korelácia medzi týmito riekami je druhou najvyššou vrámci tejto práce, výsledky analýz ich prietokov nemajú spoločný žiadnen bod ani záver.

Medzi dvojice s vyššou hodnotou korelácie patrí Nitra - Krupinica. V prípade týchto

Rieka	SNHT	Pettitt	CUSUM	E-Divisive	Trend
Morava	Apríl 1900, Máj 1927, Február 1937, Marec 1937, Máj 1942, Marec 1948, Apríl 2015	Máj 1921, Apríl 1932, November 1935, December 1938, Jún 1942, Október 1964, Máj 1988, November 1994	Apríl 1948	Máj 1927, Január 1937, Marec 1946, November 1954, Apríl 1988	↘
Hron	August 1981	August 1981	August 1981	Apríl 1985	↘
Váh	Máj 1921, Február 1922	Máj 1983	Jún 1967	Jún 1951	-
Belá	Apríl 1931	September 1955	-	-	-
Kysuca	Jún 1934	Máj 1983	Marec 2002	-	-
Krupinica	Apríl 1931, November 1935, Máj 1942, Február 1965 , Apríl 1967	Jún 1967, Jún 1932, November 1935, Jún 1942, September 1964	Apríl 1967	Marec 1946, Apríl 1967,	↘
Ipeľ	Apríl 1931, December 1935, Jún 1941, Október 1950, Jún 1951, Apríl 1981, November 2009 Marec 2011	Máj 1983, Január 2004	Marec 1981	Máj 1942, Október 1950, Apríl 1981	-
Nitra	Máj 1967	Jún 1967	Máj 1967	-	-

Tabuľka 46: Korelácie riek pomocou Kendallovho korelačného koeficientu.

dvoch riek vidíme akúsi príbuznosť iba v bodoch nájdených pomocou CUSUM metódy. Iná zhoda alebo podobnosť v záveroch týchto riek nie je.

Poslednou dvojicou, ktorú budeme porovnávať je Morava a Váh. Ako aj v prípade predošej dvojice, tak aj pri tejto sme našli iba jeden bod, ktorý je rovnaký pri oboch riebach. Tým bodom je Máj 1921. Inú spoločnú charakteristiku tieto dve rieky vzhľadom na našu analýzu nemajú.

Záver

V tejto práci sme sa zaoberali analýzou časových radov priemerných mesačných prietokov vybraných riek na Slovensku. Rieky boli vybrané na základe dĺžky pozorovaní vodných stavov. Na túto analýzu sme využívali neparametrické štatistické metódy.

Skôr ako sme sa dostali k samotnej analýze, uviedli sme využité metódy. Boli to najmä metódy zaoberajúce sa zmenou strednej hodnoty v radoch, či už sa jednalo o jednu zmenu, alebo o dlhodobú monotónnu zmenu, teda trend.

V praktickej časti sme analyzovali prietoky riek Morava, Hron, Váh, Belá, Kysuca, Krupinica, Ipel a Nitra. Na túto analýzu sme využili funkcie implementované v nadstavbe štatistického programu R - RStudio vo verzii 1.1.463.

Začali sme analýzou rieky Morava. Pomocou SNHT sme získali sedem bodov, kedy sa zmenilo rozdelenie - apríl 1900, máj 1927, február 1937, marec 1937, máj 1942, marec 1948, apríl 2015. Pettittov test našiel o jeden bod viac ako SNHT - máj 1921, apríl 1932, november 1935, december 1938, jún 1942, október 1964, máj 1988, november 1994. CU-SUM metódu sme neaplikovali iteračne, našla iba jeden zlom, a to v apríli 1948. Divízna metóda, určená na hľadanie viacnásobných bodov zmeny rozdelenia, našla celkovo päť bodov - máj 1927, január 1937, marec 1946, november 1954, apríl 1988. Pri určení niektorých bodov sa použité metódy v niektorých prípadoch priblížili k rovnakému záveru, prípadne sa zhodli. Príkladmi takýchto záverov sú body v máji 1927 alebo marec-apríl 1948. Z pohľadu dlhodobých zmien, inak povedané trendu, metódy na jeho detekciu usudzujú, že sa v tomto rade nachádza klesajúci trend. Analýzu rieky Morava tak môžeme uzavrieť konštatovaním, že mesačný prietok tejto rieky podlieha relatívne často zmenám, no v posledných rokoch nie tak výrazne, ako tomu bolo v minulosti. Z dlhodobého hľadiska však jej prietok klesá.

Ďalšou analyzovanou riekou bol Hron. V prípade tejto rieky sa použité metódy zhodli na rovnakom závere - rozdelenie, ktorým sa riadi prietok Hrona sa zmenilo iba jedenkrát, a to v auguste 1981. Jediný rozdielny bod našla iba E-Divisive, ktorá s nimi súhlasí v počte bodov, no podľa nej táto zmena nastala v apríli 1985. Napriek nízkemu počtu jednorázových zmien, sme však zistili, že aj v tomto rade sa nachádza klesajúci trend. Z pohľadu jednorázových zmien môžeme povedať, že až na jeden moment je prietok tejto rieky stabilný, avšak z dlhodobého pohľadu má klesajúcu tendenciu.

Pri analýze Váhu sme pomocou SNHT našli dva body - máj 1921 a február 1922. Máj 1921 sme však našli až pri iteračnej aplikácii, pričom sme február 1922 pokladali za signifikantný, aj napriek tomu, že SNHT ho pokladá za nesignifikantný. Nevýznamnú zmenu našiel aj Pettittov test v máji 1983. V prípade júna 1967, nájdeného pomocou CUSUM, sa testy signifikancie v záveroch odlišujú. Divízna metóda našla taktiež iba jeden bod - jún 1951. Naroziel od Moravy alebo Hrona, prietok Váhu neklesá. Môžeme teda tvrdiť, že rieka Váh je relatívne stabilná.

Prietok rieky Belá sa podľa SNHT zmenil v apríli 1931 a podľa Pettittovho testu v septembri 1955. Oba testy tieto zmeny pokladajú za nevýznamné. Zvyšné metódy nenašli žiadnen zlom a testy na detekciu trendu jeho prítomnosť taktiež zamietli. Z nášho pohľadu je rieka Belá, aj napriek svojmi horskému charakteru, stabilná.

Rovnaký záver priniesla aj analýza rieky Kysuca. Pomocou SNHT sme sice označili za zlomový jún 1934, Pettittovým testom to bol máj 1983 a CUSUM našla marec 2002, no všetky tieto body boli vyhodnotené ako nesignifikantné.

Ďalšou riekou, ktorej prietok sme analyzovali, je rieka Krupinica. SNHT našiel celkovo päť jednorázových bodov zmeny - apríl 1931, november 1935, máj 1942, február 1965 a apríl 1967. Pettittovým testom sme našli taktiež päť bodov - jún 1967, jún 1932, november 1935, jún 1942 a september 1964. CUSUM metódou sme získali rovnaký bod ako pomocou SNHT - apríl 1967. Tento bod sme našli aj pomocou divíznej metódy. Tá k nemu označila za prelomový aj marec 1946. Podľa testov zameriavajúcich sa na detekciu prítomnosti trendu sa okrem jednorázových zmien v rade nachádza aj klesajúci trend. Analýzu tejto rieky môžeme uzavrieť konštatovaním, že jej rozdelenie sa relatívne častokrát zmenilo a okrem toho jej prietok klesá.

Pri analyzovaní prietoku rieky Ipeľ sme pomocou SNHT našli až osem bodov, kedy sa jej prietok zmenil. Tými bodmi sú apríl 1931, december 1935, jún 1941, október 1950, jún 1951, apríl 1981, november 2009 a marec 2011. Pettittov test našiel iba dva body - máj 1983 a január 2004. Jeden bod našla CUSUM metóda - marec 1981. Týmto bodom sa priblížila k bodu nájdenému pomocou CUSUM. Divízna metóda označila za zlomové tri body, pričom novým z nich je iba máj 1942. Okrem neho našla ešte október 1950 a apríl 1981, ktoré boli nájdené aj pomocou SNHT. Podľa Mann-Kendallovoho testu prietok tejto rieky klesá, avšak Cox-Stuartov test nevylúčil možnosť neprítomnosti trendu.

Poslednou analyzovanou riekou je rieka Nitra. SNHT spolu s CUSUM našli rovnaký bod, a to máj 1967. Pettittov test označil za prelomový nasledujúci mesiac, teda jún 1967. Napriek tomu, že metódy, ktoré dané body našli, ich významnosť zamietli, testy zameriavajúce sa na určenie signifikancie si myslia presný opak. Divízna metóda v prietoku tejto rieky nenašla žiadnu zmenu rozdelenia. Taktiež v jej prietoku neboli detektované žiadny trend. Môžeme teda povedať, že rieka Nitra je až na obdobie máj-jún 1967 stabilná.

Pri hľadaní viacnásobných zlomov sme v prípade všetkých analyzovaných riek využívali aj aglomeratívnu metódu. Táto metóda však pri všetkých analýzach našla až privelké množstvo bodov. Z tohto dôvodu sme jej výsledky do záveru nezahrnuli.

Praktickú časť tejto práce sme uzavreli analýzou vzájomných vzťahov prietokov spomínaných riek a porovnaním výsledkov ich analýz. Dospeli sme k záveru, že zmena prietoku rieky, ktorá sa vlieva do inej rieky, môže prietok tejto rieky čiastočne ovplyvniť. Vplyv zmeny však nemusí byť veľmi výrazný. Taktiež sme zistili, že aj napriek vyššej hodnote korelácie, sa zmeny v prietokoch daných riek nemusia navzájom ovplyvňovať.

Z hydrologického hľadiska sú nájdené zmeny veľmi užitočné. Znamenajú môžu zmeny spôsobené výmenou prístrojovej techniky v priebehu rokov, ale aj skutočné zmeny režimu odtoku v dôsledku zalesnenia/odlesnenia (napr. v prípade rieky Belá). Rovnako sa môže jednať o zmenu mesačného režimu v dôsledku výstavby vodných nádrží (napr. v povodí Moravy alebo Váhu v Šali). Tieto výsledky budú slúžiť hydrológom na ďalšiu podrobnejšiu hydrologickú analýzu.

Zoznam použitej literatúry

- [1] Aalders, P. Warmerdam, P.M.M. Torfs, P.J.J.F.: Rainfall Generator for the Meuse Basin (2004), dostupné na internete (14.01.2020): <https://edepot.wur.nl/212001>
- [2] Ahmed, K., Shahid, S., Ismail, T., Nawaz, N., Wang, X.: Absolute homogeneity assessment of precipitation time series in an arid region of Pakistan, Atmosfera 31 (2018), 301-316, dostupné na internete (14.01.2020): <https://pdfs.semanticscholar.org/4443/e6007b9fd144f067929803942351a8ebc290.pdf>
- [3] Ballová, D.: Modelling of Nonlinear Time Series With Applications In Hydrometeorology, Written part of dissertation examination, Faculty of Civil Engineering STU, Bratislava, 2019
- [4] Bartels, R.: The Rank Version of von Neumann's Ratio Test for Randomness, Journal of the American Statistical Association 77 (1982), 40-46, dostupné na internete (14.01.2020): <https://www.semanticscholar.org/paper/The-Rank-Version-of-von-Neumann's-Ratio-Test-for-Bartels/5f2170e8261aeeab45a82eab2d515106bc391511>
- [5] Conover, W. J.: Practical Nonparametric Statistics, New York: John Wiley and Sons, 1971, p. 309-314.
- [6] Drápela, K., Drápelová, I. : Application of Mann-Kendall test and the Sen's slope estimates for trend detection in deposition data from Bílý Kříž (working paper), Mendelova univerzita v Brně, 2011, dostupné na internete (14.01.2019): <https://pdfs.semanticscholar.org/df9d/08a2ec398f722048abb88e148e6468607b2f.pdf>
- [7] Helsel, D.R., Hirsch, R.M.: Statistical Methods in Water Resources, Elsevier Sci Pub. Co., 1992, 213-214, 238-240, dostupné na internete (14.01.2020): <https://www.semanticscholar.org/paper/Statistical-methods-in-water-resources-Helsel-Hirsch/a89c397230aa22dbe7be49f87f66e968266bd0b1>
- [8] Hollander, M., Wolfe, D.A., Chicken, E.: Nonparametric Statistical Methods, John Wiley and Sons, Hoboken, New Jersey, 2014
- [9] Infoglobe, dostupné na internete (12.04.2020):
<https://www.infoglobe.sk/rieky/europa/slovenska-republika/bela-liptovska/>

[10] Infoglobe, dostupné na internete (14.01.2020):

<https://www.infoglobe.sk/riky/europa/slovenska-republika/hron/>

[11] Infoglobe, dostupné na internete (18.04.2020):

<https://www.infoglobe.sk/riky/europa/slovenska-republika/ipel/>

[12] Infoglobe, dostupné na internete (14.04.2020):

<https://www.infoglobe.sk/riky/europa/slovenska-republika/kysuca/>

[13] Infoglobe, dostupné na internete (20.04.2020):

<https://www.infoglobe.sk/riky/slovenska-republika/europa/nitra/>

[14] James, N.: Multiple Change Point Analysis od Multivariate Data Via Energy Statistics, Dissertation Thesis, Faculty of the Graduate School of Cornell University, New York, 2015, dostupné na internete (05.05.2020):
<https://davidmattesonstatistics.files.wordpress.com/2016/03/nicholas-james-thesis.pdf>

[15] Kahya, E., Bickici Arikanc, B., Akdeniz, E.: Homogeneity Analysis of Precipitation Series in Turkey (Conference Paper), Turkey, 2016

[16] Leander, R., Buishand, T.A.: Rainfall Generator for the Meuse Basin : Inventory and homogeneity analysis of long daily precipitation records, De Bilt, Wilhelminalaan 10, The Netherlands, 2004, dostupné na internete (14.01.2020):
<https://www.knmi.nl/kennis-en-datacentrum/publicatie/rainfall-generator-for-the-meuse-basin-inventory-and-homogeneity-analysis-of-long-daily-precipitation-records>

[17] Lehtinen, E., Pulkkinen, U., Pörn K.: Statistical Trend Analysis Methods for Temporal Phenomena, Skivlingvagen 24, SE-611 63 Nykoping, Sweden, 1997

[18] Nachar, N.: The Mann-Whitney U: A Test for Assessing Whether Two Independent Samples Come from the Same Distribution, Tutorials in Quantitative Methods for Psychology vol. 4 (2008), 13-20, dostupné na internete (14.01.2020):
<http://tqmp.org/RegularArticles/vol04-1/p013/p013.pdf>

- [19] Pettitt, A. N.: A non-parametric approach to the change-point problem, *Appl. Statist.* 28 (1979), 126–135
- [20] Pohlert, T.: *trend: Non-Parametric Trend Tests and Change-Point Detection*, R package version 0.0.1 (Technical Report), 2018, dostupné na internete (14.01.2020): <https://cran.r-project.org/web/packages/trend/vignettes/trend.pdf>
- [21] Sládek, M.: Návrh plánu povodňové ochrany obce Kopčany (diplomová práca), Univerzita Tomáše Bati ve Zlíně, Fakulta aplikované informatiky, Zlín, 2018, dostupné na internete (14.01.2020): <http://digilib.k.utb.cz/handle/10563/43364>
- [22] Slovenský Trip, dostupné na internete (16.04.2020): <http://www.slovakatrip.sk/destinacie/Rieka-Krupinica?oid=132>
- [23] SPOZNAJ.EU, dostupné na internete (14.01.2020): <http://www.spoznaj.eu/riekavah>
- [24] Wald, A., Wolfowitz, J. : On a test whether two samples are from the same population, *The Annals of Mathematical Statistics*, 11(1940), 147-162, dostupné na internete (14.01.2020): <https://projecteuclid.org/euclid.aoms/1177731909>

Príloha A

Listing 1: Morava

```
1 ##### Instalacia balickov a kniznic #####
2 install.packages("openxlsx")
3 install.packages("moments")
4 install.packages("trend")
5 install.packages("Kendall")
6 install.packages("randtests")
7 install.packages("changepoint")
8 install.packages("ecp")
9 install.packages("zoo")
10 install.packages("ggplot2")
11 install.packages("paletteer")
12 library("openxlsx")
13 library("moments")
14 library("trend")
15 library("Kendall")
16 library("randtests")
17 library("changepoint")
18 library("ecp")
19 library("zoo")
20 library("ggplot2")
21 library("paletteer")
22 #####
23 morava_pov <- read.xlsx("Data.xlsx", 1, colNames=TRUE)
24 morava <- ts(morava_pov[,3], frequency = 12)
25 plot.ts(morava, xlab='Cas v rokoch od roku 1900', ylab='Prietok v m3/s') #
    Vykreslenie dat
26 title(main = 'Prietok rieky Morava')
27 # Vypocet vyvoja strednej hodnoty
28 str_hod_morava <- rep(0, length(morava))
29 for (i in 1:length(morava)) {
30   str_hod_morava[i] <- mean(morava[1:i])
31 }
32 # Vykreslenie strednej hodnoty
33 plot(ts(str_hod_morava, frequency = 12), xlab="Cas v rokoch od roku 1900",
```

```

      ylab="Stredna hodnota")

34
35 # Dekompozicia
36 morava_dec <- decompose(ts(morava_pov[,3], frequency = 12), type = "additive")
37 plot(morava_dec)
38
39 ## Homogenita ##
40 brt_morava <- bartels.rank.test(morava)
41 ww_morava <- ww.test(morava)
42 print(brt_morava) # p-value < 2.2e-16
43 print(ww_morava) # p-value < 2.2e-16
44
45 ## Single Change Point ##
46 pettitt_morava <- pettitt.test(morava)
47 print(pettitt_morava) # K=257, p-value = 0.01247
48
49 snht_morava <- snh.test(morava)
50 print(snht_morava) # K=4, p-value = 1e-04
51
52 cusum_morava <- cpt.mean(morava, penalty = "Manual", pen.value = 0.05,
   method = "AMOC", test.stat = "CUSUM", class = TRUE, param.estimates =
   TRUE)
53 morava_cusum <- cpts(cusum_morava) # 581, vystupom je najblizsi bod po
   zmene => zmena je v 580
54
55 plot.ts(morava_pov[,3], xlab= 'tau', ylab='Prietok v m3/s')
56 lines(x=rep(pettitt_morava$estimate, length(0:max(morava_pov[,3]))), y=0:
   max(morava_pov[,3]), col='red', lwd=3)
57 lines(x=rep(snht_morava$estimate, length(0:max(morava_pov[,3]))), y=0:max(
   morava_pov[,3]), col='blue', lwd=3)
58 lines(x=rep(morava_cusum-1, length(0:max(morava_pov[,3]))), y=0:max(morava_
   pov[,3]), col='green', lwd=3)
59 legend(900, 738, legend=c("Pettitt", "SNHT", "CUSUM"), col = c("red", "blue"
   , "green"), lty = 1)
60
61 ## Testovanie najdenych bodov zmeny ##
62 morava_pred_pettitt <- morava[1:pettitt_morava$estimate] # data do bodu

```

```

zmeny

63 morava_po_pettitt <- morava[(pettitt_morava$estimate+1):length(morava)] #  

    data po zmene

64

65 morava_pred_snht <- morava[1:snht_morava$estimate] # data do bodu zmeny
66 morava_po_snht <- morava[(snht_morava$estimate+1):length(morava)] # data po  

    zmene

67

68 morava_pred_cusum <- morava[1:morava_cusum-1] # data do bodu zmeny
69 morava_po_cusum <- morava[morava_cusum :length(morava)] # data po zmene

70

71 mww_morava_pettitt <- wilcox.test(morava_pred_pettitt, morava_po_pettitt,  

    alternative = "two.sided")
72 mww_morava_snht <- wilcox.test(morava_pred_snht, morava_po_snht,  

    alternative = "two.sided")
73 mww_morava_cusum <- wilcox.test(morava_pred_cusum, morava_po_cusum,  

    alternative = "two.sided")
74 print(mww_morava_pettitt) # p-value = 3.566e-05
75 print(mww_morava_snht) # p-value = 0.002838
76 print(mww_morava_cusum) # p-value = 0.009959

77

78 ks_morava_pettitt <- ks.test(morava_pred_pettitt, morava_po_pettitt)
79 ks_morava_snht <- ks.test(morava_pred_snht, morava_po_snht)
80 ks_morava_cusum <- ks.test(morava_pred_cusum, morava_po_cusum)
81 print(ks_morava_pettitt) # p-value = 0.0001136
82 print(ks_morava_snht) # p-value = 0.01064
83 print(ks_morava_cusum) # p-value = 0.003857

84

85 ## Trend ##
86 smk_morava <- SeasonalMannKendall(morava)
87 print(smk_morava) # pvalue = 0.00057362

88

89 cs_morava <- cox.stuart.test(morava) # p-value = 0.03211
90 print(cs_morava)

91

92 cs_left_morava <- cox.stuart.test(morava, alternative = "left.sided")
93 cs_right_morava <- cox.stuart.test(morava, alternative = "right.sided")
94 print(cs_left_morava) # p-value = 0.01605, alternative hypothesis:

```

```

decreasing trend
95 print(cs_right_morava) # p-value = 0.9867, alternative hypothesis:
increasing trend

```

Listing 2: Morava - viacnásobné

```

1 morava_pov <- read.xlsx("Data.xlsx", 1, colNames=TRUE)
2 morava <- ts(morava_pov[,3], frequency = 12)
3
4 ## Hierarchicke metody ##
5
6 # Aglomerativna
7 # hladanie gammy minimalizujucej pocet bodov
8 krok <- 0.05
9 m_pocet <- rep(0, (2-0)/krok)
10 m_k <- rep(0, (2-0)/krok)
11 k <- 0
12 for (i in 1:(length(m_pocet)-1)){
13   k <- k + krok
14   m_k[i] <- k
15   m_pom <- e.agglo(X = as.matrix(morava), member = 1:length(morava), alpha
16   = k, penalty = function(cps, Xts) 0)
16   m_pocet[i] <- length(m_pom$estimates)
17
18 }
19 m_pocet[length(m_pocet)] <- length((e.agglo(X = as.matrix(morava), member =
20 1:length(morava), alpha = 2, penalty = function(cps, Xts) 0))$estimates)
20 m_k[length(m_k)] <- 2
21 plot(m_k,m_pocet, xlab="gamma", ylab="Pocet bodov zmeny", xlim = c(0.05,2))
22 points(m_k[which.min(m_pocet)],m_pocet[which.min(m_pocet)], pch = 16, col="red")
23 which.min(m_pocet)
24 # e.agglo pre oprimalnu hodnotu gammy
25 morava_agglo <- e.agglo(X = as.matrix(morava), member = 1:length(morava),
26 alpha = m_k[which.min(m_pocet)], penalty = function(cps, Xts) 0)
26 # Vykreslenie najdenych bodov
27 morava_agglo_est <- morava_agglo$estimates
28 morava_agglo_val <- rep(0, length(morava_agglo_est))
29 for (i in 1:length(morava_agglo_est)) {

```

```

30   morava_aggro_val[i] <- morava_pov[morava_aggro_est[i],3]
31 }
32 plot(morava_pov[,3], type='l', xlab="tau", ylab="Prietok v m3/s")
33 points(morava_aggro_est, morava_aggro_val, pch = 16, col="red")
34
35 # Divizna metoda
36 morava_div <- e.divisive(X = as.matrix(morava), sig.lvl = .05, R = 500, k =
NULL, min.size = 100)
37 # Vykreslenie najdenych bodov
38 morava_div_est <- morava_div$estimates # 330 446 556 660 1061 =>
nasledujuce body po zmene
39 morava_div_val <- rep(0, length(morava_div_est))
40 for (i in 1:length(morava_div_est)) {
41   morava_div_val[i] <- morava_pov[morava_div_est[i],3]
42 }
43 M <- cbind(1:length(morava), morava_pov[,3], morava_div$cluster)
44 length(morava_div$cluster)
45 ggplot(data=NULL, aes(x=M[,1], y=M[,2], color=as.factor(M[,3]))) + geom_
line() + scale_color_manual(values=c("darkgoldenrod1", "brown1",
"darkorchid1", "cornsilk4", "aquamarine3", "cornflowerblue")) + labs(x =
"tau", y = "Prietok v m3/s", color = "Zhluk") + theme(panel.background =
element_rect(fill = "white", colour = "black"), legend.key = element_
rect(colour = "transparent", fill = "white"))
46
47 ## Iteracne metody ##
48
49 # Pettitt #
50 morava.pettitt0 <- pettitt.test(morava)
51 morava_pov[morava.pettitt0$estimate,4]
52 morava.pettitt0.pred <- morava_pov[1:morava.pettitt0$estimate, 3:4]
53 morava.pettitt0.po <- morava_pov[(morava.pettitt0$estimate+1):length(morava),
3:4]
54
55 ww.test(morava.pettitt0.pred[,1]) #p-value = 3.042e-16
56 ww.test(morava.pettitt0.po[,1]) #p-value < 2.2e-16
57 morava.pettitt1a <- pettitt.test(morava.pettitt0.pred[,1]) # K=120, p-value
= 0.1145
58 morava.pettitt0.pred[morava.pettitt1a$estimate,2]

```

```

59 morava.pettitt1b <- pettitt.test(morava.pettitt0.po[,1]) # K=174, p-value =
  0.03057
60 morava.pettitt0.po[morava.pettitt1b$estimate,2] #431
61 morava.pettitt1b.pred <- morava.pettitt0.po[1:morava.pettitt1b$estimate,
  1:2]
62 morava.pettitt1b.po <- morava.pettitt0.po[(morava.pettitt1b$estimate+1):
  length(morava.pettitt0.po[,1]), 1:2]
63
64 ww.test(morava.pettitt1b.pred[,1]) #p-value = 2.205e-11
65 ww.test(morava.pettitt1b.po[,1]) #p-value < 2.2e-16
66 morava.pettitt2a <- pettitt.test(morava.pettitt1b.pred[,1]) # K=131, p-
  value = 0.004209
67 morava.pettitt1b.pred[morava.pettitt2a$estimate,2] #388
68 morava.pettitt2a.pred <- morava.pettitt1b.pred[1:morava.pettitt2a$estimate
  ,1:2]
69 morava.pettitt2a.po <- morava.pettitt1b.pred[(morava.pettitt2a$estimate+1):
  length(morava.pettitt1b.pred[,1]), 1:2]
70 morava.pettitt2b <- pettitt.test(morava.pettitt1b.po[,1]) # K=630, p-value
  = 0.001252
71 morava.pettitt1b.po[morava.pettitt2b$estimate,2] #1061
72 morava.pettitt2b.pred <- morava.pettitt1b.po[1:morava.pettitt2b$estimate
  ,1:2]
73 morava.pettitt2b.po <- morava.pettitt1b.po[(morava.pettitt2b$estimate+1):
  length(morava.pettitt1b.po[,1]), 1:2]
74
75 ww.test(morava.pettitt2a.pred[,1]) # p-value = 1.251e-07
76 ww.test(morava.pettitt2a.po[,1]) # p-value = 6.013e-06
77 ww.test(morava.pettitt2b.pred[,1]) # p-value < 2.2e-16
78 ww.test(morava.pettitt2b.po[,1]) # p-value < 2.2e-16
79 morava.pettitt3aa <- pettitt.test(morava.pettitt2a.pred[,1]) # K=16, p-
  value = 0.08597
80 morava.pettitt3ab <- pettitt.test(morava.pettitt2a.po[,1]) # K = 28, p-
  value = 0.1738
81 morava.pettitt3ba <- pettitt.test(morava.pettitt2b.pred[,1]) # K = 79, p-
  value = 0.004994
82 morava.pettitt2b.pred[morava.pettitt3ba$estimate,2] #510
83 morava.pettitt3ba.pred <- morava.pettitt2b.pred[1:morava.pettitt3ba$-
  estimate,1:2]

```

```

84 morava.pettitt3ba.po <- morava.pettitt2b.pred[(morava.pettitt3ba$estimate
+1):length(morava.pettitt2b.pred[,1]),1:2]
85 morava.pettitt3bb <- pettitt.test(morava.pettitt2b.po[,1]) # K = 78, p-
  value = 0.1738
86 morava.pettitt2b.po[morava.pettitt3bb$estimate,2] #1139
87 morava.pettitt3bb.pred <- morava.pettitt2b.po[1:morava.pettitt3bb$estimate
,1:2]
88 morava.pettitt3bb.po <- morava.pettitt2b.po[(morava.pettitt3bb$estimate+1):
  length(morava.pettitt2b.po),1:2]
89
90 ww.test(morava.pettitt3ba.pred[,1]) # p-value = 2.214e-05
91 ww.test(morava.pettitt3ba.po[,1]) # p-value < 2.2e-16
92 ww.test(morava.pettitt3bb.pred[,1]) # p-value = 9.078e-09
93 ww.test(morava.pettitt3bb.po[,1]) # p-value = 1.045e-08
94 morava.pettitt4aa <- pettitt.test(morava.pettitt3ba.pred[,1]) # K=37, p-
  value = 0.004841
95 morava.pettitt3ba.pred[morava.pettitt4aa$estimate,2] # 468
96 morava.pettitt4a.pred <- morava.pettitt3ba.pred[1:morava.pettitt4aa$-
  estimate,1:2]
97 morava.pettitt4a.po <- morava.pettitt3ba.pred[(morava.pettitt4aa$estimate
+1):length(morava.pettitt3ba.pred[,1]),1:2]
98 morava.pettitt4ab <- pettitt.test(morava.pettitt3ba.po[,1]) # K=268, p-
  value = 0.0003007
99 morava.pettitt3ba.po[morava.pettitt4ab$estimate,2] # 469
100 morava.pettitt4b.pred <- morava.pettitt3ba.po[1:morava.pettitt4ab$estimate
,1:2]
101 morava.pettitt4b.po <- morava.pettitt3ba.po[(morava.pettitt4ab$estimate+1):
  length(morava.pettitt3ba.po[,1]),1:2]
102 morava.pettitt4ba <- pettitt.test(morava.pettitt3bb.pred[,1]) # K=48, p-
  value = 0.2607
103 morava.pettitt4bb <- pettitt.test(morava.pettitt3bb.po[,1]) # K=31, p-value
  = 0.3588
104
105 ww.test(morava.pettitt4a.pred[,1]) # p-value = 0.07275
106 ww.test(morava.pettitt4a.po[,1]) # p-value = 0.0001393
107 ww.test(morava.pettitt4b.pred[,1]) # p-value < 2.2e-16
108 ww.test(morava.pettitt4b.po[,1]) # p-value < 2.2e-16
109

```

```

110 morava.pettitt5ab <- pettitt.test(morava.pettitt4a.po[,1]) # K = 25, p-
  value = 1.099
111 morava.pettitt5ba <- pettitt.test(morava.pettitt4b.pred[,1]) # K = 149, p-
  value = 0.08948
112 morava.pettitt5bb <- pettitt.test(morava.pettitt4b.po[,1]) # K = 42, p-
  value = 0.09175
113
114 MV <- cbind(morava_pov[,4], morava_pov[,3], rep(0,length(morava_pov[,3])))
115 MV[1:257,3] <- rep(1,257)
116 MV[258:388,3] <- rep(2,131)
117 MV[389:431,3] <- rep(3,43)
118 MV[432:468,3] <- rep(4,37)
119 MV[469:510,3] <- rep(5,42)
120 MV[511:778,3] <- rep(6,268)
121 MV[779:1061,3] <- rep(7,283)
122 MV[1062:1139,3] <- rep(8,78)
123 MV[1140:1416,3] <- rep(9,277)
124
125 ggplot(data=NULL, aes(x=MV[,1], y=MV[,2], color=as.factor(MV[,3]))) + geom_
  line() + scale_color_manual(values=c("darkgoldenrod1", "brown", "
  darkorchid1", "cornsilk4", "aquamarine3", "cornflowerblue", "cyan", "black"
  ", "red")) + labs(x = "tau", y = "Prietok", color = "Zhluk") + theme(
  panel.background = element_rect(fill = "white", colour = "grey50"),
  legend.key = element_rect(colour = "transparent", fill = "white"))
126
127 # SNHT #
128 morava.snht0 <- snh.test(morava)
129 morava_pov[morava.snht0$estimate,4] # 4
130 morava.snht0.pred <- morava_pov[1:morava.snht0$estimate, 3:4]
131 morava.snht0.po <- morava_pov[(morava.snht0$estimate+1):length(morava),
  3:4]
132
133 ww.test(morava.snht0.pred[,1]) #p-value = 0.2235
134 ww.test(morava.snht0.po[,1]) #p-value < 2.2e-16
135 morava.snht1a <- snh.test(morava.snht0.pred[,1]) # K=3, p-value = 0.6165
136 morava.snht0.pred[morava.snht1a$estimate,2] # 3
137 morava.snht1b <- snh.test(morava.snht0.po[,1]) # K=575, p-value = 0.0015
138 morava.snht0.po[morava.snht1b$estimate,2] #579

```

```

139 morava.snht1b.pred <- morava.snht0.po[1:morava.snht1b$estimate, 1:2]
140 morava.snht1b.po <- morava.snht0.po[(morava.snht1b$estimate+1):length(
141   morava.snht0.po[,1]), 1:2]

142 ww.test(morava.snht1b.pred[,1]) #p-value < 2.2e-16
143 ww.test(morava.snht1b.po[,1]) #p-value < 2.2e-16
144 morava.snht2a <- snh.test(morava.snht1b.pred[,1]) # K=442, p-value = 0.003
145 morava.snht1b.pred[morava.snht2a$estimate,2] # 446
146 morava.snht2a.pred <- morava.snht1b.pred[1:morava.snht2a$estimate, 1:2]
147 morava.snht2a.po <- morava.snht1b.pred[(morava.snht2a$estimate+1):length(
148   morava.snht1b.pred[,1]), 1:2]
149 morava.snht2b <- snh.test(morava.snht1b.po[,1]) # K=805, p-value = 0.02155
150 morava.snht1b.po[morava.snht2b$estimate,2] # 1384
151 morava.snht2b.pred <- morava.snht1b.po[1:morava.snht2b$estimate, 1:2]
152 morava.snht2b.po <- morava.snht1b.po[(morava.snht2b$estimate+1):length(
153   morava.snht1b.po[,1]), 1:2]

154 ww.test(morava.snht2a.pred[,1]) #p-value < 2.2e-16
155 ww.test(morava.snht2a.po[,1]) #p-value = 4.763e-10
156 ww.test(morava.snht2b.pred[,1]) #p-value < 2.2e-16
157 ww.test(morava.snht2b.po[,1]) #p-value = 4.01e-05
158 morava.snht3aa <- snh.test(morava.snht2a.pred[,1]) # K=325, p-value = 7e-04
159 morava.snht2a.pred[morava.snht3aa$estimate,2] # 329
160 morava.snht3aa.pred <- morava.snht2a.pred[1:morava.snht3aa$estimate, 1:2]
161 morava.snht3aa.po <- morava.snht2a.pred[(morava.snht3aa$estimate+1):length(
162   morava.snht2a.pred[,1]), 1:2]
163 morava.snht3ab <- snh.test(morava.snht2a.po[,1]) # K=63, p-value = 0.00445
164 morava.snht2a.po[morava.snht3ab$estimate,2] # 509
165 morava.snht3ab.pred <- morava.snht2a.po[1:morava.snht3ab$estimate, 1:2]
166 morava.snht3ab.po <- morava.snht2a.po[(morava.snht3ab$estimate+1):length(
167   morava.snht2a.po[,1]), 1:2]
168 morava.snht3ba <- snh.test(morava.snht2b.pred[,1]) # K=81, p-value = 0.0806
169 morava.snht2b.pred[morava.snht3ba$estimate,2] # 660
170 morava.snht3bb <- snh.test(morava.snht2b.po[,1]) # K=7, p-value = 0.4958
171 morava.snht2b.po[morava.snht3bb$estimate,2] # 1391
172
173 ww.test(morava.snht3aa.pred[,1]) #p-value < 2.2e-16
174 ww.test(morava.snht3aa.po[,1]) #p-value = 6.068e-09

```

```

172  ww.test(morava.snht3ab.pred[,1]) #p-value = 9.486e-05
173  ww.test(morava.snht3ab.po[,1]) #p-value = 1.852e-05
174  morava.snht4aa <- snh.test(morava.snht3aa.pred[,1]) # K = 106, p-value =
     0.3943
175  morava.snht3aa.pred[morava.snht4aa$estimate,2] # 110
176  morava.snht4ab <- snh.test(morava.snht3aa.po[,1]) # K = 59, p-value =
     0.4621
177  morava.snht3aa.po[morava.snht4ab$estimate,2] # 388
178  morava.snht4ba <- snh.test(morava.snht3ab.pred[,1]) # K = 1, p-value =
     0.02595
179  morava.snht3ab.pred[morava.snht4ba$estimate,2] # 110
180  morava.snht4ba.po <- morava.snht3ab.pred[(morava.snht4ba$estimate+1):length(
     (morava.snht3ab.pred[,1]), 1:2]
181  morava.snht4bb <- snh.test(morava.snht3ab.po[,1]) # K = 67, p-value =
     0.00465
182  morava.snht3ab.po[morava.snht4bb$estimate,2] # 576
183  morava.snht4bb.pred <- morava.snht3ab.po[1:morava.snht4bb$estimate, 1:2]
184  morava.snht4bb.po <- morava.snht3ab.po[(morava.snht4bb$estimate+1):length(
     morava.snht3ab.po[,1]), 1:2]
185
186  ww.test(morava.snht4ba.po[,1]) #p-value = 6.224e-05
187  ww.test(morava.snht4bb.pred[,1]) #p-value = 0.0001079
188  ww.test(morava.snht4bb.po[,1]) #p-value = 1
189  morava.snht5a <- snh.test(morava.snht4ba.po[,1]) # K=46, p-value = 0.1738
190  morava.snht5b <- snh.test(morava.snht4bb.pred[,1]) # K=20, p-value = 0.46
191
192  MVS <- cbind(morava_pov[,4], morava_pov[,3], rep(0,length(morava_pov[,3])))
193  MVS[1:4,3] <- rep(1,4)
194  MVS[5:329,3] <- rep(2,325)
195  MVS[330:446,3] <- rep(3,117)
196  MVS[447,3] <- rep(4,1)
197  MVS[448:509,3] <- rep(5,62)
198  MVS[510:579,3] <- rep(6,70)
199  MVS[580:1384,3] <- rep(7,805)
200  MVS[1385:1416,3] <- rep(8,32)
201
202  ggplot(data=NULL, aes(x=MVS[,1], y=MVS[,2], color=as.factor(MVS[,3]))) +
    geom_line() + scale_color_manual(values=c("green", "darkgoldenrod1", "

```

```

darkorchid1", "red", "aquamarine3", "cornflowerblue", "cyan", "black")) +
  labs(x = "tau", y = "Prietok", color = "Zhluk") + theme(panel.background =
  element_rect(fill = "white", colour = "grey50"), legend.key = element_rect(
  colour = "transparent", fill = "white")) + geom_point()

```

Listing 3: Hron

```

1 hron_pov <- read.xlsx("Data.xlsx", 2, colNames=TRUE)
2 hron <- ts(hron_pov[,3], frequency = 12)
3 plot(hron, xlab='Mesiac', ylab='Prietok') # Vykreslenie dat
4 title(main = 'Priekok rieky Hron')
5 # Vypocet strednej hodnoty
6 str_hod_hron <- rep(0, length(hron))
7 for (i in 1:length(hron)) {
8   str_hod_hron[i] <- mean(hron[1:i])
9 }
10 # Vykreslenie strednej hodnoty
11 plot(ts(str_hod_hron, frequency = 12), xlab="Cas v rokoch od roku 1931",
      ylab="Stredna hodnota")
12
13 # Dekompozicia
14 hron_dec <- decompose(ts(hron_pov[,3], frequency = 12), type = "additive")
15 plot(hron_dec)
16
17 ## Homogenita ##
18 brt_hron <- bartels.rank.test(hron) # p-value < 2.2e-16
19 ww_hron <- ww.test(hron) # p-value < 2.2e-16
20 print(brt_hron)
21 print(ww_hron)
22
23 ## Single Change Point ##
24 pettitt_hron <- pettitt.test(hron)
25 print(pettitt_hron) # K=608, p-value = 0.001261
26
27 snht_hron <- snht.test(hron)
28 print(snht_hron) # K=608, p-value = 0.00475
29
30 cusum_hron <- cpt.mean(hron, penalty = "Manual", pen.value = 0.05, method =
  "AMOC", test.stat = "CUSUM", class = TRUE, param.estimates = TRUE)

```

```

31 hron_cusum <- cpts(cusum_hron) # 609 => 608
32
33 plot.ts(hron_pov[,3], xlab= 'tau', ylab='Prietok v m3/s')
34 lines(x=rep(pettitt_hron$estimate, length(0:max(hron_pov[,3]))) , y=0:max(
35 hron_pov[,3]), col='red', lwd=3)
36
36 ## Testovanie najdenych bodov zmeny ##
37 hron_pred_pettitt <- hron[1:pettitt_hron$estimate] # data do bodu zmeny
38 hron_po_pettitt <- hron[pettitt_hron$estimate+1:length(hron)] # data po
39 zmeny
40
40 hron_pred_snht <- hron[1:snht_hron$estimate] # data do bodu zmeny
41 hron_po_snht <- hron[snht_hron$estimate+1:length(hron)] # data po zmeny
42
43 hron_pred_cusum <- hron[1:hron_cusum-1] # data do bodu zmeny
44 hron_po_cusum <- hron[hron_cusum :length(hron)] # data po zmeny
45
46 mww_hron_pettitt <- wilcox.test(hron_pred_pettitt, hron_po_pettitt,
47 alternative = "two.sided")
47 mww_hron_snht <- wilcox.test(hron_pred_snht, hron_po_snht, alternative =
48 "two.sided")
48 mww_hron_cusum <- wilcox.test(hron_pred_cusum, hron_po_cusum, alternative =
49 "two.sided")
49 print(mww_hron_pettitt) # p-value = 9.94e-05
50 print(mww_hron_snht) # p-value = 9.94e-05
51 print(mww_hron_cusum) # p-value = 9.94e-05
52
53 ks_hron_pettitt <- ks.test(hron_pred_pettitt, hron_po_pettitt)
54 ks_hron_snht <- ks.test(hron_pred_snht, hron_po_snht)
55 ks_hron_cusum <- ks.test(hron_pred_cusum, hron_po_cusum)
56 print(ks_hron_pettitt) # p-value = 0.0009431
57 print(ks_hron_snht) # p-value = 0.0009431
58 print(ks_hron_cusum) # p-value = 0.0009431
59
60 ## Trend ##
61 smk_hron <- SeasonalMannKendall(hron) # pvalue = 3.9128e-05
62
63 cs_hron <- cox.stuart.test(hron)

```

```

64 print(cs_hron) # p-value = 0.07263
65
66 # Jednostranne testy na zistenie charakteru trendu
67 cs_left_hron <- cox.stuart.test(hron, alternative = "left.sided")
68 cs_right_hron <- cox.stuart.test(hron, alternative = "right.sided")
69 print(cs_left_hron) # p-value = 0.03631
70 print(cs_right_hron) # p-value = 0.9701

```

Listing 4: Hron - viacnásobné

```

1 hron_pov <- read.xlsx("Data.xlsx", 2, colNames=TRUE)
2 hron <- ts(hron_pov[,3], frequency = 12)
3
4 ## Hierarchicke metody ##
5
6 # Aglomerativna
7 krok <- 0.05
8 h_pocet <- rep(0, (2-0)/krok)
9 h_k <- rep(0, (2-0)/krok)
10 k <- 0
11 for (i in 1:(length(h_pocet)-1)){
12   k <- k + krok
13   h_k[i] <- k
14   h_pom <- e.agglo(X = as.matrix(hron), member = 1:length(hron), alpha = k,
15                      penalty = function(cps, Xts) 0)
16   h_pocet[i] <- length(h_pom$estimates)
17 }
18 h_pocet[length(h_pocet)] <- length((e.agglo(X = as.matrix(hron), member =
19                                         1:length(hron), alpha = 2, penalty = function(cps, Xts) 0))$estimates)
20 h_k[length(h_k)] <- 2
21 plot(h_k, h_pocet, xlab="gamma", ylab="Pocet bodov zmeny", xlim = c(0.05,2))
22 points(h_k[which.min(h_pocet)], h_pocet[which.min(h_pocet)], pch = 16, col="red")
23 which.min(h_pocet)
24 h_k[which.min(h_pocet)]
25
26 hron_agglo <- e.agglo(X = as.matrix(hron), member = 1:length(hron), alpha =
27                           h_k[which.min(h_pocet)], penalty = function(cps){0})
28 hron_agglo_est <- hron_agglo$estimates

```

```

26 hron_aggro_val <- rep(0, length(hron_aggro_est))
27
28 for (i in 1:length(hron_aggro_est)) {
29   hron_aggro_val[i] <- hron_pov[hron_aggro_est[i],3]
30 }
31 plot(hron_pov[,3], type='l', xlab="tau", ylab = "Prietok v m3/s")
32 points(hron_aggro_est, hron_aggro_val, pch = 16, col="red")
33
34 # Divizny
35 hron_div <- e.divisive(X = as.matrix(hron), sig.lvl = .05, R = 500, k =
36   NULL, min.size = 100)
37 hron_div_est <- hron_div$estimates # 657 => 656
38 hron_div_val <- rep(0, length(hron_div_est))
39
40 for (i in 1:length(hron_div_est)) {
41   hron_div_val[i] <- hron_pov[hron_div_est[i],3]
42 }
43 H <- cbind(1:length(hron), hron_pov[,3], hron_div$cluster)
44 ggplot(data=NULL, aes(x=H[,1], y=H[,2], color=as.factor(H[,3]))) + geom_
45   line() + scale_color_manual(values=c("brown1", "cornflowerblue")) + labs
46   (x = "tau", y = "Prietok", color = "Zhluk") + theme(panel.background =
47     element_rect(fill = "white", colour = "grey50"), legend.key = element_
48     rect(colour = "transparent", fill = "white"))
49
50 ## Iteracne metody ##
51
52 # Pettitt #
53 hron.pettitt0 <- pettitt.test(hron)
54 hron_pov[hron.pettitt0$estimate,4] # 608
55 hron.pettitt0.pred <- hron_pov[1:hron.pettitt0$estimate, 3:4]
56 hron.pettitt0.po <- hron_pov[(hron.pettitt0$estimate+1):length(hron), 3:4]
57
58 ww.test(hron.pettitt0.pred[,1]) #p-value < 2.2e-16
59 ww.test(hron.pettitt0.po[,1]) #p-value < 2.2e-16
60 hron.pettitt1a <- pettitt.test(hron.pettitt0.pred[,1]) # K=61, p-value =
61   0.5068
62 hron.pettitt0.pred[hron.pettitt1a$estimate,2] #61
63 hron.pettitt1b <- pettitt.test(hron.pettitt0.po[,1]) # K=340, p-value =

```

0.1245

```
58 hron.pettitt0.po[hron.pettitt1b$estimate,2] #948
59
60 HV <- cbind(hron_pov[,4], hron_pov[,3], rep(0,length(hron_pov[,3])))
61 HV[1:608,3] <- rep(1,608)
62 HV[609:1044,3] <- rep(2,436)
63
64 ggplot(data=NULL, aes(x=HV[,1], y=HV[,2], color=as.factor(HV[,3]))) + geom_
  line() + scale_color_manual(values=c("brown1", "cornflowerblue")) + labs
  (x = "tau", y = "Prietok", color = "Zhluk") + theme(panel.background =
  element_rect(fill = "white", colour = "grey50"), legend.key = element_
  rect(colour = "transparent", fill = "white"))
65
66 ## SNHT
67 hron.snht0 <- snh.test(hron)
68 hron_pov[hron.snht0$estimate,4] # 608
69 hron.snht0.pred <- hron_pov[1:hron.snht0$estimate, 3:4]
70 hron.snht0.po <- hron_pov[(hron.snht0$estimate+1):length(hron), 3:4]
71
72 ww.test(hron.snht0.pred[,1]) #p-value = 0.000487
73 ww.test(hron.snht0.po[,1]) #p-value < 2.2e-16
74 hron.snht1a <- snh.test(hron.snht0.pred[,1]) # K=7, p-value = 0.4231
75 hron.snht0.pred[hron.snht1a$estimate,2] # 7
76 hron.snht1a.pred <- hron_pov[1:hron.snht1a$estimate, 3:4]
77 hron.snht1a.po <- hron_pov[(hron.snht1a$estimate+1):length(hron.snht0.pred
  [,1]), 3:4]
78 hron.snht1b <- snh.test(hron.snht0.po[,1]) # K=341, p-value = 0.2352
79 hron.snht0.po[hron.snht1b$estimate,2] #949
```

Listing 5: Vah

```
1 vah_pov <- read.xlsx("Data.xlsx", 3, colNames=TRUE)
2 vah <- ts(vah_pov[,3], frequency = 12)
3 plot(vah, xlab='Pocet rokov od roku 1921', ylab='Prietok')
4 title(main = 'Prietok rieky Vah')
5
6 str_hod_vah <- rep(0, length(vah))
7 for (i in 1:length(vah)) {
8   str_hod_vah[i] <- mean(vah[1:i])
```

```

9   }
10
11 plot.ts(vah, xlab='Tau', ylab='Prietok')
12 plot(ts(str_hod_vah, frequency = 12), xlab="Cas v rokoch od roku 1921",
13       ylab="Stredna hodnota")
14
15 vah_dec <- decompose(ts(vah_pov[,3], frequency = 12), type = "additive")
16 plot(vah_dec)
17
18 ## Homogenita ##
19 brt_vah <- bartels.rank.test(vah) # p-value < 2.2e-16
20 ww_vah <- ww.test(vah) # p-value < 2.2e-16
21 print(brt_vah)
22 print(ww_vah)
23
24 ## Single Change Point ##
25 pettitt_vah <- pettitt.test(vah)
26 print(pettitt_vah) # K=749, p-value = 0.3768
27
28 snht_vah <- snh.test(vah)
29 print(snht_vah) # K=14, p-value = 0.1255
30
31 cusum_vah <- cpt.mean(vah, penalty = "Manual", pen.value = 0.05, method =
32           "AMOC", test.stat = "CUSUM", class = TRUE, param.estimates = TRUE)
33 vah_cusum <- cpts(cusum_vah) # 559 => 558
34
35 plot.ts(vah_pov[,3], xlab= 'tau', ylab='Prietok v m3/s')
36 lines(x=rep(pettitt_vah$estimate, length(0:max(vah_pov[,3]))), y=0:max(vah_
37       pov[,3]), col='red', lwd=3)
38 lines(x=rep(snht_vah$estimate, length(0:max(vah_pov[,3]))), y=0:max(vah_pov
39       [,3]), col='blue', lwd=3)
40 lines(x=rep(vah_cusum-1, length(0:max(vah_pov[,3]))), y=0:max(vah_pov[,3]),
41       col='green', lwd=3)
42 legend(820, 715, legend=c("Pettitt", "SNHT", "CUSUM"), col = c("red", "blue"
43 , "green"), lty = 1)
44
45 ## Testovanie najdenych bodov zmeny ##
46 vah_pred_pettitt <- vah[1:pettitt_vah$estimate] # data do bodu zmeny

```

```

41 vah_po_pettitt <- vah[pettitt_vah$estimate+1:length(vah)] # data po zmene
42
43 vah_pred_snht <- vah[1:snht_vah$estimate] # data do bodu zmeny
44 vah_po_snht <- vah[snht_vah$estimate+1:length(vah)] # data po zmene
45
46 vah_pred_cusum <- vah[1:vah_cusum-1] # data do bodu zmeny
47 vah_po_cusum <- vah[vah_cusum :length(vah)] # data po zmene
48
49 mww_vah_pettitt <- wilcox.test(vah_pred_pettitt , vah_po_pettitt ,
      alternative = "two.sided")
50 mww_vah_snht <- wilcox.test(vah_pred_snht , vah_po_snht , alternative = "two.
      sided")
51 mww_vah_cusum <- wilcox.test(vah_pred_cusum , vah_po_cusum , alternative = "
      two.sided")
52 print(mww_vah_pettitt) # p-value = 0.05649
53 print(mww_vah_snht) # p-value = 0.0002548
54 print(mww_vah_cusum) # p-value = 0.1859
55
56 ks_vah_pettitt <- ks.test(vah_pred_pettitt , vah_po_pettitt)
57 ks_vah_snht <- ks.test(vah_pred_snht , vah_po_snht)
58 ks_vah_cusum <- ks.test(vah_pred_cusum , vah_po_cusum)
59 print(ks_vah_pettitt) # p-value = 0.00531
60 print(ks_vah_snht) # p-value = 0.001212
61 print(ks_vah_cusum) # p-value = 0.0002395
62
63 ## Trend ##
64 smk_vah <- SeasonalMannKendall(vah) # pvalue = 0.42694
65
66 cs_vah <- cox.stuart.test(vah)
67 print(cs_vah) # p-value = 0.7717
68
69 ## Viacnasobne hierarchicke ##
70
71 # Aglomerativny
72 krok <- 0.05
73 v_pocet <- rep(0 , (2-0)/krok)
74 v_k <- rep(0 , (2-0)/krok)
75 k <- 0

```

```

76  for (i in 1:(length(v_pocet)-1)){
77    k <- k + krok
78    v_k[i] <- k
79    v_pom <- e.agglo(X = as.matrix(vah), member = 1:length(vah), alpha = k,
80                      penalty = function(cps,Xts) 0)
80    v_pocet[i] <- length(v_pom$estimates)
81  }
82  v_pocet[length(v_pocet)] <- length((e.agglo(X = as.matrix(vah), member = 1:
83                                         length(vah), alpha = 2, penalty = function(cps,Xts) 0))$estimates)
83  v_k[length(v_k)] <- 2
84  plot(v_k,v_pocet, xlab="gamma", ylab="Pocet bodov zmeny", xlim = c(0.05,2))
85  points(v_k[which.min(v_pocet)],v_pocet[which.min(v_pocet)], pch = 16, col="red")
86  which.min(v_pocet)
87  v_k[which.min(v_pocet)]
88
89  vah_agglo <- e.agglo(X = as.matrix(vah), member = 1:length(vah), alpha = v_
90                         k[which.min(v_pocet)], penalty = function(cps,Xts) 0)
90  vah_agglo_est <- vah_agglo$estimates
91  vah_agglo_val <- rep(0, length(vah_agglo_est))
92
93  for (i in 1:length(vah_agglo_est)) {
94    vah_agglo_val[i] <- vah_pov[vah_agglo_est[i],3]
95  }
96  plot(vah_pov[,3],type='l', xlab="tau", ylab = "Priekok v m3/s")
97  points(vah_agglo_est,vah_agglo_val, pch = 16, col="red")
98
99 # Divizny
100 vah_div <- e.divisive(X = as.matrix(vah), sig.lvl = .05, R = 500, k = NULL,
101                         min.size = 100)
101 vah_div_est <- vah_div$estimates # 367 => 366
102 vah_div_val <- rep(0, length(vah_div_est))
103
104 for (i in 1:length(vah_div_est)) {
105   vah_div_val[i] <- vah_pov[vah_div_est[i],3]
106 }
107 V <- cbind(1:length(vah), vah_pov[,3], vah_div$cluster)
108 length(vah_div$cluster)

```

```

109 ggplot(data=NULL, aes(x=V[,1], y=V[,2], color=as.factor(V[,3]))) + geom_
  line() + scale_color_manual(values=c("brown1", "cornflowerblue")) + labs
  (x = "tau", y = "Prietok", color = "Zhluk") + theme(panel.background =
  element_rect(fill = "white", colour = "grey50"), legend.key = element_
  rect(colour = "transparent", fill = "white"))

```

Listing 6: Belá

```

1 bela_pov <- read.xlsx("Data.xlsx", 4, colNames=TRUE)
2 bela <- ts(bela_pov[,2], frequency = 12)
3 plot.ts(bela, xlab='Cas v rokoch od roku 1931', ylab='Prietok v m3/s')
4 title(main = 'Prietok rieky Bela')
5 str_hod_bela <- rep(0, length(bela))
6
7 for (i in 1:length(bela)) {
8   str_hod_bela[i] <- mean(bela[1:i])
9 }
10
11 plot(ts(str_hod_bela, frequency = 12), xlab="Cas v rokoch od roku 1931",
12       ylab="Stredna hodnota")
13
14 bela_dec <- decompose(ts(bela_pov[,2], frequency = 12), type = "additive")
15 plot(bela_dec)
16
17 ## Homogenita ##
18 brt_bela <- bartels.rank.test(bela)
19 ww_bela <- ww.test(bela)
20 print(brt_bela) # p-value < 2.2e-16
21 print(ww_bela) # p-value < 2.2e-16
22
23 ## Single Change Point ##
24 pettitt_bela <- pettitt.test(bela)
25 print(pettitt_bela) # K=297, p-value = 0.4822
26
27 snht_bela <- snh.test(bela)
28 print(snht_bela) # K=4, p-value = 0.9168
29
30 cusum_bela <- cpt.mean(bela, penalty = "Manual", pen.value = 0.05, method =
  "AMOC", test.stat = "CUSUM", class = TRUE, param.estimates = TRUE)

```

```

30 bela_cusum <- cpts(cusum_bela) # NENASIEL
31
32 plot.ts(bela_pov[,2], xlab= 'tau', ylab='Prietok v m3/s')
33 lines(x=rep(pettitt_bela$estimate, length(0:max(bela_pov[,2]))) , y=0:max(
34   bela_pov[,2]), col='red', lwd=3)
35 lines(x=rep(snht_bela$estimate, length(0:max(bela_pov[,2]))) , y=0:max(bela_
36   pov[,2]), col='blue', lwd=3)
37 legend(760, 20,legend=c("Pettitt", "SNHT"), col = c("red", "blue"), lty =
38   1)
39
40 ## Testovanie najdenych bodov zmeny ##
41 bela_pred_pettitt <- bela[1:pettitt_bela$estimate] # data do bodu zmeny
42 bela_po_pettitt <- bela[(pettitt_bela$estimate+1):length(bela)] # data po
43 zmene
44
45 mww_bela_pettitt <- wilcox.test(bela_pred_pettitt, bela_po_pettitt,
46   alternative = "two.sided")
47 mww_bela_snht <- wilcox.test(bela_pred_snht, bela_po_snht, alternative =
48   "two.sided")
49 print(mww_bela_pettitt) # p-value = 0.06249
50 print(mww_bela_snht) # p-value = 0.01759
51
52 ks_bela_pettitt <- ks.test(bela_pred_pettitt, bela_po_pettitt)
53 ks_bela_snht <- ks.test(bela_pred_snht, bela_po_snht)
54 print(ks_bela_pettitt) # p-value = 0.02824
55 print(ks_bela_snht) # p-value = 0.1254
56
57 ## Trend ##
58 smk_bela <- SeasonalMannKendall(bela)
59 print(smk_bela) # pvalue = 0.72881
60
61 cs_bela <- cox.stuart.test(bela)
62 print(cs_bela) # p-value = 0.8949

```

Listing 7: Kysuca

```

1 kysuca_pov <- read.xlsx("Data.xlsx", 5, colNames=TRUE)
2 kysuca <- ts(kysuca_pov[,2], frequency = 12)
3 plot.ts(kysuca, xlab='Cas v rokoch od roku 1931', ylab='Prietok v m3/s')
4 title(main = 'Prietok rieky Kysuca')
5
6 str_hod_kysuca <- rep(0, length(kysuca))
7 for (i in 1:length(kysuca)) {
8   str_hod_kysuca[i] <- mean(kysuca[1:i])
9 }
10
11 plot(ts(str_hod_kysuca, frequency = 12), xlab="Cas v rokoch od roku 1931",
12       ylab="Stredna hodnota")
13
14 kysuca_dec <- decompose(ts(kysuca_pov[,2], frequency = 12), type = "additive")
15
16 ## Homogenita ##
17 brt_kysuca <- bartels.rank.test(kysuca)
18 ww_kysuca <- ww.test(kysuca)
19 print(brt_kysuca) # p-value < 2.2e-16
20 print(ww_kysuca) # p-value < 2.351e-16
21
22 ## Single Change Point ##
23 pettitt_kysuca <- pettitt.test(kysuca)
24 print(pettitt_kysuca) # K=629, p-value = 0.8718
25
26 snht_kysuca <- snh.test(kysuca)
27 print(snht_kysuca) # K=42, p-value = 0.9486
28
29 cusum_kysuca <- cpt.mean(kysuca, penalty = "Manual", pen.value = 0.05,
30   method = "AMOC", test.stat = "CUSUM", class = TRUE, param.estimates =
31   TRUE)
32 kysuca_cusum <- cpts(cusum_kysuca) # 856 => 855
33
34 plot.ts(kysuca_pov[,2], xlab= 'tau', ylab='Prietok v m3/s')
35 lines(x=rep(pettitt_kysuca$estimate, length(0:max(kysuca_pov[,2]))), y=0:
36       max(kysuca_pov[,2])), col='red', lwd=3)

```

```

34 lines (x=rep(snht_kysuca$estimate ,length (0:max(kysuca_pov[,2])) ) , y=0:max(
35   kysuca_pov[,2]) , col='blue' , lwd=3)
36 lines (x=rep(kysuca_cusum-1,length (0:max(kysuca_pov[,2])) ) , y=0:max(kysuca_
37   pov[,2]) , col='green' , lwd=3)
38 legend(740, 90,legend=c("Pettitt", "SNHT", "CUSUM") , col = c("red", "blue",
39   "green") , lty = 1)
40
41 ## Testovanie najdenych bodov zmeny ##
42 kysuca_pred_pettitt <- kysuca[1:pettitt_kysuca$estimate] # data do bodu
43   zmeny
44 kysuca_po_pettitt <- kysuca[(pettitt_kysuca$estimate+1):length(kysuca)] #
45   data po zmene
46
47 kysuca_pred_snht <- kysuca[1:snht_kysuca$estimate] # data do bodu zmeny
48 kysuca_po_snht <- kysuca[(snht_kysuca$estimate+1):length(kysuca)] # data po
49   zmene
50
51 kysuca_pred_cusum <- kysuca[1:kysuca_cusum-1] # data do bodu zmeny
52 kysuca_po_cusum <- kysuca[kysuca_cusum :length(kysuca)] # data po zmene
53
54 mww_kysuca_pettitt <- wilcox.test(kysuca_pred_pettitt , kysuca_po_pettitt ,
55   alternative = "two.sided")
56 mww_kysuca_snht <- wilcox.test(kysuca_pred_snht , kysuca_po_snht ,
57   alternative = "two.sided")
58 mww_kysuca_cusum <- wilcox.test(kysuca_pred_cusum , kysuca_po_cusum ,
59   alternative = "two.sided")
60
61 print(mww_kysuca_pettitt) # p-value = 0.188
62 print(mww_kysuca_snht) # p-value = 0.04113
63 print(mww_kysuca_cusum) # p-value = 0.3198
64
65 ks_kysuca_pettitt <- ks.test(kysuca_pred_pettitt , kysuca_po_pettitt)
66 ks_kysuca_snht <- ks.test(kysuca_pred_snht , kysuca_po_snht)
67 ks_kysuca_cusum <- ks.test(kysuca_pred_cusum , kysuca_po_cusum)
68 print(ks_kysuca_pettitt) # p-value = 0.287
69 print(ks_kysuca_snht) # p-value = 0.08783
70 print(ks_kysuca_cusum) # p-value = 0.1643
71
72 ## Trend ##

```

```

63 smk_kysuca <- SeasonalMannKendall(kysuca)
64 print(smk_kysuca) # pvalue = 0.95949
65
66 cs_kysuca <- cox.stuart.test(kysuca)
67 print(cs_kysuca) # p-value = 0.6937

```

Listing 8: Krupinica

```

1 krupinica_pov <- read.xlsx("Data.xlsx", 6, colNames=TRUE)
2 krupinica <- ts(krupinica_pov[,2], frequency = 12)
3 plot.ts(krupinica, xlab='Cas v rokoch od roku 1931', ylab='Prietok v m3/s')
4 title(main = 'Prietok rieky Krupinica')
5 str_hod_krupinica <- rep(0, length(krupinica))
6
7 for (i in 1:length(krupinica)) {
8   str_hod_krupinica[i] <- mean(krupinica[1:i])
9 }
10
11 plot(ts(str_hod_krupinica, frequency = 12), xlab="Cas v rokoch od roku 1900",
12       ylab="Stredna hodnota")
13 krupinica_dec <- decompose(ts(krupinica_pov[,2], frequency = 12), type =
14   "additive")
14 plot(krupinica_dec)
15
16 ## Homogenita ##
17 brt_krupinica <- bartels.rank.test(krupinica)
18 ww_krupinica <- ww.test(krupinica)
19 print(brt_krupinica) # p-value < 2.2e-16
20 print(ww_krupinica) # p-value < 2.2e-16
21
22 ## Single Change Point ##
23 pettitt_krupinica <- pettitt.test(krupinica)
24 print(pettitt_krupinica) # K=438, p-value = 0.0004466
25
26 snht_krupinica <- snh.test(krupinica)
27 print(snht_krupinica) # K=436, p-value < 2.2e-16
28
29 cusum_krupinica <- cpt.mean(krupinica, penalty = "Manual", pen.value =

```

```

0.05, method = "AMOC", test.stat = "CUSUM", class = TRUE, param.
estimates = TRUE)
30 krupinica_cusum <- cpts(cusum_krupinica) # 437 => 436
31
32 plot.ts(krupinica_pov[,2], xlab= 't', ylab='Prietok v m3/s')
33 lines(x=rep(pettitt_krupinica$estimate,length(0:max(krupinica_pov[,2]))),
y=0:max(krupinica_pov[,2]), col='red', lwd=3)
34 lines(x=rep(snht_krupinica$estimate,length(0:max(krupinica_pov[,2]))),
=0:max(krupinica_pov[,2]), col='blue', lwd=3)
35 legend(560, 27,legend=c("Pettitt", "SNHT, CUSUM"), col = c("red", "blue", "green"),
lty = 1)
36
37 ## Testovanie najdenych bodov zmeny ##
38 krupinica_pred_pettitt <- krupinica[1:pettitt_krupinica$estimate] # data do
bodu zmeny
39 krupinica_po_pettitt <- krupinica[(pettitt_krupinica$estimate+1):length(
krupinica)] # data po zmene
40
41 krupinica_pred_snht <- krupinica[1:snht_krupinica$estimate] # data do bodu
zmeny
42 krupinica_po_snht <- krupinica[(snht_krupinica$estimate+1):length(krupinica)
] # data po zmene
43
44 krupinica_pred_cusum <- krupinica[1:krupinica_cusum-1] # data do bodu zmeny
45 krupinica_po_cusum <- krupinica[krupinica_cusum :length(krupinica)] # data
po zmene
46
47 mww_krupinica_pettitt <- wilcox.test(krupinica_pred_pettitt, krupinica_po_
pettitt, alternative = "two.sided")
48 mww_krupinica_snht <- wilcox.test(krupinica_pred_snht, krupinica_po_snht,
alternative = "two.sided")
49 mww_krupinica_cusum <- wilcox.test(krupinica_pred_cusum, krupinica_po_cusum
, alternative = "two.sided")
50 print(mww_krupinica_pettitt) # p-value = 3.534e-05
51 print(mww_krupinica_snht) # p-value = 4.531e-05
52 print(mww_krupinica_cusum) # p-value = 4.531e-05
53
54 ks_krupinica_pettitt <- ks.test(krupinica_pred_pettitt, krupinica_po_

```

```

    pettitt)

55 ks_krupinic_snht <- ks.test(krupinic_pred_snht, krupinic_po_snht)
56 ks_krupinic_cusum <- ks.test(krupinic_pred_cusum, krupinic_po_cusum)
57 print(ks_krupinic_pettitt) # p-value = 1.325e-05
58 print(ks_krupinic_snht) # p-value = 8.876e-06
59 print(ks_krupinic_cusum) # p-value = 8.876e-06
60
61 ## Trend ##
62 smk_krupinic <- SeasonalMannKendall(krupinic)
63 print(smk_krupinic) # pvalue = 3.0806e-05
64
65 cs_krupinic <- cox.stuart.test(krupinic)
66 print(cs_krupinic) # p-value = 0.01421
67
68 cs_left_krupinic <- cox.stuart.test(krupinic, alternative = "left.sided")
69 cs_right_krupinic <- cox.stuart.test(krupinic, alternative = "right.sided")
70 print(cs_left_krupinic) # p-value = 0.007105
71 print(cs_right_krupinic) # p-value = 0.9945

```

Listing 9: Krupinica - viacnásobné

```

1 krupinic_pov <- read.xlsx("Data.xlsx", 6, colNames=TRUE)
2 krupinic <- ts(krupinic_pov[,2], frequency = 12)
3
4 ## Hierarchicke metody ##
5
6 # Aglomerativny
7 krok <- 0.05
8 kr_pocet <- rep(0, (2-0)/krok)
9 kr_k <- rep(0, (2-0)/krok)
10 k <- 0
11 for (i in 1:(length(kr_pocet)-1)){
12   k <- k + krok
13   kr_k[i] <- k
14   kr_pom <- e.agglo(X = as.matrix(krupinic), member = 1:length(krupinic),
15                         alpha = k, penalty = function(cps, Xts) 0)
15   kr_pocet[i] <- length(kr_pom$estimates)

```

```

16      }
17 kr_pocet [length(kr_pocet)] <- length((e.agglo(X = as.matrix(krupinica),
18 member = 1:length(krupinica), alpha = 2, penalty = function(cps,Xts) 0))
19   $estimates)
20 kr_k [length(kr_k)] <- 2
21 plot(kr_k,kr_pocet, xlab="gamma", ylab="Pocet bodov zmeny", xlim = c
22   (0.05,2))
23 points(kr_k[which.min(kr_pocet)],kr_pocet[which.min(kr_pocet)], pch = 16,
24   col="red")
25 which.min(kr_pocet)
26
27 krupinica_agglo <- e.agglo(X = as.matrix(krupinica), member = 1:length(
28   krupinica), alpha = kr_k[which.min(kr_pocet)], penalty = function(cps,
29   Xts) 0)
30 krupinica_agglo_est <- krupinica_agglo$estimates
31 krupinica_agglo_val <- rep(0, length(krupinica_agglo_est))
32
33 # Divizny
34 krupinica_div <- e.divisive(X = as.matrix(krupinica), sig.lvl = .05, R =
35   500, k = NULL, min.size = 100)
36 krupinica_div_est <- krupinica_div$estimates # 184 437 => 183 436
37 krupinica_div_val <- rep(0, length(krupinica_div_est))
38
39 for (i in 1:length(krupinica_div_est)) {
40   krupinica_div_val[i] <- krupinica_pov[krupinica_div_est[i],3]
41 }
42 Kr <- cbind(1:length(krupinica), krupinica_pov[,2], krupinica_div$cluster)
43 length(krupinica_div$cluster)
44 ggplot(data=NULL, aes(x=Kr[,1], y=Kr[,2], color=as.factor(Kr[,3]))) + geom_
45   line() + scale_color_manual(values=c("darkgoldenrod1", "brown1",
46   "darkorchid1", "cornsilk4", "aquamarine3", "cornflowerblue")) + labs(x =

```

```

tau", y = "Prietok v m3/s", color = "Zhluk") + theme(panel.background =
  element_rect(fill = "white", colour = "black"), legend.key = element_rect(
    colour = "transparent", fill = "white"))

45
46 ## Iteracne metody ##
47
48 # Pettitt
49 krupinica.pettitt0 <- pettitt.test(krupinica)
50 krupinica_pov[krupinica.pettitt0$estimate,3] # 438
51 krupinica.pettitt0.pred <- krupinica_pov[1:krupinica.pettitt0$estimate,
  2:3]
52 krupinica.pettitt0.po <- krupinica_pov[(krupinica.pettitt0$estimate+1):
  length(krupinica), 2:3]

53
54 ww.test(krupinica.pettitt0.pred[,1]) #p-value = 8.929e-16
55 ww.test(krupinica.pettitt0.po[,1]) #p-value < 2.2e-16
56 krupinica.pettitt1a <- pettitt.test(krupinica.pettitt0.pred[,1]) # K=138, p-
  -value = 0.01007
57 krupinica.pettitt0.pred[krupinica.pettitt1a$estimate,2] # 138
58 krupinica.pettitt1b <- pettitt.test(krupinica.pettitt0.po[,1]) # K=508, p-
  value = 0.4814
59 krupinica.pettitt0.po[krupinica.pettitt1b$estimate,2] #946
60 krupinica.pettitt1a.pred <- krupinica.pettitt0.pred[1:krupinica.pettitt1a$-
  estimate, 1:2]
61 krupinica.pettitt1a.po <- krupinica.pettitt0.pred[(krupinica.pettitt1a$-
  estimate+1):length(krupinica.pettitt0.pred[,1]), 1:2]

62
63 ww.test(krupinica.pettitt1a.pred[,1]) #p-value = = 3.363e-06
64 ww.test(krupinica.pettitt1a.po[,1]) #p-value = 7.681e-11
65 krupinica.pettitt2a <- pettitt.test(krupinica.pettitt1a.pred[,1]) # K=59, p-
  -value = 1.48e-05
66 krupinica.pettitt1a.pred[krupinica.pettitt2a$estimate,2] #59
67 krupinica.pettitt2a.pred <- krupinica.pettitt1a.pred[1:krupinica.pettitt2a$-
  estimate,1:2]
68 krupinica.pettitt2a.po <- krupinica.pettitt1a.pred[(krupinica.pettitt2a$-
  estimate+1):length(krupinica.pettitt1a.pred[,1]),1:2]
69 krupinica.pettitt2b <- pettitt.test(krupinica.pettitt1a.po[,1]) # K=267, p-
  value = 0.0237

```

```

70 krupinica.pettitt1a.po[krupinica.pettitt2b$estimate,2] #405
71 krupinica.pettitt2b.pred <- krupinica.pettitt1a.po[1:krupinica.pettitt2b$  

    estimate,1:2]
72 krupinica.pettitt2b.po <- krupinica.pettitt1a.po[(krupinica.pettitt2b$  

    estimate+1):length(krupinica.pettitt1a.po[,1]),1:2]
73
74 ww.test(krupinica.pettitt2a.pred[,1]) #p-value = 4.362e-05
75 ww.test(krupinica.pettitt2a.po[,1]) #p-value = 0.005509
76 ww.test(krupinica.pettitt2b.pred[,1]) #p-value = 6.56e-16
77 ww.test(krupinica.pettitt2b.po[,1]) #p-value = 0.4864
78 krupinica.pettitt3aa <- pettitt.test(krupinica.pettitt2a.pred[,1]) # K =  

    18, p-value = 0.04264
79 krupinica.pettitt2a.pred[krupinica.pettitt3aa$estimate,2]
80 krupinica.pettitt3aa.pred <- krupinica.pettitt2a.pred[1:krupinica.  

    pettitt3aa$estimate,1:2]
81 krupinica.pettitt3aa.po <- krupinica.pettitt2a.pred[(krupinica.pettitt3aa$  

    estimate+1):length(krupinica.pettitt2a.pred[,1]),1:2]
82 krupinica.pettitt3ab <- pettitt.test(krupinica.pettitt2a.po[,1]) # K = 8, p  

    -value = 0.4287
83 krupinica.pettitt3ba <- pettitt.test(krupinica.pettitt2b.pred[,1]) # K =  

    100, p-value = 0.7214
84
85 ww.test(krupinica.pettitt3aa.pred[,1]) #p-value = 0.0255
86 ww.test(krupinica.pettitt3aa.po[,1]) #p-value = 0.0003782
87 krupinica.pettitt4a <- pettitt.test(krupinica.pettitt3aa.pred[,1]) # K = 5,  

    p-value = 0.2779
88 krupinica.pettitt4b <- pettitt.test(krupinica.pettitt3aa.po[,1]) # K = 16,  

    p-value = 0.2034
89
90 KrV <- cbind(krupinica_pov[,3], krupinica_pov[,2], rep(0,length(krupinica_  

    pov[,2])))
91 KrV[1:18,3] <- rep(1,18)
92 KrV[19:59,3] <- rep(2,41)
93 KrV[60:138,3] <- rep(3,79)
94 KrV[139:405,3] <- rep(4,267)
95 KrV[406:438,3] <- rep(5,33)
96 KrV[439:1008,3] <- rep(6,570)
97

```

```

98 ggplot(data=NULL, aes(x=KrV[,1], y=KrV[,2], color=as.factor(KrV[,3]))) +
  geom_line() + scale_color_manual(values=c("darkgoldenrod1", "green", "darkorchid1", "red", "aquamarine3", "cornflowerblue")) + labs(x = "tau", y =
  = "Prietok", color = "Zhluk") + theme(panel.background = element_rect(
  fill = "white", colour = "grey50"), legend.key = element_rect(colour =
  "transparent", fill = "white"))

99

100 # SNHT

101 krupinica.snh0 <- snh.test(krupinica)

102 krupinica_pov[krupinica.snh0$estimate,3] # 436

103 krupinica.snh0.pred <- krupinica_pov[1:krupinica.snh0$estimate, 2:3]

104 krupinica.snh0.po <- krupinica_pov[(krupinica.snh0$estimate+1):length(
  krupinica), 2:3]

105

106 ww.test(krupinica.snh0.pred[,1]) #p-value = 9.093e-16

107 ww.test(krupinica.snh0.po[,1]) #p-value < 2.2e-16

108 krupinica.snh1a <- snh.test(krupinica.snh0.pred[,1]) # K= 410, p-value =
  0.00685

109 krupinica.snh0.pred[krupinica.snh1a$estimate,2]

110 krupinica.snh1b <- snh.test(krupinica.snh0.po[,1]) # K=511, p-value =
  0.1497

111 krupinica.snh0.po[krupinica.snh1b$estimate,2] #947

112 krupinica.snh1a.pred <- krupinica.snh0.pred[1:krupinica.snh1a$estimate,
  1:2]

113 krupinica.snh1a.po <- krupinica.snh0.pred[(krupinica.snh1a$estimate+1):
  length(krupinica.snh0.pred[,1]), 1:2]

114

115 ww.test(krupinica.snh1a.pred[,1]) #p-value < 2.2e-16

116 ww.test(krupinica.snh1a.po[,1]) #p-value = 0.8099

117 krupinica.snh2a <- snh.test(krupinica.snh1a.pred[,1]) # K=137, p-value =
  0.0184

118 krupinica.snh1a.pred[krupinica.snh2a$estimate,2] #137

119 krupinica.snh2a.pred <- krupinica.snh1a.pred[1:krupinica.snh2a$estimate,
  1:2]

120 krupinica.snh2a.po <- krupinica.snh1a.pred[(krupinica.snh2a$estimate+1):
  length(krupinica.snh1a.pred[,1]), 1:2]

121

122 ww.test(krupinica.snh2a.pred[,1]) #p-value = 3.531e-06

```

```

123  ww.test(krupinica.snht2a.po[,1]) #p-value = 1.169e-15
124  krupinica.snht3a <- snh.test(krupinica.snht2a.pred[,1]) # K=59, p-value =
     0.02665
125  krupinica.snht2a.pred[krupinica.snht3a$estimate,2] #59
126  krupinica.snht3a.pred <- krupinica.snht2a.pred[1:krupinica.snht3a$estimate
     ,1:2]
127  krupinica.snht3a.po <- krupinica.snht2a.pred[(krupinica.snht3a$estimate+1):
     length(krupinica.snht2a.pred[,1]),1:2]
128  krupinica.snht3b <- snh.test(krupinica.snht2a.po[,1]) # K=20, p-value =
     0.2516
129  krupinica.snht2a.po[krupinica.snht3b$estimate,2] # 157
130
131  ww.test(krupinica.snht3a.pred[,1]) #p-value = 4.362e-05
132  ww.test(krupinica.snht3a.po[,1]) #p-value = 0.004242
133  krupinica.snht4a <- snh.test(krupinica.snht3a.pred[,1]) # K=4, p-value =
     0.0014
134  krupinica.snht3a.pred[krupinica.snht4a$estimate,2] #4
135  krupinica.snht4a.pred <- krupinica.snht3a.pred[1:krupinica.snht4a$estimate
     ,1:2]
136  krupinica.snht4a.po <- krupinica.snht3a.pred[(krupinica.snht4a$estimate+1):
     length(krupinica.snht3a.pred[,1]),1:2]
137  krupinica.snht4b <- snh.test(krupinica.snht3a.po[,1]) # K=6, p-value =
     0.5645
138  krupinica.snht3a.po[krupinica.snht4b$estimate,2] # 65
139
140  ww.test(krupinica.snht4a.pred[,1]) #p-value = 0.5071
141  ww.test(krupinica.snht4a.po[,1]) #p-value = 0.0003309
142  krupinica.snht5b <- snh.test(krupinica.snht4a.po[,1]) # K=42, p-value =
     0.6931
143  krupinica.snht4a.po[krupinica.snht5b$estimate,2] # 46
144
145  KrS <- cbind(krupinica_pov[,3], krupinica_pov[,2], rep(0,length(krupinica_
     pov[,2])))
146  KrS[1:4,3] <- rep(1,4)
147  KrS[5:59,3] <- rep(2,55)
148  KrS[60:137,3] <- rep(3,78)
149  KrS[138:410,3] <- rep(4,273)
150  KrS[411:436,3] <- rep(5,26)

```

```

151 KrS[437:1008,3] <- rep(6,572)
152
153 ggplot(data=NULL, aes(x=KrS[,1], y=KrS[,2], color=as.factor(KrS[,3]))) +
    geom_line() + scale_color_manual(values=c("darkgoldenrod1", "green", "darkorchid1", "red", "aquamarine3", "cornflowerblue")) + labs(x = "tau", y =
    = "Prietok", color = "Zhluk") + theme(panel.background = element_rect(
    fill = "white", colour = "grey50"), legend.key = element_rect(colour =
    = "transparent", fill = "white"))

```

Listing 10: Ipel

```

1 ipel_pov <- read.xlsx("Data.xlsx", 7, colNames=TRUE)
2 ipel <- ts(ipel_pov[,2], frequency = 12)
3 plot.ts(ipel, xlab='Cas v rokoch od roku 1931', ylab='Prietok v m3/s')
4 title(main = 'Prietok rieky Ipel')
5 str_hod_ipel <- rep(0, length(ipel))
6
7 for (i in 1:length(ipel)) {
8   str_hod_ipel[i] <- mean(ipel[1:i])
9 }
10
11 plot(ts(str_hod_ipel, frequency = 12), xlab="Cas v rokoch od roku 1931",
12       ylab="Stredna hodnota")
13
14 ipel_dec <- decompose(ts(ipel_pov[,2], frequency = 12), type = "additive")
15
16 ## Homogenita ##
17 brt_ipel <- bartels.rank.test(ipel)
18 ww_ipel <- ww.test(ipel)
19 print(brt_ipel) # p-value < 2.2e-16
20 print(ww_ipel) # p-value < 2.2e-16
21
22 ## Single Change Point ##
23 pettitt_ipel <- pettitt.test(ipel)
24 print(pettitt_ipel) # K=617, p-value = 0.0009014
25
26 snht_ipel <- snh.test(ipel)
27 print(snht_ipel) # K=126 , p-value < 2.2e-16

```

```

28
29 cusum_ipel <- cpt.mean(ipel, penalty = "Manual", pen.value = 0.05, method =
  "AMOC", test.stat = "CUSUM", class = TRUE, param.estimates = TRUE)
30 ipel_cusum <- cpts(cusum_ipel) # 604 => 603
31
32 plot.ts(ipel_pov[,2], xlab= 'tau', ylab='Priekok v m3/s')
33 lines(x=rep(pettitt_ipel$estimate, length(0:max(ipel_pov[,2]))) , y=0:max(
  ipel_pov[,2]), col='red', lwd=3)
34 lines(x=rep(snht_ipel$estimate, length(0:max(ipel_pov[,2]))) , y=0:max(ipel_
  pov[,2]), col='blue', lwd=3)
35 lines(x=rep(ipel_cusum-1,length(0:max(ipel_pov[,2]))) , y=0:max(ipel_pov
  [,2]), col='green', lwd=3)
36 legend(700, 42,legend=c("Pettitt", "SNHT", "CUSUM"), col = c("red", "blue",
  "green"), lty = 1)
37
38 ## Testovanie najdenych bodov zmeny ##
39 ipel_pred_pettitt <- ipel[1:pettitt_ipel$estimate] # data do bodu zmeny
40 ipel_po_pettitt <- ipel[(pettitt_ipel$estimate+1):length(ipel)] # data po
  zmene
41
42 ipel_pred_snht <- ipel[1:snht_ipel$estimate] # data do bodu zmeny
43 ipel_po_snht <- ipel[(snht_ipel$estimate+1):length(ipel)] # data po zmene
44
45 ipel_pred_cusum <- ipel[1:ipel_cusum-1] # data do bodu zmeny
46 ipel_po_cusum <- ipel[ipel_cusum :length(ipel)] # data po zmene
47
48 mww_ipel_pettitt <- wilcox.test(ipel_pred_pettitt, ipel_po_pettitt,
  alternative = "two.sided")
49 mww_ipel_snht <- wilcox.test(ipel_pred_snht, ipel_po_snht, alternative =
  "two.sided")
50 mww_ipel_cusum <- wilcox.test(ipel_pred_cusum, ipel_po_cusum, alternative =
  "two.sided")
51 print(mww_ipel_pettitt) # p-value = 5.952e-05
52 print(mww_ipel_snht) # p-value = 0.0001229
53 print(mww_ipel_cusum) # p-value = 9.62e-05
54
55 ks_ipel_pettitt <- ks.test(ipel_pred_pettitt, ipel_po_pettitt)
56 ks_ipel_snht <- ks.test(ipel_pred_snht, ipel_po_snht)

```

```

57 ks_ipel_cusum <- ks.test(ipel_pred_cusum, ipel_po_cusum)
58 print(ks_ipel_pettitt) # p-value = 0.0002785
59 print(ks_ipel_snht) # p-value = 0.0001623
60 print(ks_ipel_cusum) # p-value = 0.0004284
61
62 ## Trend ##
63 smk_ipel <- SeasonalMannKendall(ipel)
64 print(smk_ipel) # pvalue = 0.049216
65
66 cs_ipel <- cox.stuart.test(ipel)
67 print(cs_ipel) # p-value = 0.2318

```

Listing 11: Ipel - viacnásobné

```

1 ipel_pov <- read.xlsx("Data.xlsx", 7, colNames=TRUE)
2 ipel <- ts(ipel_pov[,2], frequency = 12)
3
4 ## Hierarchicke ##
5
6 # Agglomerativny
7
8 krok <- 0.05
9 ip_pocet <- rep(0, (2-0)/krok)
10 ip_k <- rep(0, (2-0)/krok)
11 k <- 0
12 for (i in 1:(length(ip_pocet)-1)){
13   k <- k + krok
14   ip_k[i] <- k
15   ip_pom <- e.agglo(X = as.matrix(ipel), member = 1:length(ipel), alpha = k
16   , penalty = function(cps, Xts) 0)
17   ip_pocet[i] <- length(ip_pom$estimates)
18 }
19 ip_pocet[length(ip_pocet)] <- length((e.agglo(X = as.matrix(ipel), member =
20 1:length(ipel), alpha = 2, penalty = function(cps, Xts) 0))$estimates)
21 ip_k[length(ip_k)] <- 2
22 plot(ip_k, ip_pocet, xlab="gamma", ylab="Pocet bodov zmeny", xlim = c
23 (0.05,2))
24 points(ip_k[which.min(ip_pocet)], ip_pocet[which.min(ip_pocet)], pch = 16,
25 col="red")

```

```

22 which.min(ipel$pocet)
23
24 ipel$agglo <- e.agglo(X = as.matrix(ipel), member = 1:length(ipel), alpha =
25   ipel_k[which.min(ipel$pocet)], penalty = function(cps, Xts) 0)
26 ipel$agglo$estimates
27 ipel$agglo$val <- rep(0, length(ipel$agglo$estimates))
28
29 for (i in 1:length(ipel$agglo$estimates)) {
30   ipel$agglo$val[i] <- ipel$pov[ipel$agglo$estimates[i], 2]
31 }
32 plot(ipel$pov[, 2], type = 'l', xlab = "tau", ylab = "Prietok v m3/s")
33 points(ipel$agglo$estimates, ipel$agglo$val, pch = 16, col = "red")
34
35 # Divizny
36 ipel$div <- e.divisive(X = as.matrix(ipel), sig.level = .05, R = 500, k =
37   NULL, min.size = 100)
38 ipel$div$estimates # 138 239 605 => 137 238 604
39 ipel$div$val <- rep(0, length(ipel$div$estimates))
40
41 for (i in 1:length(ipel$div$estimates)) {
42   ipel$div$val[i] <- ipel$pov[ipel$div$estimates[i], 3]
43 }
44 ip <- cbind(1:length(ipel), ipel$pov[, 2], ipel$div$cluster)
45 length(ipel$div$cluster)
46 ggplot(data = NULL, aes(x = ip[, 1], y = ip[, 2], color = as.factor(ip[, 3]))) + geom_
47   line() + scale_color_manual(values = c("darkgoldenrod1", "brown1",
48   "darkorchid1", "cornsilk4", "aquamarine3", "cornflowerblue")) + labs(x =
49   "tau", y = "Prietok v m3/s", color = "Zhluk") + theme(panel.background =
50   element_rect(fill = "white", colour = "black"), legend.key = element_
51   rect(colour = "transparent", fill = "white"))
52
53 ## Iteracne ##
54
55 # Pettitt
56 ipel$pettitt0 <- pettitt.test(ipel)
57 ipel$pov[ipel$pettitt0$estimate, 3] # 617
58 ipel$pettitt0$pred <- ipel$pov[1:ipel$pettitt0$estimate, 2:3]
59 ipel$pettitt0$po <- ipel$pov[(ipel$pettitt0$estimate + 1):length(ipel), 2:3]

```

```

53
54  ww.test(ipel.pettitt0.pred[,1]) #p-value < 2.2e-16
55  ww.test(ipel.pettitt0.po[,1]) #p-value < 2.2e-16
56  ipel.pettitt1a <- pettitt.test(ipel.pettitt0.pred[,1]) # K=238, p-value =
      0.05422
57  ipel.pettitt0.pred[ipel.pettitt1a$estimate,2] # 238
58  ipel.pettitt1b <- pettitt.test(ipel.pettitt0.po[,1]) # K=260, p-value =
      0.03788
59  ipel.pettitt0.po[ipel.pettitt1b$estimate,2] #877
60  ipel.pettitt1a.pred <- ipel.pettitt0.po[1:ipel.pettitt1b$estimate, 1:2]
61  ipel.pettitt1a.po <- ipel.pettitt0.po[(ipel.pettitt1b$estimate+1):length(
      ipel.pettitt0.po[,1]), 1:2]
62
63  ww.test(ipel.pettitt1a.pred[,1]) #p-value = 2.254e-09
64  ww.test(ipel.pettitt1a.po[,1]) #p-value < 2.2e-16
65  ipel.pettitt2a <- pettitt.test(ipel.pettitt1a.pred[,1]) # K=216, p-value =
      0.7245
66  ipel.pettitt1a.pred[ipel.pettitt2a$estimate,2] #833
67  ipel.pettitt2b <- pettitt.test(ipel.pettitt1a.po[,1]) # K=58, p-value =
      0.3254
68  ipel.pettitt1a.po[ipel.pettitt2b$estimate,2] #935
69
70  IpV <- cbind(ipel_pov[,3], ipel_pov[,2], rep(0,length(ipel_pov[,2])))
71  IpV[1:617,3] <- rep(1,617)
72  IpV[618:877,3] <- rep(2,260)
73  IpV[878:1020,3] <- rep(3,143)
74
75  ggplot(data=NULL, aes(x=IpV[,1], y=IpV[,2], color=as.factor(IpV[,3]))) +
    geom_line() + scale_color_manual(values=c("red", "green", "darkorchid1"))
    ) + labs(x = "tau", y = "Prietok", color = "Zhluk") + theme(panel.
      background = element_rect(fill = "white", colour = "grey50"), legend.key
      = element_rect(colour = "transparent", fill = "white"))
76
77  # SNHT
78  ipel.snht0 <- snh.test(ipel)
79  ipel_pov[ipel.snht0$estimate,3] # 126
80  ipel.snht0.pred <- ipel_pov[1:ipel.snht0$estimate, 2:3]
81  ipel.snht0.po <- ipel_pov[(ipel.snht0$estimate+1):length(ipel), 2:3]

```

```

82
83 ww.test(ipel.snht0.pred[,1]) #p-value = 4.273e-05
84 ww.test(ipel.snht0.po[,1]) #p-value < 2.2e-16
85 ipel.snht1a <- snh.test(ipel.snht0.pred[,1]) # K= 60, p-value = 0.0035
86 ipel.snht0.pred[,2] # 60
87 ipel.snht1b <- snh.test(ipel.snht0.po[,1]) # K=478, p-value = 0.03245
88 ipel.snht0.po[,2] #604
89 ipel.snht1a.pred <- ipel.snht0.pred[1:ipel.snht1a$estimate, 1:2]
90 ipel.snht1a.po <- ipel.snht0.pred[(ipel.snht1a$estimate+1):length(ipel.
    snht0.pred[,1]), 1:2]
91 ipel.snht1b.pred <- ipel.snht0.po[1:ipel.snht1b$estimate, 1:2]
92 ipel.snht1b.po <- ipel.snht0.po[(ipel.snht1b$estimate+1):length(ipel.snht0.
    po[,1]), 1:2]

93
94 ww.test(ipel.snht1a.pred[,1]) #p-value = 5.148e-07
95 ww.test(ipel.snht1a.po[,1]) #p-value = 0.08168
96 ww.test(ipel.snht1b.pred[,1]) #p-value < 2.2e-16
97 ww.test(ipel.snht1b.po[,1]) #p-value < 2.2e-16
98 ipel.snht2a <- snh.test(ipel.snht1a.pred[,1]) # K= 4, p-value < 2.2e-16
99 ipel.snht1a.pred[,2] # 4
100 ipel.snht2a.pred <- ipel.snht1a.pred[1:ipel.snht2a$estimate, 1:2]
101 ipel.snht2a.po <- ipel.snht1a.pred[(ipel.snht2a$estimate+1):length(ipel.
    snht1a.pred[,1]), 1:2]
102 ipel.snht2ba <- snh.test(ipel.snht1b.pred[,1]) # K=112, p-value = 0.0093
103 ipel.snht1b.pred[,2] #238
104 ipel.snht2ba.pred <- ipel.snht1b.pred[1:ipel.snht2ba$estimate, 1:2]
105 ipel.snht2ba.po <- ipel.snht1b.pred[(ipel.snht2ba$estimate+1):length(ipel.
    snht1b.pred[,1]), 1:2]
106 ipel.snht2bb <- snh.test(ipel.snht1b.po[,1]) # K=343, p-value = 1e-04
107 ipel.snht1b.po[,2] #947
108 ipel.snht2bb.pred <- ipel.snht1b.po[1:ipel.snht2bb$estimate, 1:2]
109 ipel.snht2bb.po <- ipel.snht1b.po[(ipel.snht2bb$estimate+1):length(ipel.
    snht1b.po[,1]), 1:2]

110
111 ww.test(ipel.snht2a.pred[,1]) #p-value = 0.8051
112 ww.test(ipel.snht2a.po[,1]) #p-value = 0.0001962
113 ww.test(ipel.snht2ba.pred[,1]) #p-value = 3.723e-08
114 ww.test(ipel.snht2ba.po[,1]) #p-value < 2.2e-16

```

```

115 ww.test(ipel.snht2bb.pred[,1]) #p-value = 5.826e-14
116 ww.test(ipel.snht2bb.po[,1]) #p-value = 1.271e-09
117 ipel.snht3ab <- snh.test(ipel.snht2a.po[,1]) # K = 30, p-value = 0.7878
118 ipel.snht3ba <- snh.test(ipel.snht2ba.pred[,1]) # K = 11, p-value = 0.6771
119 ipel.snht3bb <- snh.test(ipel.snht2ba.po[,1]) # K = 8, p-value = 0.016
120 ipel.snht2ba.po[ipel.snht3bb$estimate,2] # 246
121 ipel.snht3bb.pred <- ipel.snht2ba.po[1:ipel.snht3bb$estimate, 1:2]
122 ipel.snht3bb.po <- ipel.snht2ba.po[(ipel.snht3bb$estimate+1):length(ipel.
    snht2ba.po[,1]), 1:2]
123 ipel.snht3bba <- snh.test(ipel.snht2bb.pred[,1]) # K = 303, p-value =
    0.7885
124 ipel.snht3bbb <- snh.test(ipel.snht2bb.po[,1]) # K = 16, p-value = 5e-05
125 ipel.snht2bb.po[ipel.snht3bbb$estimate,2] # 963
126 ipel.snht3bbb.pred <- ipel.snht2bb.po[1:ipel.snht3bbb$estimate, 1:2]
127 ipel.snht3bbb.po <- ipel.snht2bb.po[(ipel.snht3bbb$estimate+1):length(ipel.
    snht2bb.po[,1]), 1:2]
128
129 ww.test(ipel.snht3bb.pred[,1]) #p-value = 0.8785
130 ww.test(ipel.snht3bb.po[,1]) # p-value < 2.2e-16
131 ww.test(ipel.snht3bbb.pred[,1]) #p-value = 0.2191
132 ww.test(ipel.snht3bbb.po[,1]) #p-value = 6.513e-10
133 ipel.snht4a <- snh.test(ipel.snht3bb.po[,1]) # K = 303, p-value = 0.2316
134 ipel.snht4b <- snh.test(ipel.snht3bbb.po[,1]) # K = 21, p-value = 0.06055
135
136 IpS <- cbind(ipel_pov[,3], ipel_pov[,2], rep(0,length(ipel_pov[,2])))
137 IpS[1:4,3] <- rep(1,4)
138 IpS[5:60,3] <- rep(2,56)
139 IpS[61:126,3] <- rep(3,66)
140 IpS[127:238,3] <- rep(4,112)
141 IpS[239:246,3] <- rep(5,8)
142 IpS[247:604,3] <- rep(6,358)
143 IpS[605:947,3] <- rep(7,343)
144 IpS[948:963,3] <- rep(8,16)
145 IpS[964:1020,3] <- rep(9,57)
146
147 ggplot(data=NULL, aes(x=IpS[,1], y=IpS[,2], color=as.factor(IpS[,3]))) +
    geom_line() + scale_color_manual(values=c("aquamarine3", "brown", "
    darkorchid1", "cornsilk4", "darkgoldenrod1", "cornflowerblue", "cyan", "

```

```

black", "red")) + labs(x = "tau", y = "Prietok", color = "Zhluk") + theme
(panel.background = element_rect(fill = "white", colour = "grey50"),
legend.key = element_rect(colour = "transparent", fill = "white"))

```

Listing 12: Nitra

```

1 nitra_pov <- read.xlsx("Data.xlsx", 8, colNames=TRUE)
2 nitra <- ts(nitra_pov[,2], frequency = 12)
3 plot.ts(nitra, xlab='Cas v rokoch od roku 1931', ylab='Prietok v m3/s')
4 title(main = 'Prietok rieky Nitra')
5 str_hod_nitra <- rep(0, length(nitra))
6
7 for (i in 1:length(nitra)) {
8   str_hod_nitra[i] <- mean(nitra[1:i])
9 }
10
11 plot(ts(str_hod_nitra, frequency = 12), xlab="Cas v rokoch od roku 1931",
12       ylab="Stredna hodnota")
13
14 nitra_dec <- decompose(ts(nitra_pov[,2], frequency = 12), type = "additive")
15 plot(nitra_dec)
16
17 ## Homogenita ##
18 brt_nitra <- bartels.rank.test(nitra)
19 ww_nitra <- ww.test(nitra)
20 print(brt_nitra) # p-value < 2.2e-16
21 print(ww_nitra) # p-value < 2.2e-16
22
23 ## Single Change Point ##
24 pettitt_nitra <- pettitt.test(nitra)
25 print(pettitt_nitra) # K=678, p-value = 0.1451
26
27 snht_nitra <- snh.test(nitra)
28 print(snht_nitra) # K=437, p-value = 0.08705
29
30 cusum_nitra <- cpt.mean(nitra, penalty = "Manual", pen.value = 0.05, method
31   = "AMOC", test.stat = "CUSUM", class = TRUE, param.estimates = TRUE)
32 nitra_cusum <- cpts(cusum_nitra) # 438 => 437
33
34
35
36
37
38
39
40
41
42
43
44
45
46
47
48
49
50
51
52
53
54
55
56
57
58
59
60
61
62
63
64
65
66
67
68
69
70
71
72
73
74
75
76
77
78
79
80
81
82
83
84
85
86
87
88
89
90
91
92
93
94
95
96
97
98
99
100
101
102
103
104
105
106
107
108
109
110
111
112
113
114
115
116
117
118
119
120
121
122
123
124
125
126
127
128
129
130
131
132
133
134
135
136
137
138
139
140
141
142
143
144
145
146
147
148
149
150
151
152
153
154
155
156
157
158
159
160
161
162
163
164
165
166
167
168
169
170
171
172
173
174
175
176
177
178
179
180
181
182
183
184
185
186
187
188
189
190
191
192
193
194
195
196
197
198
199
200
201
202
203
204
205
206
207
208
209
210
211
212
213
214
215
216
217
218
219
220
221
222
223
224
225
226
227
228
229
230
231
232
233
234
235
236
237
238
239
240
241
242
243
244
245
246
247
248
249
250
251
252
253
254
255
256
257
258
259
260
261
262
263
264
265
266
267
268
269
270
271
272
273
274
275
276
277
278
279
280
281
282
283
284
285
286
287
288
289
290
291
292
293
294
295
296
297
298
299
300
301
302
303
304
305
306
307
308
309
310
311
312
313
314
315
316
317
318
319
320
321
322
323
324
325
326
327
328
329
330
331
332
333
334
335
336
337
338
339
340
341
342
343
344
345
346
347
348
349
350
351
352
353
354
355
356
357
358
359
360
361
362
363
364
365
366
367
368
369
370
371
372
373
374
375
376
377
378
379
380
381
382
383
384
385
386
387
388
389
390
391
392
393
394
395
396
397
398
399
400
401
402
403
404
405
406
407
408
409
410
411
412
413
414
415
416
417
418
419
420
421
422
423
424
425
426
427
428
429
430
431
432
433
434
435
436
437
438
439
440
441
442
443
444
445
446
447
448
449
450
451
452
453
454
455
456
457
458
459
460
461
462
463
464
465
466
467
468
469
470
471
472
473
474
475
476
477
478
479
480
481
482
483
484
485
486
487
488
489
490
491
492
493
494
495
496
497
498
499
500
501
502
503
504
505
506
507
508
509
510
511
512
513
514
515
516
517
518
519
520
521
522
523
524
525
526
527
528
529
530
531
532
533
534
535
536
537
538
539
540
541
542
543
544
545
546
547
548
549
550
551
552
553
554
555
556
557
558
559
559
560
561
562
563
564
565
566
567
568
569
570
571
572
573
574
575
576
577
578
579
579
580
581
582
583
584
585
586
587
588
589
589
590
591
592
593
594
595
596
597
598
599
599
600
601
602
603
604
605
606
607
608
609
609
610
611
612
613
614
615
616
617
618
619
619
620
621
622
623
624
625
626
627
628
629
629
630
631
632
633
634
635
636
637
638
639
639
640
641
642
643
644
645
646
647
648
649
649
650
651
652
653
654
655
656
657
658
659
659
660
661
662
663
664
665
666
667
668
669
669
670
671
672
673
674
675
676
677
678
678
679
680
681
682
683
684
685
686
687
688
689
689
690
691
692
693
694
695
696
697
698
699
699
700
701
702
703
704
705
706
707
708
709
709
710
711
712
713
714
715
716
717
718
719
719
720
721
722
723
724
725
726
727
728
729
729
730
731
732
733
734
735
736
737
738
739
739
740
741
742
743
744
745
746
747
748
749
749
750
751
752
753
754
755
756
757
758
759
759
760
761
762
763
764
765
766
767
768
769
769
770
771
772
773
774
775
776
777
778
779
779
780
781
782
783
784
785
786
787
787
788
789
789
790
791
792
793
794
795
796
797
797
798
799
799
800
801
802
803
804
805
806
807
808
809
809
810
811
812
813
814
815
816
817
818
819
819
820
821
822
823
824
825
826
827
828
829
829
830
831
832
833
834
835
836
837
838
839
839
840
841
842
843
844
845
846
847
848
849
849
850
851
852
853
854
855
856
857
858
859
859
860
861
862
863
864
865
866
867
868
869
869
870
871
872
873
874
875
876
877
878
878
879
880
881
882
883
884
885
886
887
887
888
889
889
890
891
892
893
894
895
896
897
897
898
899
899
900
901
902
903
904
905
906
907
908
909
909
910
911
912
913
914
915
916
916
917
918
919
920
921
922
923
924
925
926
927
928
928
929
930
931
932
933
934
935
936
937
938
939
939
940
941
942
943
944
945
946
947
948
948
949
950
951
952
953
954
955
956
957
958
959
959
960
961
962
963
964
965
966
967
968
969
969
970
971
972
973
974
975
976
977
978
978
979
980
981
982
983
984
985
986
987
987
988
989
989
990
991
992
993
994
995
996
997
998
999
999
1000
1000
1001
1002
1003
1004
1005
1006
1007
1008
1009
1009
1010
1011
1012
1013
1014
1015
1016
1017
1017
1018
1019
1020
1021
1022
1023
1024
1025
1026
1027
1028
1029
1029
1030
1031
1032
1033
1034
1035
1036
1037
1038
1039
1039
1040
1041
1042
1043
1044
1045
1046
1047
1048
1048
1049
1050
1051
1052
1053
1054
1055
1056
1057
1058
1059
1059
1060
1061
1062
1063
1064
1065
1066
1067
1068
1068
1069
1070
1071
1072
1073
1074
1075
1076
1077
1077
1078
1079
1079
1080
1081
1082
1083
1084
1085
1086
1087
1087
1088
1089
1089
1090
1091
1092
1093
1094
1095
1095
1096
1097
1097
1098
1099
1099
1100
1101
1102
1103
1104
1105
1105
1106
1107
1108
1109
1109
1110
1111
1112
1113
1114
1115
1115
1116
1117
1118
1119
1119
1120
1121
1122
1123
1124
1125
1125
1126
1127
1127
1128
1129
1129
1130
1131
1132
1133
1134
1135
1135
1136
1137
1137
1138
1139
1139
1140
1141
1142
1143
1144
1144
1145
1146
1146
1147
1148
1148
1149
1150
1150
1151
1152
1152
1153
1154
1154
1155
1156
1156
1157
1158
1158
1159
1160
1160
1161
1162
1162
1163
1164
1164
1165
1166
1166
1167
1168
1168
1169
1170
1170
1171
1172
1172
1173
1174
1174
1175
1176
1176
1177
1178
1178
1179
1180
1180
1181
1182
1182
1183
1184
1184
1185
1186
1186
1187
1188
1188
1189
1190
1190
1191
1192
1192
1193
1194
1194
1195
1196
1196
1197
1198
1198
1199
1200
1200
1201
1202
1202
1203
1204
1204
1205
1206
1206
1207
1208
1208
1209
1210
1210
1211
1212
1212
1213
1214
1214
1215
1216
1216
1217
1218
1218
1219
1220
1220
1221
1222
1222
1223
1224
1224
1225
1226
1226
1227
1228
1228
1229
1230
1230
1231
1232
1232
1233
1234
1234
1235
1236
1236
1237
1238
1238
1239
1240
1240
1241
1242
1242
1243
1244
1244
1245
1246
1246
1247
1248
1248
1249
1250
1250
1251
1252
1252
1253
1254
1254
1255
1256
1256
1257
1258
1258
1259
1260
1260
1261
1262
1262
1263
1264
1264
1265
1266
1266
1267
1268
1268
1269
1270
1270
1271
1272
1272
1273
1274
1274
1275
1276
1276
1277
1278
1278
1279
1280
1280
1281
1282
1282
1283
1284
1284
1285
1286
1286
1287
1288
1288
1289
1290
1290
1291
1292
1292
1293
1294
1294
1295
1296
1296
1297
1298
1298
1299
1300
1300
1301
1302
1302
1303
1304
1304
1305
1306
1306
1307
1308
1308
1309
1310
1310
1311
1312
1312
1313
1314
1314
1315
1316
1316
1317
1318
1318
1319
1320
1320
1321
1322
1322
1323
1324
1324
1325
1326
1326
1327
1328
1328
1329
1330
1330
1331
1332
1332
1333
1334
1334
1335
1336
1336
1337
1338
1338
1339
1340
1340
1341
1342
1342
1343
1344
1344
1345
1346
1346
1347
1348
1348
1349
1350
1350
1351
1352
1352
1353
1354
1354
1355
1356
1356
1357
1358
1358
1359
1360
1360
1361
1362
1362
1363
1364
1364
1365
1366
1366
1367
1368
1368
1369
1370
1370
1371
1372
1372
1373
1374
1374
1375
1376
1376
1377
1378
1378
1379
1380
1380
1381
1382
1382
1383
1384
1384
1385
1386
1386
1387
1388
1388
1389
1390
1390
1391
1392
1392
1393
1394
1394
1395
1396
1396
1397
1398
1398
1399
1400
1400
1401
1402
1402
1403
1404
1404
1405
1406
1406
1407
1408
1408
1409
1410
1410
1411
1412
1412
1413
1414
1414
1415
1416
1416
1417
1418
1418
1419
1420
1420
1421
1422
1422
1423
1424
1424
1425
1426
1426
1427
1428
1428
1429
1430
1430
1431
1432
1432
1433
1434
1434
1435
1436
1436
1437
1438
1438
1439
1440
1440
1441
1442
1442
1443
1444
1444
1445
1446
1446
1447
1448
1448
1449
1450
1450
1451
1452
1452
1453
1454
1454
1455
1456
1456
1457
1458
1458
1459
1460
1460
1461
1462
1462
1463
1464
1464
1465
1466
1466
1467
1468
1468
1469
1470
1470
1471
1472
1472
1473
1474
1474
1475
1476
1476
1477
1478
1478
1479
1480
1480
1481
1482
1482
1483
1484
1484
1485
1486
1486
1487
1488
1488
1489
1490
1490
1491
1492
1492
1493
1494
1494
1495
1496
1496
1497
1498
1498
1499
1500
1500
1501
1502
1502
1503
1504
1504
1505
1506
1506
1507
1508
1508
1509
1510
1510
1511
1512
1512
1513
1514
1514
1515
1516
1516
1517
1518
1518
1519
1520
1520
1521
1522
1522
1523
1524
1524
1525
1526
1526
1527
1528
1528
1529
1530
1530
1531
1532
1532
1533
1534
1534
1535
1536
1536
1537
1538
1538
1539
1540
1540
1541
1542
1542
1543
1544
1544
1545
1546
1546
1547
1548
1548
1549
1550
1550
1551
1552
1552
1553
1554
1554
1555
1556
1556
1557
1558
1558
1559
1560
1560
1561
1562
1562
1563
1564
1564
1565
1566
1566
1567
1568
1568
1569
1570
1570
1571
1572
1572
1573
1574
1574
1575
1576
1576
1577
1578
1578
1579
1580
1580
1581
1582
1582
1583
1584
1584
1585
1586
1586
1587
1588
1588
1589
1590
1590
1591
1592
1592
1593
1594
1594
1595
1596
1596
1597
1598
1598
1599
1600
1600
1601
1602
1602
1603
1604
1604
1605
1606
1606
1607
1608
1608
1609
1610
1610
1611
1612
1612
1613
1614
1614
1615
1616
1616
1617
1618
1618
1619
1620
1620
1621
1622
1622
1623
1624
1624
1625
1626
1626
1627
1628
1628
1629
1630
1630
1631
1632
1632
1633
1634
1634
1635
1636
1636
1637
1638
1638
1639
1640
1640
1641
1642
1642
1643
1644
1644
1645
1646
1646
1647
1648
1648
1649
1650
1650
1651
1652
1652
1653
1654
1654
1655
1656
1656
1657
1658
1658
1659
1660
1660
1661
1662
1662
1663
1664
1664
1665
1666
1666
1667
1668
1668
1669
1670
1670
1671
1672
1672
1673
1674
1674
1675
1676
1676
1677
1678
1678
1679
1680
1680
1681
1682
1682
1683
1684
1684
1685
1686
1686
1687
1688
1688
1689
1690
1690
1691
1692
1692
1693
1694
1694
1695
1696
1696
1697
1698
1698
1699
1700
1700
1701
1702
1702
1703
1704
1704
1705
1706
1706
1707
1708
1708
1709
1710
1710
1711
1712
1712
1713
1714
1714
1715
1716
1716
1717
1718
1718
1719
1720
1720
1721
1722
1722
1723
1724
1724
1725
1726
1726
1727
1728
1728
1729
1730
1730
1731
1732
1732
1733
1734
1734
1735
1736
1736
1737
1738
1738
1739
1740
1740
1741
1742
1742
1743
1744
1744
1745
1746
1746
1747
1748
1748
1749
1750
1750
1751
1752
1752
1753
1754
1754
1755
1756
1756
1757
1758
1758
1759
1760
1760
1761
1762
1762
1763
1764
1764
1765
1766
1766
1767
1768
1768
1769
1770
1770
1771
1772
1772
1773
1774
1774
1775
1776
1776
1777
1778
1778
1779
1780
1780
1781
1782
1782
1783
1784
1784
1785
1786
1786
1787
1788
1788
1789
1790
1790
1791
1792
1792
1793
1794
1794
1795
1796
1796
1797
1798
1798
1799
1800
1800
1801
1802
1802
1803
1804
1804
1805
1806
1806
1807
1808
1808
1809
1810
1810
1811
1812
1812
1813
1814
1814
1815
1816
1816
1817
1818
1818
1819
1820
1820
1821
1822
1822
1823
1824
1824
1825
1826
1826
1827
1828
1828
1829
1830
1830
1831
1832
1832
1833
1834
1834
1835
1836
1836
1837
1838
1838
1839
1840
1840
1841
1842
1842
1843
1844
1844
1845
1846
1846
1847
1848
1848
1849
1850
1850
1851
1852
1852
1853
1854
1854
1855
1856
1856
1857
1858
1858
1859
1860
1860
1861
1862
1862
1863
1864
1864
1865
1866
1866
1867
1868
1868
1869
1870
1870
1871
1872
1872
1873
1874
1874
1875
1876
1876
1877
1878
1878
1879
1880
1880
1881
1882
1882
1883
1884
1884
1885
1886
1886
1887
1888
1888
1889
1890
1890
1891
1892
1892
1893
1894
1894
1895
1896
1896
1897
1898
1898
1899
1
```

```

32 plot.ts(nitra_pov[,2], xlab= 'tau', ylab='Prietok v m3/s')
33 lines(x=rep( pettitt_nitra$estimate ,length(0:max(nitra_pov[,2]))) , y=0:max(
    nitra_pov[,2]) , col='red' , lwd=3)
34 lines(x=rep( snht_nitra$estimate ,length(0:max(nitra_pov[,2]))) , y=0:max(
    nitra_pov[,2]) , col='blue' , lwd=3)
35 legend(640, 90,legend=c( " Pettitt" , "SNHT, CUSUM" ), col = c( "red" , "blue" ,
    green") , lty = 1)
36
37 ## Testovanie najdenych bodov zmeny ##
38 nitra_pred_pettitt <- nitra[1:pettitt_nitra$estimate] # data do bodu zmeny
39 nitra_po_pettitt <- nitra[(pettitt_nitra$estimate+1):length(nitra)] # data
    po zmene
40
41 nitra_pred_snht <- nitra[1:snht_nitra$estimate] # data do bodu zmeny
42 nitra_po_snht <- nitra[(snht_nitra$estimate+1):length(nitra)] # data po
    zmene
43
44 nitra_pred_cusum <- nitra[1:nitra_cusum-1] # data do bodu zmeny
45 nitra_po_cusum <- nitra[nitra_cusum :length(nitra)] # data po zmene
46
47 mww_nitra_pettitt <- wilcox.test(nitra_pred_pettitt , nitra_po_pettitt ,
    alternative = "two.sided")
48 mww_nitra_snht <- wilcox.test(nitra_pred_snht , nitra_po_snht , alternative =
    "two.sided")
49 mww_nitra_cusum <- wilcox.test(nitra_pred_cusum , nitra_po_cusum ,
    alternative = "two.sided")
50 print(mww_nitra_pettitt) # p-value = 0.01639
51 print(mww_nitra_snht) # p-value = 0.02246
52 print(mww_nitra_cusum) # p-value = 0.02246
53
54 ks_nitra_pettitt <- ks.test(nitra_pred_pettitt , nitra_po_pettitt)
55 ks_nitra_snht <- ks.test(nitra_pred_snht , nitra_po_snht)
56 ks_nitra_cusum <- ks.test(nitra_pred_cusum , nitra_po_cusum)
57 print(ks_nitra_pettitt) # p-value = 0.006168
58 print(ks_nitra_snht) # p-value = 0.0007312
59 print(ks_nitra_cusum) # p-value = 0.0007312
60
61 ## Trend ##

```

```

62 smk_nitra <- SeasonalMannKendall(nitra)
63 print(smk_nitra) # pvalue =0.067279
64
65 cs_nitra <- cox.stuart.test(nitra)
66 print(cs_nitra) # p-value = 0.9651

```

Listing 13: Nitra - viacnásobné

```

1 nitra_pov <- read.xlsx("Data.xlsx", 8, colNames=TRUE)
2 nitra <- ts(nitra_pov[,2], frequency = 12)
3
4 ## Hierarchicke ##
5
6 # Aglomerativny
7
8 krok <- 0.05
9 n_pocet <- rep(0, (2-0)/krok)
10 n_k <- rep(0, (2-0)/krok)
11 k <- 0
12 for (i in 1:(length(n_pocet)-1)){
13   k <- k + krok
14   n_k[i] <- k
15   n_pom <- e.agglo(X = as.matrix(nitra), member = 1:length(nitra), alpha =
16     k, penalty = function(cps, Xts) 0)
16   n_pocet[i] <- length(n_pom$estimates)
17 }
18 n_pocet[length(n_pocet)] <- length((e.agglo(X = as.matrix(nitra), member =
19   1:length(nitra), alpha = 2, penalty = function(cps, Xts) 0))$estimates)
19 n_k[length(n_k)] <- 2
20 plot(n_k,n_pocet, xlab="gamma", ylab="Pocet bodov zmeny", xlim = c(0.05,2))
21 points(n_k[which.min(n_pocet)],n_pocet[which.min(n_pocet)], pch = 16, col="red")
22 which.min(ip_pocet)
23
24 nitra_agglo <- e.agglo(X = as.matrix(nitra), member = 1:length(nitra),
25   alpha = n_k[which.min(n_pocet)], penalty = function(cps, Xts) 0)
25 nitra_agglo_est <- nitra_agglo$estimates
26 nitra_agglo_val <- rep(0, length(nitra_agglo_est))
27

```

```

28 for (i in 1:length(nitra_aggro_est)) {
29   nitra_aggro_val[i] <- nitra_pov[nitra_aggro_est[i],2]
30 }
31 plot(nitra_pov[,2], type='l', xlab="tau", ylab="Prietok v m3/s")
32 points(nitra_aggro_est, nitra_aggro_val, pch = 16, col="red")
33
34 # Divizny
35 nitra_div <- e.divisive(X = as.matrix(nitra), sig.lvl = .05, R = 500, k =
  NULL, min.size = 100)
36 nitra_div_est <- nitra_div$estimates # ziadny
37 nitra_div_val <- rep(0, length(nitra_div_est))
38
39 for (i in 1:length(nitra_div_est)) {
40   nitra_div_val[i] <- nitra_pov[nitra_div_est[i],3]
41 }
42 N <- cbind(1:length(nitra), nitra_pov[,2], nitra_div$cluster)
43 length(nitra_div$cluster)
44 ggplot(data=NULL, aes(x=N[,1], y=N[,2], color=as.factor(N[,3]))) + geom_
  line() + scale_color_manual(values=c("darkgoldenrod1", "brown1", "
  darkorchid1", "cornsilk4", "aquamarine3", "cornflowerblue")) + labs(x =
  "tau", y = "Prietok v m3/s", color = "Zhluk") + theme(panel.background =
  element_rect(fill = "white", colour = "black"), legend.key = element_
  rect(colour = "transparent", fill = "white"))
45
46 ## Iteracne ##
47
48 # Pettitt
49 nitra.pettitt0 <- pettitt.test(nitra)
50 nitra_pov[nitra.pettitt0$estimate,3] # 678
51 nitra.pettitt0.pred <- nitra_pov[1:nitra.pettitt0$estimate, 2:3]
52 nitra.pettitt0.po <- nitra_pov[(nitra.pettitt0$estimate+1):length(nitra),
  2:3]
53
54 ww.test(nitra.pettitt0.pred[,1]) # p-value < 2.2e-16
55 ww.test(nitra.pettitt0.po[,1]) # p-value < 2.2e-16
56 nitra.pettitt1a <- pettitt.test(nitra.pettitt0.pred[,1]) # K = 59, p-value
  = 0.1162
57 nitra.pettitt1b <- pettitt.test(nitra.pettitt0.po[,1]) # K = 77, p-value =

```

0.06217

```
58
59 NV <- cbind(nitra_pov[,3], nitra_pov[,2], rep(0,length(nitra_pov[,2])))
60 NV[1:678,3] <- rep(1,678)
61 NV[679:1044,3] <- rep(2,366)
62
63 ggplot(data=NULL, aes(x=NV[,1], y=NV[,2], color=as.factor(NV[,3]))) + geom_
  line() + scale_color_manual(values=c("red", "green")) + labs(x = "tau",
  y = "Prietok", color = "Zhluk") + theme(panel.background = element_rect(
  fill = "white", colour = "grey50"), legend.key = element_rect(colour =
  "transparent", fill = "white"))
64
65 # SNHT
66 nitra_snht0 <- snh.test(nitra)
67 nitra_pov[nitra_snht0$estimate,3] # 437
68 nitra_snht0.pred <- nitra_pov[1:nitra_snht0$estimate, 2:3]
69 nitra_snht0.po <- nitra_pov[(nitra_snht0$estimate+1):length(nitra), 2:3]
70
71 ww.test(nitra_snht0.pred[,1]) # p-value < 2.2e-16
72 ww.test(nitra_snht0.po[,1]) # p-value < 2.2e-16
73 nitra_snht1a <- snh.test(nitra_snht0.pred[,1]) # K = 410, p-value < 2.2e-16
74 nitra_snht1a.pred <- nitra_snht0.pred[1:nitra_snht1a$estimate, 1:2]
75 nitra_snht1a.po <- nitra_snht0.pred[(nitra_snht1a$estimate + 1):length(
  nitra_snht0.pred[,1]), 1:2]
76 nitra_snht1b <- snh.test(nitra_snht0.po[,1]) # K = 88, p-value = 0.1975
77
78 ww.test(nitra_snht1a.pred[,1]) # p-value < 2.2e-16
79 ww.test(nitra_snht1a.po[,1]) # p-value = 0.3063
80 nitra_snht2a <- snh.test(nitra_snht1a.pred[,1]) # K = 59, p-value = 0.08085
81
82 NS <- cbind(nitra_pov[,3], nitra_pov[,2], rep(0,length(nitra_pov[,2])))
83 NS[1:410,3] <- rep(1,410)
84 NS[411:437,3] <- rep(2,27)
85 NS[438:1044,3] <- rep(3,607)
86
87 ggplot(data=NULL, aes(x=NS[,1], y=NS[,2], color=as.factor(NS[,3]))) + geom_
  line() + scale_color_manual(values=c("red", "green", "darkorchid1")) +
  labs(x = "tau", y = "Prietok", color = "Zhluk") + theme(panel.background
```

```

= element_rect(fill = "white", colour = "grey50"), legend.key = element_rect(colour = "transparent", fill = "white"))

```

Listing 14: Korelácie

```

1 install.packages("corrplot") # potrebny balicek
2 library(corrplot) # nacitanie kniznice
3 # Nacitanie dat
4 morava_pov <- read.xlsx("Data.xlsx", 1, colNames=TRUE)
5 morava <- ts(morava_pov[,3], frequency = 12)
6
7 hron_pov <- read.xlsx("Data.xlsx", 2, colNames=TRUE)
8 hron <- ts(hron_pov[,3], frequency = 12)
9
10 vah_pov <- read.xlsx("Data.xlsx", 3, colNames=TRUE)
11 vah <- ts(vah_pov[,3], frequency = 12)
12
13 bela_pov <- read.xlsx("Data.xlsx", 4, colNames=TRUE)
14 bela <- ts(bela_pov[,2], frequency = 12)
15
16 kysuca_pov <- read.xlsx("Data.xlsx", 5, colNames=TRUE)
17 kysuca <- ts(kysuca_pov[,2], frequency = 12)
18
19 krupinica_pov <- read.xlsx("Data.xlsx", 6, colNames=TRUE)
20 krupinica <- ts(krupinica_pov[,2], frequency = 12)
21
22 ipel_pov <- read.xlsx("Data.xlsx", 7, colNames=TRUE)
23 ipel <- ts(ipel_pov[,2], frequency = 12)
24
25 nitra_pov <- read.xlsx("Data.xlsx", 8, colNames=TRUE)
26 nitra <- ts(nitration_pov[,2], frequency = 12)
27
28 # Vytvorenie matice, ktorej stlpce su data za obdobie 01/1931 (03/1931 –
# Bela) az 10/2014 (12/2014 – Bela)
29 data <- cbind(morava[373:1378], hron[1:1006], vah[121:1126], bela[3:1008],
kysuca[1:1006], krupinica[1:1006], ipel[1:1006], nitra[1:1006])
30 kor <- round(cor(data, method = "kendall"), 2) # vytvorenie korelacnej
matice
31 corrplot(kor, method = "ellipse") # vykreslenie

```